



TUGAS AKHIR - TM 141585

ANALISA PERILAKU ARAH KENDARAAN PRODUKSI MULTIGUNA PEDESAAN DENGAN VARIASI MUATAN, KECEPATAN, SUDUT BELOK DAN SUDUT KEMIRINGAN MELINTANG JALAN

**MUHAMMAD NASHIRUDDIN AZHAR
2111 100 100**

Dosen Pembimbing
Prof. Ir. I Nyoman Sutantra., MSc., PhD

JURUSAN TEKNIK MESIN
Fakultas Teknologi Industri
Institut Teknologi Sepuluh Nopember
Surabaya, 2016



TUGAS AKHIR - TM 141585

**ANALISA PERILAKU ARAH KENDARAAN
PRODUKSI MULTIGUNA PEDESAAN DENGAN
VARIASI MUATAN, KECEPATAN, SUDUT BELOK
DAN SUDUT KEMIRINGAN MELINTANG JALAN**

MUHAMMAD NASHIRUDDIN AZHAR
2111 100 100

Dosen Pembimbing
Prof. Ir. I Nyoman Sutantra., MSc., PhD

JURUSAN TEKNIK MESIN
Fakultas Teknologi Industri
Institut Teknologi Sepuluh Nopember
Surabaya, 2016



FINAL PROJECT - TM 141585

DIRECTION BEHAVIOR ANALYSIS OF RURAL PRODUCTION MULTIPURPOSE VEHICLE WITH VARIATION OF CARGO, SPEED, TURNING ANGLE AND TRANSVERSE ROAD SLOPE ANGLE

MUHAMMAD NASHIRUDDIN AZHAR
2111 100 100

Academic Supervisor
Prof. Ir. I Nyoman Sutantra., MSc., PhD

DEPARTMENT OF MECHANICAL ENGINEERING
Faculty of Industrial Technology
Sepuluh Nopember Institute of Technology
Surabaya, 2016

**ANALISA PERILAKU ARAH KENDARAAN
PRODUKSI MULTIGUNA PEDESAAN DENGAN
VARIASI MUATAN, KECEPATAN, SUDUT BELOK
DAN SUDUT KEMIRINGAN MELINTANG JALAN**

TUGAS AKHIR

Diajukan Untuk Memenuhi Salah Satu Syarat Memperoleh Gelar
Sarjana Teknik pada Bidang Studi Desain Program Studi S-1
Jurusan Teknik Mesin
Fakultas Teknologi Industri
Institut Teknologi Sepuluh Nopember

Oleh:

MUHAMMAD NASHIRUDDIN AZHAR
NRP. 2111 100 100

Disetujui oleh Tim Penguji Tugas Akhir:

1. Prof.Ir. I Nyoman Sutantra,MSc,PhD(Pembimbing)
(NIP. 195106051978031002)
2. Dr. Unggul Wasiwitono,ST,M.Eng.Sc(Penguji I)
(NIP. 197805102001121001)
3. Dr.Ir.Agus Sigit Pramono,DEA(Penguji II)
(NIP. 196508101991021001)
4. Moch.Solichin,ST,MT(Penguji III)
(NIP. 198908172015041003)

SURABAYA

Januari, 2016

ANALISA PERILAKU ARAH KENDARAAN PRODUKSI MULTIGUNA PEDESAAN DENGAN VARIASI MUATAN, KECEPATAN, SUDUT BELOK DAN SUDUT KEMIRINGAN MELINTANG JALAN

Nama Mahasiswa : Muhammad Nashiruddin Azhar

NRP : 2111 100 100

Jurusan : Teknik Mesin FTI-ITS

Dosen Pembimbing: Prof. Ir. I Nyoman Sutantra, M.Sc., Ph.D

ABSTRAK

Pengembangan alat transportasi saat ini mulai beranjak menuju zero emission vehicle. Pengembangan kendaraan produksi multiguna pedesaan bertenaga listrik yang dapat difungsikan sebagai penunjang berbagai kegiatan perindustrian maupun UMKM. Pengembangan kendaraan ini mempertimbangkan banyak hal, salah satu diantaranya adalah kestabilan kendaraan. Mobil harus stabil agar tidak membahayakan dan menghindari terjadinya kecelakaan. Pengemudi harus menguasai cara berkendara yang baik agar mobil tetap stabil, aman dan nyaman saat dijalankan.

Gerakan belok adalah gerakan kendaraan paling kritis karena gerakan tersebut dapat menunjukkan kualitas kestabilan dari kendaraan. Pada tugas akhir ini akan dilakukan analisa *slip*, *skid* dan guling tentang kestabilan arah dari kendaraan produksi multiguna pedesaan dengan memvariasikan: muatan, kecepatan, sudut belok, dan sudut kemiringan melintang jalan. Analisa *slip* dilakukan dengan mencari α_F dan α_R . Analisa *skid* dengan membandingkan F_c dan F_g . Analisa guling dengan mencari nilai F_z pada masing-masing roda. Data-data kendaraan dimasukkan ke dalam persamaan untuk mengetahui perilaku arah kendaraan apakah normal, *oversteer* atau *understeer*.

Hasil penelitian tugas akhir ini berdasarkan analisa *slip* kendaraan cenderung mengalami perilaku *understeer*. Semakin besar kecepatan dan sudut belok dari kendaraan, maka kendaraan akan kecenderungan kendaraan untuk *slip*, *skid* dan guling juga akan semakin besar. Kendaraan mengalami *skid* dan guling pada kecepatan 25 km/jam dimulai pada sudut belok 30° , pada kecepatan 30 km/jam dimulai pada sudut belok 25° , pada kecepatan 35 km/jam dimulai pada sudut belok 20° , pada kecepatan 40 km/jam dimulai pada sudut belok 15° dan pada kecepatan 30 km/jam sampai 50 km/jam dimulai pada sudut belok 5° . Didapatkan kesimpulan pada kendaraan dengan muatan Multi Purpose Thresher, posisi titik berat 7 ($b=2.2626$ m, $L_f=1.2137$ m, $L_r=1.4363$ m dan $h=0.7118$ m) merupakan posisi titik berat yang paling baik. Untuk kendaraan dengan muatan Freezer, posisi titik berat 6 ($b=2.0632$ m, $L_f=1.2027$ m, $L_r=1.4473$ m dan $h=0.705$ m) merupakan posisi titik berat yang paling baik. Kesimpulan tersebut didapatkan berdasarkan posisi titik berat yang memiliki kondisi oversteer yang paling sedikit dan nilai understeer index positif (understeer) yang paling rendah dibandingkan posisi titik berat yang lain.

Kata kunci : ackerman, slip, skid, guling, oversteer, understeer

DIRECTION BEHAVIOR ANALYSIS OF RURAL PRODUCTION MULTIPURPOSE VEHICLE WITH VARIATION OF CARGO, SPEED, TURNING ANGLE AND TRANSVERSE ROAD SLOPE ANGLE

| | |
|------------------|--|
| Student Name | : Muhammad Nashiruddin Azhar |
| NRP | : 2111 100 100 |
| Department | : Teknik Mesin FTI-ITS |
| Advisor Lecturer | : Prof. Ir. I Nyoman Sutantra, M.Sc., Ph.D |

ABSTRACT

The development of transportation are now starting to headed out zero emission vehicle. The development of Rural Production Multipurpose Vehicle which generated by electric power could be functioned a supporting various industry, small and medium businesses activities. The development of these vehicles consider many things, one of them are the stability of the vehicle. Cars had to stable so that could not harm and avoid accidents. The driver must have a good way to drive the car remain stable, safe and comfort when run.

Turn movement of the vehicle is the most critical movement because it could indicate quality of vehicles stability. This final project will analyze slip, skid and roll of the stability of the direction of rural production multipurpose vehicle with variation of cargo, speed, turning angle and transverse road slope angle. Slip analysis by seeking α_F and α_R . Skid analysis by comparing F_c dan F_g . Roll analysis by seeking value of F_z in each wheels. Vehicles data put into similarities to know behavior direction of vehicle is it normal, oversteer or understeer.

Result of this final project based on slip analysis vehicle disposed to occur understeer behavior. Bigger speed and the

turning angle given to vehicle, tendency of vehicle to slip, skid and bolster also will be bigger. Vehicle disposed to skid and roll at the speed of 25 km/h begins at 30° of turning angle, at the speed of 30 km/h begins at 25° of turning angle, at the speed of 35 km/h begins at 20° of turning angle, at the speed of 40 km/h begins at 15° of turning angle and at the speed of 30 km/h to 50 km/h begins at 5° of turning angle. So conclusion obtained on vehicle with a cargo of Multi Purpose Thresher, Center of Gravity 7 ($b=2.2626$ m, $L_f=1.2137$ m, $L_r = 1.4363$ m dan $h=0.7118$ m) is the best position. For vehicle with a cargo of Freezer, Center of Gravity 6 ($b=2.0632$ m, $L_f=1.2027$ m, $L_r = 1.4473$ m dan $h=0.705$ m) is the best position. Conclusions were obtained based on the Center of Gravity which have the minimum condition of oversteer and minimum positive value of understeer index (understeer) compared to another Center of Gravity.

Keyword: *ackerman, slip, skid, roll, oversteer, understeer*

KATA PENGANTAR

Alhamdulillah penulis ucapkan kehadiran Allah SWT., yang telah melimpahkan rahmat, taufik dan hidayah-Nya, sehingga penulis dapat menyelesaikan Tugas Akhir yang berjudul “Analisa Perilaku Arah Kendaraan Produksi Multiguna Pedesaan dengan Variasi Muatan, Kecepatan, Sudut Belok dan Sudut Kemiringan Melintang Jalan”. Tak lupa shalawat serta salam penulis haturkan kepada Nabi Muhammad SAW, yang telah menyebarkan keindahan di dunia ini.

Dalam penyusuan Tugas Akhir ini, penulis banyak melibatkan pihak-pihak yang membantu, memotivasi, dan mendorong penulis untuk segera menyelesaiannya. Oleh karena itu ijinkan penulis mengucapkan Terimakasih yang sebesar-besarnya kepada :

1. Bapak **Choirun Nuri** dan **Enik Nur Aini**. Kedua orang tua penulis, yang selalu menghantarkan do'a agar penulis selalu diridhoi Allah SWT dan dilancarkan segala urusannya serta selalu memberikan motivasi kepada penulis.
2. Saudara kandung penulis kakak serta adik-adik: **Nabilah Qonitah**, **Muhammad Nauval Imaduddin**, **Muhammad Nadhif Chasbullah** dan **Nabilah Tsabitah** yang selalu menjadi sumber semangat dalam menjalani segala hal.
3. **Prof. Ir. I Nyoman Sutantra, M.Sc., PhD.**, selaku pembimbing tugas akhir penulis, terimakasih atas segala bimbingan, ilmu dan semua yang bapak berikan terhadap penulis. Terimakasih atas semua inspirasi dan hikmah kehidupan yang bapak berikan.
4. **Dr.Ir. Agus Sigit Pramono, DEA ; Dr.Eng Unggul Wasiwitono, ST., M.Eng,Sc** dan **M.Solichin, ST., MT** , selaku dosen penguji seminar dan sidang Tugas Akhir penulis. Terimakasih sudah bersedia menjadi penguji dan Terimakasih atas segala masukan yang diberikan untuk perbaikan Tugas Akhir ini.

5. Seluruh Dosen dan Karyawan di lingkungan Teknik Mesin ITS, Terimakasih atas ilmu dan segalanya yang telah diberikan kepada penulis.
6. **Yayasan Karya Salemba Empat** selaku penyokong biaya perkuliahan penulis, terlebih kepada PT. **Indofood Sukses Makmur Tbk.** Terimakasih banyak terhadap segala yang penulis dapatkan baik itu materi maupun *softskill* dari berbagai pelatihan.
7. *Partner* seperjuangan Tugas Akhir; **Angga Ramadhana Putra, Indira Riska Saraswati** dan **Muchlis Rifai**. Terimakasih atas bantuan, dukungan dan masukannya selama ini.
8. Keluargaku mahasiswa/i Teknik Mesin ITS angkatan 2011, **M54**. Terimakasih sudah menjadi keluarga yang baik bagi penulis. Terimakasih selama ini sudah mengisi mozaik-mozaik kehidupan penulis dengan sangat indah.
9. Segenap warga **Republik Sulap** laboratorium *design* yang selalu memberikan kebahagiaan, keceriaan dan kekeluargaan selama ini.
10. Pengurus **Himpunan Mahasiswa Mesin** yang telah menjalankan program kerja bersama-sama. Terlebih kepada BPH HMM 2013/2014; **Latif, Wira Ashari, Esty Wulandari, Anita Rindiyah F., Wardah Choirina L., Maylana Ikhwan, Bagus Setiawan, I Nyoman Ari Susastrawan, Khisni Sains, Prasetyo Putra W., Harnanto Budi Utomo, Gusti Fajar Romano** dan **Haykal Pasha** terimakasih sudah menjadi *superteam* yang dengan gagahnya menyelesaikan berbagai permasalahan.
11. **Paguyuban Karya Salemba Empat ITS**, keluarga penulis yang berhasil membuat cara memandang penulis terhadap suatu hal menjadi lebih luas. Telebih kepada pasukan *Student Resource Development*: **Miftakhul Riza R.F., Kemal R., Qintan I.A., Lilis W.A., Rahmad Y.R., Gusti Rinaldi Z., Novia L., Ayu N.A. dan Ubaidillah.**

12.Seluruh pihak yang belum disebutkan di atas yang telah memberikan do'a, bantuan dan dukungannya terhadap penulis hingga Tugas Akhir ini dapat terselesaikan.

Akhir kata, penulis berharap Tugas Akhir ini dapat bermanfaat bagi kita semua. Penulis paham apabila Tugas Akhir ini masih jauh dari sempurna. Untuk itu penulis mengaharapkan kritik dan saran dari pembaca untuk menjadikan Tugas Akhir ini lebih baik kedepannya.

Surabaya, 25 Januari 2016

Penulis

(halaman ini sengaja dikosongkan)

DAFTAR ISI

| | |
|--|------|
| ABSTRAK | i |
| <i>ABSTRACT</i> | iii |
| KATA PENGANTAR..... | v |
| DAFTAR ISI | ix |
| DAFTAR GAMBAR | xiii |
| DAFTAR TABEL | xvii |
| BAB I | 1 |
| 1.1 Latar Belakang | 1 |
| 1.2 Perumusan Masalah..... | 2 |
| 1.3 Tujuan Penelitian..... | 2 |
| 1.4 Batasan Masalah..... | 3 |
| 1.5 Manfaat Penelitian..... | 3 |
| BAB II..... | 5 |
| 2.1 Center of Gravity..... | 5 |
| 2.1.1 Posisi Titik Berat | 5 |
| 2.1.2 Posisi tinggi titik berat..... | 8 |
| 2.2 Perilaku Belok Kendaraan..... | 11 |
| 2.2.1 Perilaku Kendaraan Belok Kondisi Ideal/ <i>Ackerman</i> .. | 11 |
| 2.2.2 Perilaku <i>Understeer</i> | 12 |
| 2.2.3 Perilaku <i>Oversteer</i> | 13 |
| 2.3 Perhitungan <i>Side Slip angle</i> | 14 |
| 2.4 Koefisien Gesek | 16 |

| | |
|---|----|
| 2.5 Mengukur Perilaku Arah Kendaraan | 16 |
| 2.5.1 Analisa Slip untuk Kendaraan Belok pada Jalan Miring | 16 |
| 2.5.2 Analisa Skid untuk Kendaraan Belok pada Jalan Miring | 24 |
| 2.5.2.1 Analisa Skid untuk Roda Depan..... | 24 |
| 2.5.2.2 Analisa Skid untuk Roda Belakang | 26 |
| 2.5.3 Analisa Guling untuk Kendaraan Belok pada Jalan Miring | 27 |
| 2.5.3.1 Analisa Guling untuk Roda Depan | 27 |
| 2.5.3.2 Analisa Guling untuk Roda Belakang | 29 |
| 2.5.4 Analisa understeer (Kus) | 30 |
| 2.6 Penelitian Terdahulu..... | 31 |
| 2.7 Data Teknis Kendaraan | 33 |
| BAB III | 37 |
| 3.1 Prosedur Penelitian..... | 37 |
| 3.2 Flowchart Perhitungan..... | 38 |
| 3.3 Prosedur Perhitungan..... | 39 |
| BAB IV | 43 |
| 4.1 Data dan Spesifikasi Kendaraan | 43 |
| 4.2 Analisa Kestabilan Arah Kendaraan..... | 47 |
| 4.2.1 Analisa Kestabilan Arah Kendaraan Kendaraan Bermuatan Multi Purpose Thresher..... | 47 |
| 4.2.1.1 Variasi Posisi CG Kendaraan Kendaraan Bermuatan Multi Purpose Thresher..... | 47 |
| 4.2.1.1.1 Analisa Slip Posisi CG 7 Kendaraan Kendaraan Bermuatan Multi Purpose Thresher | 55 |

| | |
|---|----|
| 4.2.1.1.2 Analisa Skid Posisi CG 7 Kendaraan Kendaraan Bermuatan Multi Purpose Thresher | 59 |
| 4.2.1.1.3 Analisa Guling Posisi CG 7 Kendaraan Kendaraan Bermuatan Multi Purpose Thresher | 61 |
| 4.2.1.1.4 Analisa Kus Kendaraan Bermuatan Multi Purpose Thresher..... | 62 |
| 4.2.2 Analisa Kestabilan Arah Kendaraan Kendaraan Bermuatan <i>Freezer</i> | 66 |
| 4.2.2.1 Variasi Posisi CG Kendaraan Kendaraan Bermuatan <i>Freezer</i> | 66 |
| 4.2.2.1.1 Analisa Slip Posisi CG 7 Kendaraan Kendaraan Bermuatan Freezer | 75 |
| 4.2.2.1.2 Analisa Skid Posisi CG 7 Kendaraan Kendaraan Bermuatan Freezer | 79 |
| 4.2.2.1.3 Analisa Guling Posisi CG 7 Kendaraan Kendaraan Bermuatan Freezer | 81 |
| 4.2.2.1.4 Analisa Kus Kendaraan Bermuatan <i>Freezer</i> | 82 |
| BAB V | 87 |
| 5.1 Kesimpulan..... | 87 |
| 5.1 Saran..... | 87 |
| DAFTAR PUSTAKA..... | 89 |
| LAMPIRAN | |
| BIODATA PENULIS | |

(halaman ini sengaja dikosongkan)

DAFTAR GAMBAR

| | |
|--|----|
| Gambar 2. 1 <i>Free Body diagram</i> kendaraan produksi multiguna pedesaan sebelum penambahan muatan dan penumpang [2]. | 6 |
| Gambar 2. 2 <i>Free Body diagram</i> kendaraan produksi multiguna pedesaan setelah penambahan muatan dan penumpang [2]. | 7 |
| Gambar 2. 3 <i>Free Body diagram</i> kendaraan produksi multiguna pedesaan dengan posisi membentuk sudut θ sebelum penambahan muatan dan penumpang [2]. | 9 |
| Gambar 2. 4 Perilaku belok Ackerman [1]..... | 11 |
| Gambar 2. 5 Perilaku Understeer [2] | 12 |
| Gambar 2. 6 Perilaku Oversteer [2] | 13 |
| Gambar 2. 7 Kondisi nyata kendaraan belok [1]. | 15 |
| Gambar 2. 8 <i>Free Body Diagram</i> kendaraan saat berbelok <i>full model</i> [1]. | 17 |
| Gambar 2. 9 <i>Free Body Diagram</i> kendaraan saat berbelok pada bidang datar <i>bicycle model</i> [1]. | 18 |
| Gambar 2. 10 <i>Free Body Diagram</i> untuk kendaraan belok pada jalan miring [3]..... | 18 |
| Gambar 2. 11 <i>Free Body Diagram</i> roda depan <i>bicycle model</i> [1]. | 19 |
| Gambar 2. 12 <i>Free Body Diagram</i> tampak samping <i>bicycle model</i> [1]..... | 21 |
| Gambar 2. 13 <i>Free Body Diagram</i> kendaraan roda depan untuk mencari F_z pada jalan datar [1]..... | 22 |
| Gambar 2. 14 <i>Free Body Diagram</i> untuk kendaraan belok pada jalan miring [3]..... | 22 |

| | |
|--|----|
| Gambar 2. 15 <i>Free Body Diagram</i> untuk kendaraan belok pada jalan miring [3]..... | 24 |
| Gambar 2. 16 <i>Free Body Diagram</i> untuk kendaraan belok pada jalan miring [3]..... | 27 |
| Gambar 2. 17 Kendaraan produksi multiguna pedesaan dengan muatan Multi Purpose Thresher | 33 |
| Gambar 2. 18 Kendaraan produksi multiguna pedesaan dengan muatan Freezer | 34 |
| | |
| Gambar 4. 1 Variasi posisi <i>Center of Gravity</i> kendaraan | 44 |
| Gambar 4. 2 Grafik Kus vs δ_f posisi CG 1 kendaraan bermuatan Multi Purpose Thresher dengan $\theta=0^\circ$ | 47 |
| Gambar 4. 3 Grafik Kus vs δ_f posisi CG 2 kendaraan bermuatan Multi Purpose Thresher dengan $\theta=0^\circ$ | 48 |
| Gambar 4. 4 Grafik Kus vs δ_f posisi CG 3 kendaraan bermuatan Multi Purpose Thresher dengan $\theta=0^\circ$ | 48 |
| Gambar 4. 5 Grafik Kus vs δ_f posisi CG 4 kendaraan bermuatan Multi Purpose Thresher dengan $\theta=0^\circ$ | 49 |
| Gambar 4. 6 Grafik Kus vs δ_f posisi CG 5 kendaraan bermuatan Multi Purpose Thresher dengan $\theta=0^\circ$ | 49 |
| Gambar 4. 7 Grafik Kus vs δ_f posisi CG 6 kendaraan bermuatan Multi Purpose Thresher dengan $\theta=0^\circ$ | 50 |
| Gambar 4. 8 Grafik Kus vs δ_f posisi CG 7 kendaraan bermuatan Multi Purpose Thresher dengan $\theta=0^\circ$ | 50 |
| Gambar 4. 9 Grafik Kus vs δ_f posisi CG 8 kendaraan bermuatan Multi Purpose Thresher dengan $\theta=0^\circ$ | 51 |
| Gambar 4. 10 Grafik Kus vs δ_f posisi CG 9 kendaraan bermuatan Multi Purpose Thresher dengan $\theta=0^\circ$ | 51 |
| Gambar 4. 11 Grafik Kus vs δ_f posisi CG 10 kendaraan bermuatan Multi Purpose Thresher dengan $\theta=0^\circ$. | 52 |

| | |
|--|----|
| Gambar 4. 12 Grafik Kus vs δ_f posisi CG 11 kendaraan bermuatan Multi Purpose Thresher dengan $\theta=0^\circ$ | 52 |
| Gambar 4. 13 Grafik Kus vs δ_f posisi CG 12 kendaraan bermuatan Multi Purpose Thresher dengan $\theta=0^\circ$ | 53 |
| Gambar 4. 14 Grafik Kus vs δ_f posisi CG 13 kendaraan bermuatan Multi Purpose Thresher dengan $\theta=0^\circ$ | 53 |
| Gambar 4. 15 Grafik Kus vs δ_f posisi CG 14 kendaraan bermuatan Multi Purpose Thresher dengan $\theta=0^\circ$ | 54 |
| Gambar 4. 16 Grafik Kus vs δ_f posisi CG 15 kendaraan bermuatan Multi Purpose Thresher dengan $\theta=0^\circ$ | 54 |
| Gambar 4. 17 Grafik batas kecepatan Skid (Vs) dengan sudut belok (δ_f) kendaraan bermuatan Multi Purpose Thresher posisi CG 7 (a) pada aspal kering (b) pada aspal basah | 60 |
| Gambar 4. 18 Grafik batas kecepatan Guling (Vg) dengan sudut belok (δ_f) Kendaraan Bermuatan Multi Purpose Thresher Posisi CG 7 | 62 |
| Gambar 4. 19 Grafik Koefisien Understeer Indeks (Kus) dengan sudut belok (δ_f) Kendaraan Bermuatan Multi Purpose Thresher Posisi CG 7 pada kemiringan jalan melintang (a) $\theta=0^\circ$ (b) $\theta=5^\circ$ (c) $\theta=10^\circ$ | 63 |
| Gambar 4. 20 Grafik Kus vs δ_f posisi CG 1 kendaraan bermuatan Freezer dengan $\theta=0^\circ$ | 67 |
| Gambar 4. 21 Grafik Kus vs δ_f posisi CG 2 kendaraan bermuatan Freezer dengan $\theta=0^\circ$ | 67 |
| Gambar 4. 22 Grafik Kus vs δ_f posisi CG 3 kendaraan bermuatan Freezer dengan $\theta=0^\circ$ | 68 |
| Gambar 4. 23 Grafik Kus vs δ_f posisi CG 4 kendaraan bermuatan Freezer dengan $\theta=0^\circ$ | 68 |
| Gambar 4. 24 Grafik Kus vs δ_f posisi CG 5 kendaraan bermuatan Freezer dengan $\theta=0^\circ$ | 69 |

| | |
|---|----|
| Gambar 4. 25 Grafik Kus vs δ_f posisi CG 6 kendaraan bermuatan Freezer dengan $\theta=0^\circ$ | 69 |
| Gambar 4. 26 Grafik Kus vs δ_f posisi CG 7 kendaraan bermuatan Freezer dengan $\theta=0^\circ$ | 70 |
| Gambar 4. 27 Grafik Kus vs δ_f posisi CG 8 kendaraan bermuatan Freezer dengan $\theta=0^\circ$ | 70 |
| Gambar 4. 28 Grafik Kus vs δ_f posisi CG 9 kendaraan bermuatan Freezer dengan $\theta=0^\circ$ | 71 |
| Gambar 4. 29 Grafik Kus vs δ_f posisi CG 10 kendaraan bermuatan Freezer dengan $\theta=0^\circ$ | 71 |
| Gambar 4. 30 Grafik Kus vs δ_f posisi CG 11 kendaraan bermuatan Freezer dengan $\theta=0^\circ$ | 72 |
| Gambar 4. 31 Grafik Kus vs δ_f posisi CG 12 kendaraan bermuatan Freezer dengan $\theta=0^\circ$ | 72 |
| Gambar 4. 32 Grafik Kus vs δ_f posisi CG 13 kendaraan bermuatan Freezer dengan $\theta=0^\circ$ | 73 |
| Gambar 4. 33 Grafik Kus vs δ_f posisi CG 14 kendaraan bermuatan Freezer dengan $\theta=0^\circ$ | 73 |
| Gambar 4. 34 Grafik Kus vs δ_f posisi CG 15 kendaraan bermuatan Freezer dengan $\theta=0^\circ$ | 74 |
| Gambar 4. 35 Grafik batas kecepatan Skid (Vs) dengan sudut belok (δ_f) kendaraan bermuatan Freezer posisi CG 6 (a) pada aspal kering (b) pada aspal basah | 80 |
| Gambar 4. 36 Grafik batas kecepatan Guling (Vg) dengan sudut belok (δ_f) pada kemiringan jalan melintang ($\theta=0^\circ$) Kendaraan Bermuatan Freezer Posisi CG 6 | 82 |
| Gambar 4. 37 Grafik Koefisien Understeer Indeks (Kus) dengan sudut belok (δ_f) Kendaraan Bermuatan Freezer Posisi CG 6 pada kemiringan jalan melintang (a) $\theta=0^\circ$ (b) $\theta=5^\circ$ (c) $\theta=10^\circ$ | 83 |

DAFTAR TABEL

| | |
|--|----|
| Tabel 2. 1 Koefisien adhesi ban pada bermacam jenis jalan [1]..... | 16 |
| Tabel 2. 2 Spesifikasi Kendaraan Produksi Multiguna [5] | 34 |
| Tabel 2. 3 Spesifikasi Muatan Multi Purpose Thresher [6] . | 35 |
| Tabel 2. 4 Spesifikasi Muatan Freezer [7] | 35 |
| | |
| Tabel 4. 1 Spesifikasi Kendaraan Produksi Multiguna Pedesaan | 43 |
| Tabel 4. 2 Variasi rancangan posisi titik berat dengan kendaraan bermuatan Multi Purpose Thresher .. | 45 |
| Tabel 4. 3 Variasi rancangan posisi titik berat dengan kendaraan bermuatan Freezer | 45 |
| Tabel 4. 4 Tabel sudut slip rata-rata roda depan αf dan αr | 55 |
| | |
| Tabel 4. 5 Tabel Radius Nyata Kendaraan dan Koefisien Understeer | 57 |
| Tabel 4. 6 Tabel sudut slip rata-rata roda depan αf dan αr | 75 |
| | |
| Tabel 4. 7 Tabel Radius Nyata Kendaraan dan Koefisien Understeer | 77 |

(halaman ini sengaja dikosongkan)

BAB I

PENDAHULUAN

1.1 Latar Belakang

Pengembangan alat transportasi saat ini mulai beranjak menuju *zero emission vehicle*. ITS bekerjasama dengan Dinas Perindustrian dan Perdagangan mulai mengembangkan kendaraan produksi multiguna pedesaan bertenaga listrik yang dapat difungsikan sebagai penunjang bermacam-macam kegiatan perindustrian maupun UMKM. Pengembangan kendaraan ini mempertimbangkan banyak hal, salah satu diantaranya adalah kestabilan kendaraan. Mobil harus stabil agar tidak membahayakan dan menghindari terjadinya kecelakaan.

Pengemudi harus menguasai cara berkendara yang baik agar mobil tetap aman dan nyaman saat dijalankan. Mobil harus tetap stabil pada kondisi jalanan yang berbelok, miring melintang, menanjak maupun menurun. Gerakan belok adalah gerakan kendaraan paling kritis karena gerakan tersebut dapat menunjukkan kualitas kestabilan dari kendaraan. Kondisi ideal dari kendaraan yang berbelok disebut kondisi *ackerman* dimana tidak terjadi sudut *slip* pada setiap roda. Pada kondisi riil terkadang kendaraan akan mengalami ketidakstabilan kendaraan yaitu saat kendaraan mengalami *understeer* dan *oversteer*. *Understeer* merupakan suatu kondisi saat roda depan mengalami *skid*. *Oversteer* merupakan suatu kondisi saat roda belakang mengalami *skid*. Jika terjadi skid pada saat berbelok maka kendaraan akan sulit dikendalikan dan sering menjadi penyebab dari kecelakaan lalu lintas.

Pada tugas akhir ini akan dilakukan analisis tentang kestabilan arah dari kendaraan produksi multiguna pedesaan dengan memvariasikan muatan, kecepatan, sudut belok dan sudut kemiringan melintang jalan. Analisa yang akan dilakukan yaitu analisa *skid*, analisa *slip* dan analisa guling. Data-data kendaraan

dimasukkan ke dalam persamaan untuk mengetahui perilaku arah kendaraan apakah netral, *understeer* atau *oversteer*. Sehingga pengemudi nantinya mengetahui perilaku arah sudut belok kendaraan dan juga batasan kecepatan agar kendaraan tetap stabil.

1.2 Perumusan Masalah

Permasalahan yang diteliti pada tugas akhir ini, antara lain :

1. Bagaimana perilaku arah kendaraan produksi multiguna pedesaan pada berbagai posisi *Centre of Gravity* berdasarkan variasi muatan, kecepatan, sudut belok dan sudut kemiringan kendaraan.
2. Berapakah kecepatan maksimum dari kendaraan produksi multiguna pedesaan berdasarkan analisa *skid* dan analisa guling pada beban tertentu.
3. Berapakah nilai koefisien *understeer* kendaraan produksi multiguna pedesaan berdasarkan sudut beloknya.
4. Bagaimana posisi *layout* muatan Multi Purpose Thresher dan Freezer yang baik.

1.3 Tujuan Penelitian

Tujuan pada tugas akhir ini, antara lain :

1. Mengetahui perilaku arah kendaraan produksi multiguna pedesaan pada berbagai posisi *Centre of Gravity* berdasarkan variasi muatan, kecepatan, sudut belok dan sudut kemiringan kendaraan.
2. Mengetahui dan memberikan rekomendasi kecepatan maksimum dari kendaraan produksi multiguna pedesaan berdasarkan analisa *skid* dan analisa guling.
3. Mengetahui hubungan *understeer indeks* (K_{us}) dengan sudut belok (δf) kendaraan riset *grandong*.
4. Menentukan *layout* muatan Multi Purpose Thresher dan Freezer yang baik.

1.4 Batasan Masalah

Pembahasan masalah pada tugas akhir ini dibatasi oleh beberapa hal, antara lain :

1. Kendaraan yang dianalisa adalah kendaraan produksi multiguna pedesaan.
2. Jalan yang dilalui diasumsikan rata, tidak bergelombang dan tidak berlubang.
3. Analisa dilakukan dengan berat muatan tertentu yang titik berat muatannya diasumsikan berada di tengah.
4. Koefisien adhesi untuk aspal kering 0,9 dan aspal basah 0,7.
5. Koefisien adhesi melintang untuk aspal kering dan aspal basah diasumsikan 0,8 dari koefisien adhesinya.
6. Ban yang digunakan adalah ban radial baru.
7. Kecepatan saat kendaraan berbelok konstan.
8. Analisa dilakukan dengan variasi kecepatan 20 km/jam, 25 km/jam, 30 km/jam, 35 km/jam, 40 km/jam, 45 km/jam, dan 50 km/jam.
9. Analisa dilakukan dengan variasi sudut kemiringan melintang jalan 0° , 5° dan 10° .
10. Analisa dilakukan dengan variasi sudut belok 5° , 10° , 15° , 20° , 25° , dan 30° .

1.5 Manfaat Penelitian

Adapun manfaat penelitian dari tugas akhir ini antara lain:

1. Memberikan informasi mengenai pengaruh berbagai variasi muatan, kecepatan, sudut belok, dan sudut kemiringan melintang jalan terhadap perilaku arah kendaraan produksi multiguna pedesaan.
2. Sebagai referensi untuk membuat desain kendaraan produksi multiguna pedesaan yang lebih baik.
3. Memberikan informasi dan rekomendasi kepada pengendara mengenai kecepatan maksimum yang diizinkan agar kendaraan tetap stabil.

(halaman ini sengaja dikosongkan)

BAB II

DASAR TEORI

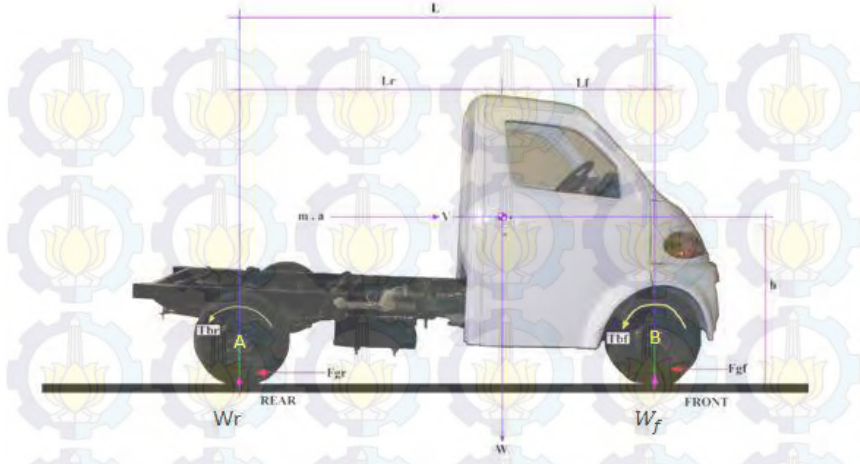
2.1 Center of Gravity

2.1.1 Posisi Titik Berat

Dinamika kendaraan dapat menggambarkan perilaku gerak kendaraan, perilaku arah, serta stabilitas arah kendaraan, kenyamanan dan keamanan kendaraan yang terkait dengan kecelakaan kendaraan pada saat jalan. Dalam analisis dinamika kendaraan, posisi titik berat memegang peranan penting.

Untuk mendapatkan titik berat dari kendaraan, bisa dilakukan dengan cara gaya reaksi yang terjadi pada roda depan atau roda belakang. Pengukuran dilakukan pada kondisi kendaraan benar-benar dalam posisi datar/ horizontal. Gaya reaksi pada roda depan (W_f) dan gaya reaksi pada roda belakang (W_r) apabila dijumlahkan akan sama dengan berat total dari kendaraan (W). Nilai W_f dan W_r jika dijumlahkan akan bernilai W ($W = W_r + W_f$).

Posisi titik berat pada kendaraan produksi multiguna pedesaan ini akan berubah seiring dengan perubahan berat muatan dan penumpang. Untuk posisi titik berat sebelum penambahan muatan dan penumpang dapat dilihat pada gambar 2.1.



Gambar 2. 1 *Free Body diagram* kendaraan produksi multiguna pedesaan sebelum penambahan muatan dan penumpang [2].

Sebelum terdapat penumpang dan muatan, dengan memperhatikan *free body diagram* dari gambar 2.1 dan menggunakan sumbu roda bagian depan sebagai pusat momen, maka akan diperoleh persamaan sebagai berikut :

$$\sum M_B = 0 \text{ (asumsi + arah CCW)}$$

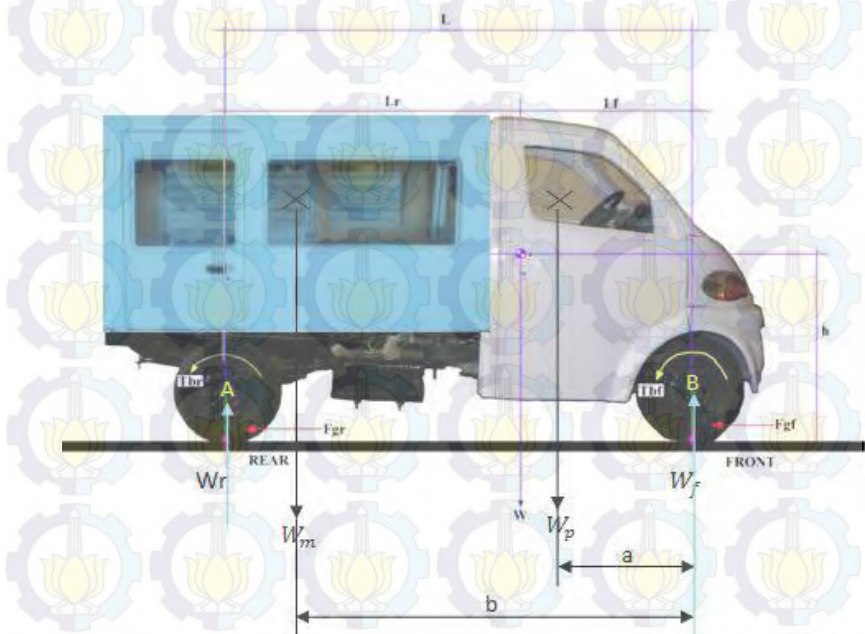
$$l_f = \frac{W_r \cdot L}{W} \quad \dots \dots \dots \quad (2.2)$$

dimana :

W = berat kendaraan = $W_f + W_r$

L = panjang total kendaraan = $l_f + l_r$

Sedangkan untuk posisi titik berat setelah menerima pertambahan muatan dan penumpang dapat dicari dengan memperhatikan *free body diagram* pada gambar 2.2.



Gambar 2. 2 Free Body diagram kendaraan produksi multiguna pedesaan setelah penambahan muatan dan penumpang [2].

Berdasarkan gambar 2.2, maka persamaan 2.1 dan persamaan 2.2 akan berubah seperti berikut:

$$W_r \cdot L = W_p \cdot a + W_k \cdot l_f + W_m \cdot b \quad \dots \dots \dots \quad (2.3)$$

$$l_f' = \frac{\sum W_i \cdot l_i}{\sum W_i} \quad \dots \dots \dots \quad (2.4)$$

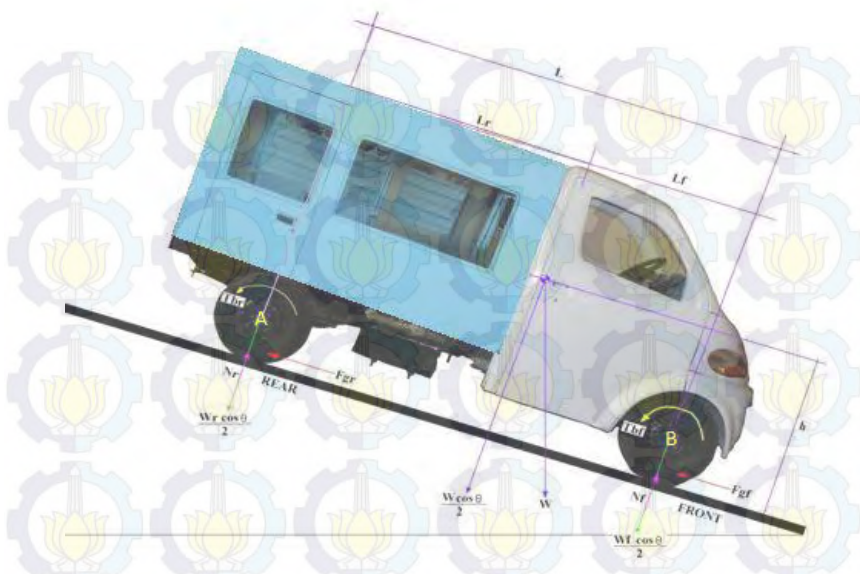
$$l_f' = \frac{W_r \cdot L}{W_t} \dots \dots \dots \dots \quad (2.5)$$

dimana :

| | |
|-------|---|
| W_r | = Berat bagian belakang |
| W_f | = Berat bagian depan |
| W_k | = Berat kendaraan |
| W_m | = Berat muatan |
| W_t | = Berat total kendaraan = $W_p + W_k + W_m$ |
| L | = Panjang total kendaraan |
| a | = Jarak titik berat penumpang ke sumbu roda depan |
| b | = Jarak titik berat muatan ke sumbu roda depan |
| l_f | = Jarak <i>center of gravity</i> ke sumbu roda depan |
| l_r | = Jarak <i>center of gravity</i> ke sumbu roda belakang |

2.1.2 Posisi tinggi titik berat

Posisi tinggi titik berat dapat diketahui dengan menopang roda depan atau roda belakang dengan timbangan dan mendongkrak roda lainnya hingga membentuk sudut (θ). *Free body diagram* pada saat membentuk sudut dapat dilihat pada gambar 2.3.



Gambar 2. 3 Free Body diagram kendaraan produksi multiguna pedesaan dengan posisi membentuk sudut θ sebelum penambahan muatan dan penumpang [2].

Berdasarkan gambar 2.3 dengan mengambil momen dari A didapatkan persamaan :

$$h_r = \frac{W f \theta \cdot L - W l_r}{W \tan \theta} \quad \dots \dots \quad (2.6)$$

$$h = h_r + r \quad \dots \dots \quad (2.7)$$

Sama seperti titik berat, nilai h_r juga akan berubah akibat pengaruh penambahan penumpang maka persamaan akan menjadi sebagai berikut :

$$h_r' = \frac{\sum W_i \cdot h_i}{\sum W_i} \quad \dots \dots \dots \dots \dots \dots \quad (2.8)$$

$$h_r' = \frac{W \sin \theta \cdot h_r + W_p \cdot \sin \theta \cdot h_p}{W \sin \theta + W_p \sin \theta} \quad \dots \dots \dots \dots \dots \dots \quad (2.9)$$

$$h_r' = \frac{W \cdot h_r + W_p \cdot h_p}{W + W_p} \quad \dots \dots \dots \dots \dots \dots \quad (2.10)$$

Apabila dilakukan penambahan berat penumpang dan berat muatan, persamaan akan menjadi sebagai berikut :

$$h_r'' = \frac{\sum W_i \cdot h_i}{\sum W_i} \quad \dots \dots \dots \dots \dots \dots \quad (2.11)$$

$$h_r'' = \frac{(W+W_p) \cdot \sin \theta \cdot h_r' + W_m \cdot \sin \theta \cdot h_m}{(W+W_p) \cdot \sin \theta + W_m \sin \theta} \quad \dots \dots \dots \dots \dots \dots \quad (2.12)$$

$$h_r'' = \frac{(W+W_p) \cdot h_r' + W_m \cdot h_m}{W+W_p+W_m} \quad \dots \dots \dots \dots \dots \dots \quad (2.13)$$

dimana :

$W_{f\theta}$ = berat depan kendaraan saat ditimbang

W = berat total kendaraan

W_p = berat penumpang

W_m = berat muatan

h_p = jarak titik berat penumpang dengan sumbu roda

h_m = jarak titik berat muatan dengan sumbu roda

θ = sudut dongkrak mobil

r = jari-jari ban

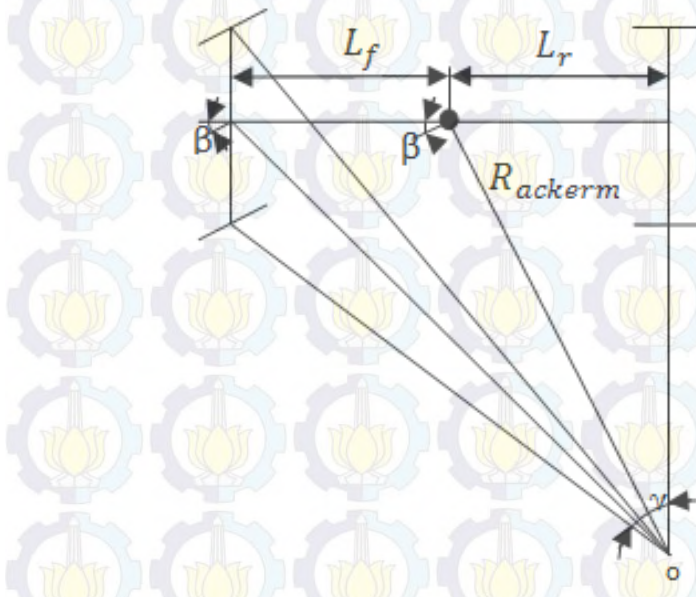
h_r' = tinggi pusat titik berat setelah penambahan berat penumpang

h_r'' = tinggi pusat titik berat setelah penambahan berat penumpang dan berat muatan

2.2 Perilaku Belok Kendaraan

2.2.1 Perilaku Kendaraan Belok Kondisi Ideal/Ackerman

Kualitas kestabilan dari kendaraan dapat ditunjukkan dengan gerakan kendaraan yang paling kritis, yaitu gerakan belok. Kondisi ideal kendaraan saat melakukan gerakan belok dikenal dengan nama kondisi Ackerman. Kondisi Ackerman adalah kondisi dimana pada saat berbelok tidak ada sudut slip yang terjadi pada ban sehingga arah gerak roda sama dengan arah bidang putar dari roda. Secara sederhana, gerakan kendaraan saat berbelok tampak seperti gambar di bawah ini:



Gambar 2. 4 Perilaku belok Ackerman [1]

Keterangan:

- O = sumbu pusat sesaat
- R_{Ackerman} = radius belok Ackerman (ideal) ($^{\circ}$)
- β = *side slip angle* kendaraan ($^{\circ}$)
- γ = sudut belok ideal ($^{\circ}$)

δ_f = sudut *steer rata-rata* roda depan ($^{\circ}$)

L_f = jarak roda depan ke *Center of Gravity* kendaraan (m)

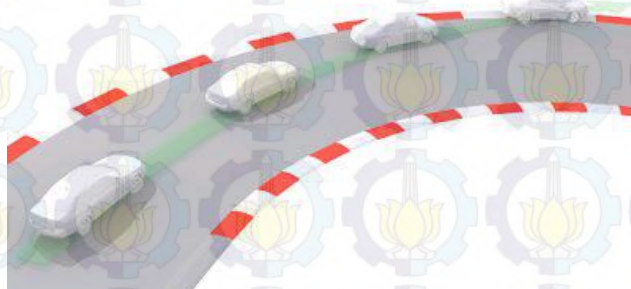
L_r = jarak roda belakang ke *Center of Gravity* kendaraan (m)

Besarnya radius belok ideal (ackerman) secara sederhana dapat ditentukan dengan menggunakan persamaan;

$$R_{Ackerman} = \frac{l_f + l_r}{\delta_f} 57,29 \dots \dots \dots \quad (2.14)$$

2.2.2 Perilaku Understeer

Kondisi *understeer* adalah kondisi dimana kendaraan sulit berbelok atau disebut juga kurang belok, sehingga memerlukan sudut belok yang lebih besar untuk radius tertentu seperti tampak pada gambar 2.4. Radius belok pada perilaku *understeer* juga lebih besar dibandingkan dengan radius belok kendaraan dengan perilaku normal. Kondisi ini biasanya terjadi karena mobil memasuki tikungan terlalu cepat. Kondisi *understeer* sangat berbahaya karena dapat menyebabkan terjadinya kecelakaan bila mobil sampai keluar dari jalan.



Gambar 2.5 Perilaku *Understeer* [2]

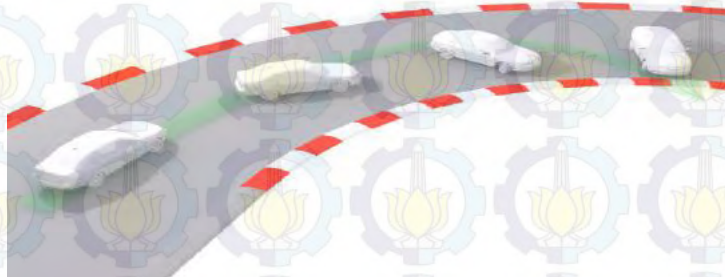
Cara untuk mengatasi perilaku *understeer* adalah dengan mengurangi kecepatan saat menikung sampai daya cengkram ban

kembali dan mobil menjadi lebih stabil, tidak menambah putaran setir, dan tidak melakukan pengereman. Sebaliknya, pengurangan putaran setir akan membuat mobil kembali stabil.

2.2.3 Perilaku Oversteer

Kondisi *oversteer* adalah kondisi dimana mobil berbelok melebihi yang diinginkan oleh pengemudi. Pada kondisi ini kendaraan menjadi sangat sulit untuk dikendalikan dan sering mengakibatkan '*lost of control*' dimana pengemudi tidak lagi mampu mengendalikan kendaraan dan menyebabkan terjadinya kecelakaan, kondisi ini tampak pada gambar 2.5. Hal ini terjadi akibat dilakukannya pengereman saat masuk tikungan.

Bila pengemudi mengerem pada saat kondisi menikung tersebut, berat mobil berpindah ke roda depan dan roda belakang kehilangan sebagian besar daya cengkramnya. Faktor lain yang menyebabkan kondisi *oversteer* adalah karena memutar setir secara tiba-tiba. Bahaya dari kondisi *oversteer* adalah mobil menjadi berputar tak terkendali dan menabrak sesuatu dari samping.



Gambar 2. 6 Perilaku Oversteer [2]

Menghindari terjadinya perilaku *oversteer* dapat dilakukan dengan cara mengurangi kecepatan mobil saat memasuki

tikungan. Namun jika kondisi *oversteer* terlanjur terjadi, cara yang dapat dilakukan untuk mengatasi hal tersebut antara lain tidak melakukan penggereman, menggunakan *counter-attack* atau memutar setir kearah berlawanan, dan mengurangi injakan pada pedal gas dapat membantu mengembalikan kestabilan mobil yang mengalami *oversteer*.

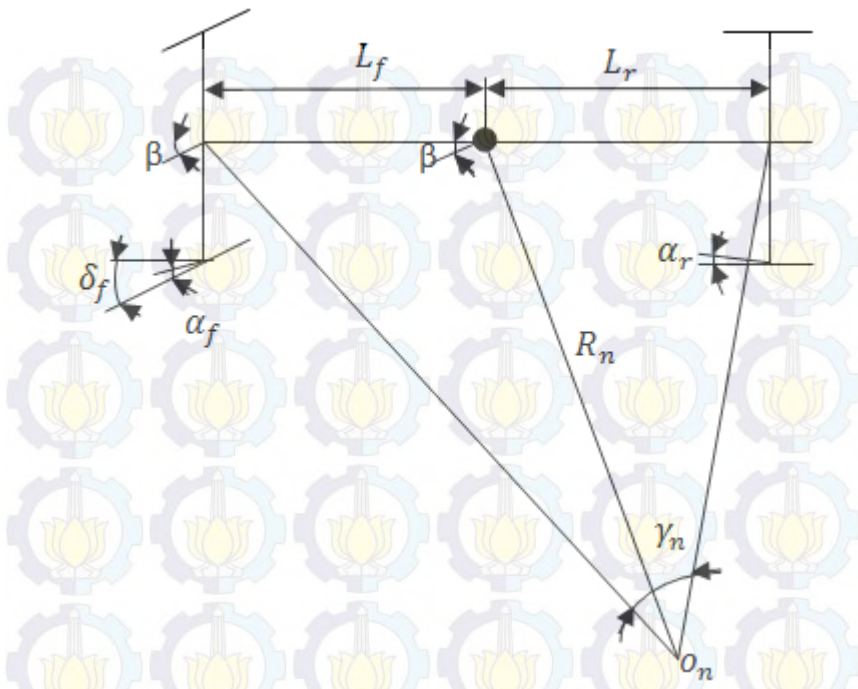
2.3 Perhitungan *Side Slip angle*

Side slip angle β dapat dihitung menggunakan kondisi ideal kendaraan saat melakukan gerakan belok yang dikenal dengan nama *Ackerman*. Kondisi *Ackerman* menganggap bahwa tidak ada sudut slip yang terjadi pada ban sehingga arah gerak roda sama dengan arah bidang putar roda. Secara sederhana, gerakan kendaraan saat berbelok tampak seperti gambar 2.4.

Karena radius belok Ackerman dianggap sama dengan radius belok minimum jalan, *side slip angle* (β) dapat dihitung dengan secara sederhana dengan menggunakan persamaan trigonometri.

$$\beta = \text{arc. sin } \left(\frac{l_r}{R_{\text{Ackerman}}} \right) \dots \dots \dots \quad (2.16)$$

Radius belok nyata dari kendaraan dapat diketahui persamaan matematisnya dari gambar 2.7 :



Gambar 2. 7 Kondisi nyata kendaraan belok [1].

Dari gambar 2.7, Radius belok nyata kendaraan dapat dirumuskan sebagai berikut:

$$R_n = \frac{L_f + L_r}{\delta_f + \alpha_r - \alpha_f} 57,29$$

dengan :

- R_n = Radius belok nyata dari kendaraan
- α_f = Besar sudut slip depan
- α_r = Besar sudut slip belakang

2.4 Koefisien Gesek

Kekasaran permukaan jalan merupakan faktor utama yang mempengaruhi koefisien gesek antara ban dan jalan. Untuk jalan kering dengan permukaan halus akan memberikan koefisien gesek yang besar antara ban dan jalan, namun sebaliknya jika ia dalam keadaan basah maka akan memberi koefisien gesek yang kecil.

J.J taborek dari hasil studinya memberikan koefisien adhesi rata-rata antara ban dan jalan untuk bermacam jenis jalan yang ditunjukkan pada tabel 2.1.

Tabel 2. 1 Koefisien adhesi ban pada bermacam jenis jalan [1].

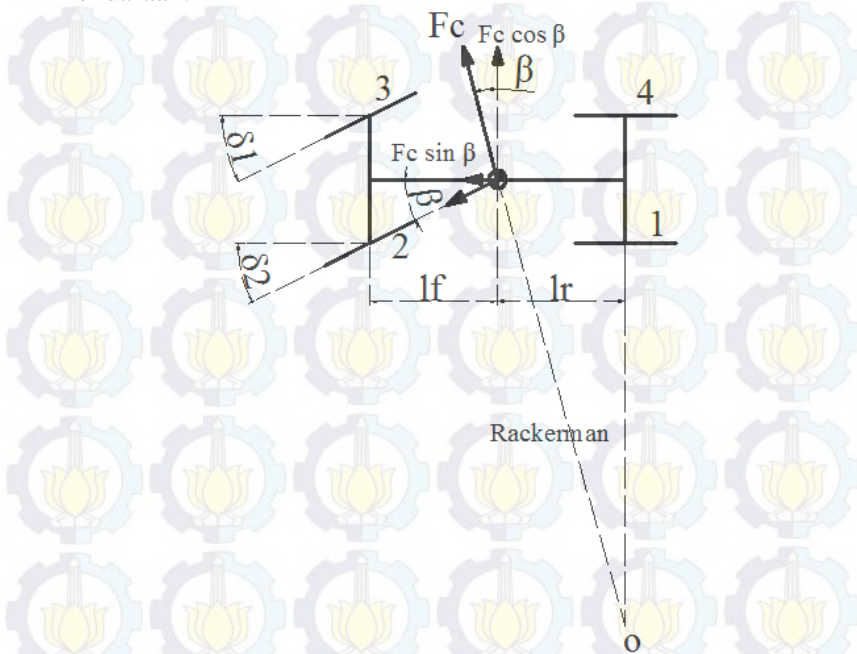
| Permukaan jalan | Koefisien Adhesi tertinggi | Koefisien Adhesi roda lock |
|--------------------------|----------------------------|----------------------------|
| Aspal dan beton (kering) | 0,8 - 0,9 | 0,75 |
| Aspal (basah) | 0,5 – 0,7 | 0,55 – 0,6 |
| Beton (basah) | 0,8 | 0,7 |
| Gravel | 0,6 | 0,55 |
| Jalan tanah (kering) | 0,68 | 0,65 |
| Jalan tanah (basah) | 0,55 | 0,4 – 0,5 |
| Snow | 0,2 | 0,15 |
| Ice | 0,1 | 0,07 |

2.5 Mengukur Perilaku Arah Kendaraan

2.5.1 Analisa Slip untuk Kendaraan Belok pada Jalan Miring

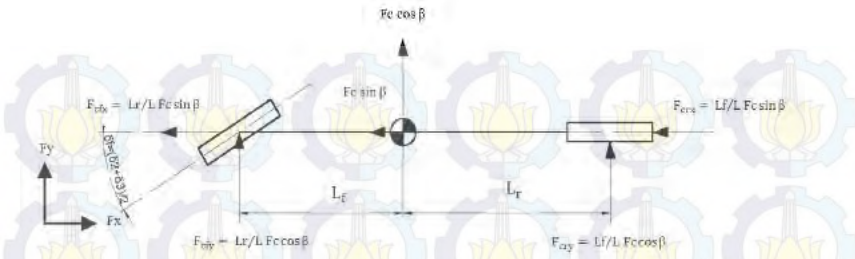
Untuk menganalisa slip pada kendaraan belok dengan jalan miring diperlukan gaya reaksi masing-masing roda agar dapat mencari sudut slip pada roda sehingga dapat diketahui perilaku arah kendaraan saat belok pada jalan miring. Pada gambar 2.8 tampak *free body diagram* kendaraan saat belok

dengan *full model* untuk mengetahui gaya sentrifugal pada kendaraan.



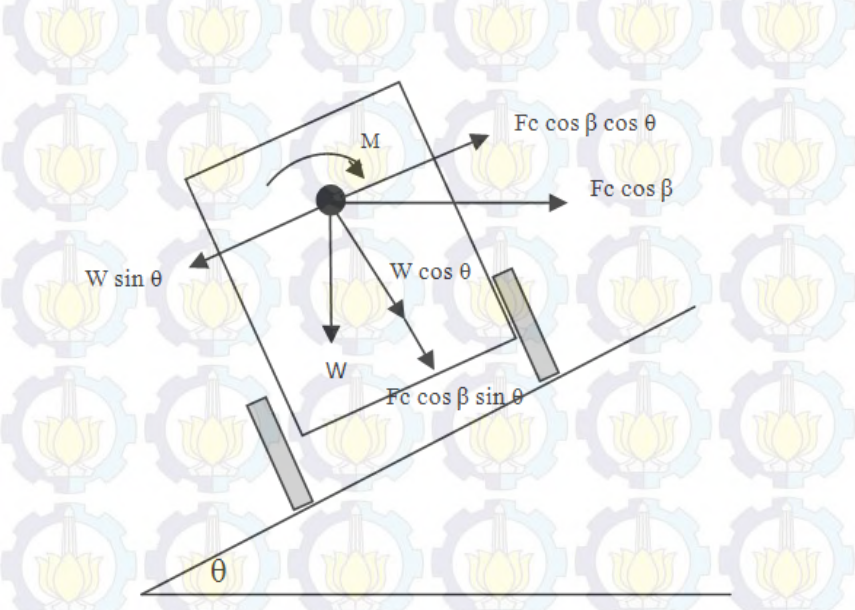
Gambar 2. 8 Free Body Diagram kendaraan saat berbelok *full model* [1].

Agar lebih jelas untuk mengetahui besarnya gaya sentrifugal pada roda maka dapat dilihat *free body diagram* dari model sepeda saat kendaraan berbelok pada gambar 2.9.



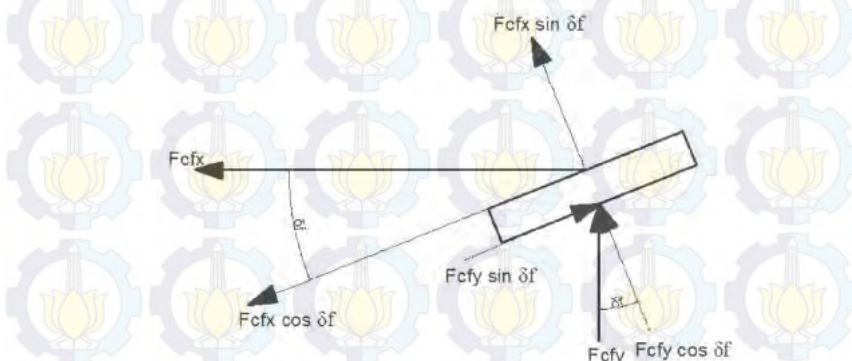
Gambar 2. 9 Free Body Diagram kendaraan saat berbelok pada bidang datar bicycle model [1].

Untuk mengetahui F_y pada kendaraan belok dengan kondisi jalan miring, maka dapat dilihat pada gambar 2.10 yang menjelaskan free body diagram dari kendaraan belok pada jalan miring.



Gambar 2. 10 Free Body Diagram untuk kendaraan belok pada jalan miring [3].

Dinamika belok pada roda depan dapat ditunjukkan melalui *free body diagram* pada gambar 2.11.



Gambar 2. 11 Free Body Diagram roda depan bicycle model [1].

Berdasarkan gambar 2.9 dan gambar 2.10, maka didapatkan gaya sentrifugal kearah sumbu x dan sumbu y pada roda depan dan roda belakang:

Persamaan gaya sentrifugal pada roda depan :

$$F_{cfx} = \frac{L_r}{L} F_c \sin \beta \quad \dots \dots \dots \quad (2.18)$$

$$F_{cfy} = \frac{l_r}{L} (F_c \cos \theta \cos \beta - W \sin \theta) \quad \dots \dots \dots \quad (2.19)$$

Persamaan gaya sentrifugal pada roda belakang :

$$F_{crx} = \frac{L_f}{L} F_c \sin \beta \quad \dots \dots \dots \quad (2.20)$$

$$F_{cry} = \frac{L_f}{L} (F_c \cos \theta \cos \beta - W \sin \theta) \quad \dots \dots \dots \quad (2.21)$$

Dari gambar 2.8 , gambar 2.9, gambar 2.10 dan gambar 2.11 di atas maka dapat diperoleh persamaan F_x dan F_y pada roda depan, sebagai berikut :

$$F_{x_2} = \frac{1}{2} [F_{c_{fx}} \cos \delta_f - F_{c_{fy}} \sin \delta_f] \quad \dots \dots \dots \quad (2.22)$$

$$F_{y_2} = \frac{1}{2} [F_{c_{fy}} \cos \delta_f + F_{c_{fx}} \sin \delta_f] \quad \dots \dots \dots \quad (2.23)$$

$$F_{x_3} = \frac{1}{2} [F_{c_{fx}} \cos \delta_f - F_{c_{fy}} \sin \delta_f] \quad \dots \dots \dots \quad (2.24)$$

$$F_{y_3} = \frac{1}{2} [F_{c_{fy}} \cos \delta_f + F_{c_{fx}} \sin \delta_f] \quad \dots \dots \dots \quad (2.25)$$

Persamaan F_x dan F_y pada roda belakang, sebagai berikut :

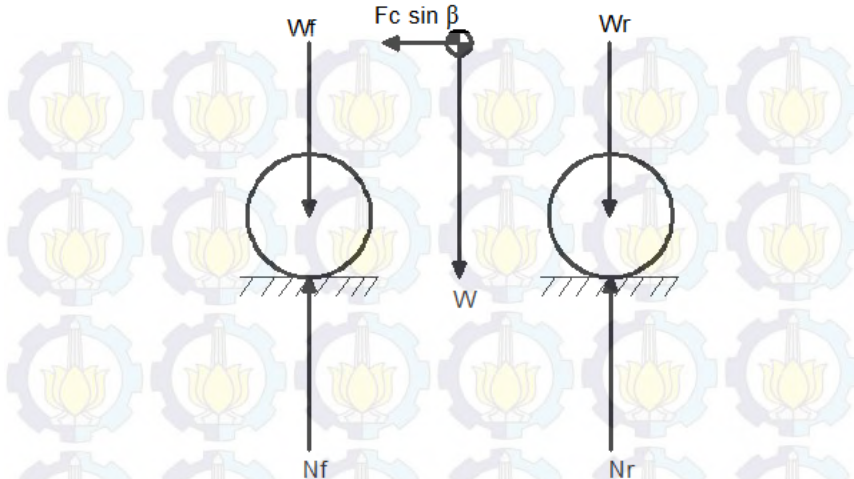
$$F_{x_1} = \frac{F_{crx}}{2} = \frac{L_f}{2.L} F_c \sin \beta \quad \dots \dots \dots \quad (2.26)$$

$$F_{y_1} = \frac{F_{cry}}{2} = \frac{L_f}{2.L} (F_c \cos \theta \cos \beta - W \sin \theta) \quad \dots \dots \dots \quad (2.27)$$

$$F_{x_4} = \frac{F_{crx}}{2} = \frac{L_f}{2.L} F_c \sin \beta \quad \dots \dots \dots \quad (2.28)$$

$$F_{y_4} = \frac{F_{cry}}{2} = \frac{L_f}{2.L} (F_c \cos \theta \cos \beta - W \sin \theta) \quad \dots \dots \dots \quad (2.29)$$

Untuk mengetahui berat roda depan dan berat roda belakang dapat diperhatikan dari *free body diagram* pada gambar 2.11.



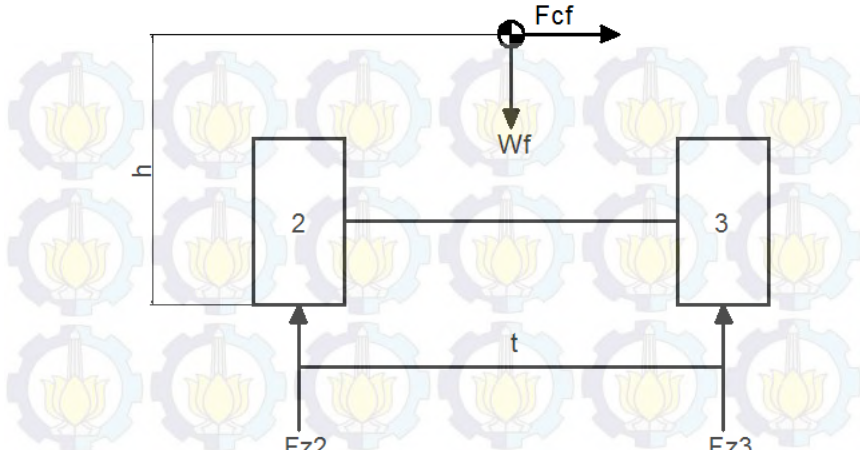
Gambar 2. 12 Free Body Diagram tampak samping *bicycle model* [1].

Dari gambar 2.12 maka dapat diperoleh persamaan berat roda belakang dan roda depan, sebagai berikut :

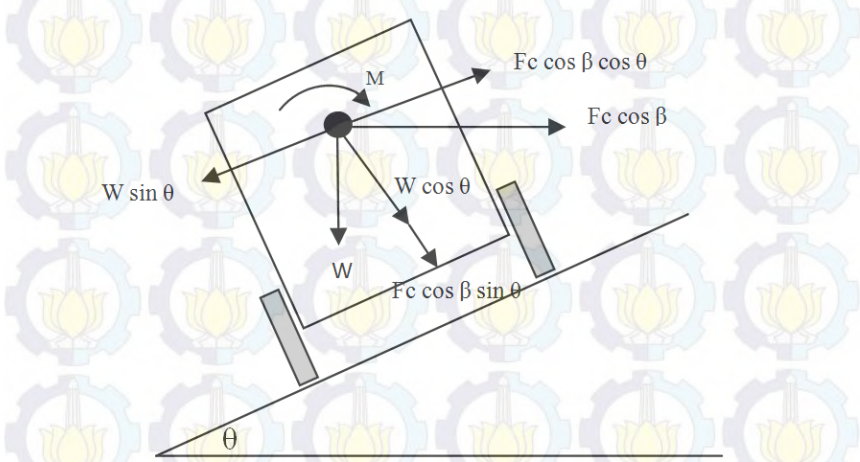
$$W_f = \frac{L_r}{L} W + \frac{F_c \cdot h \cdot \sin \beta}{L} \quad \dots \dots \dots \quad (2.30)$$

$$W_r = \frac{L_f}{L} W - \frac{F_c \cdot h \cdot \sin \beta}{L} \quad \dots \dots \dots \quad (2.31)$$

Setelah mencari F_x dan F_y pada masing-masing roda dan dengan diketahuinya berat roda depan dan berat roda belakang, maka dapat diketahui pula F_z dari masing-masing roda tersebut dengan melihat *free body diagram* pada gambar 2.13 pada jalan datar dan gambar 2.14 pada jalan miring.



Gambar 2. 13 Free Body Diagram kendaraan roda depan untuk mencari F_z pada jalan datar [1].



Gambar 2. 14 Free Body Diagram untuk kendaraan belok pada jalan miring [3].

Dari gambar 2.13 dan gambar 2.14 maka dapat diperoleh persamaan F_z pada roda depan, sebagai berikut :

$$F_{z_2} = \frac{W_f}{2} + \frac{Fc_f h}{t}$$

$$= \frac{l_r}{2L} (W \cos \theta + F_c \cos \beta \sin \theta) - \frac{l_r}{2L} \left(\frac{F_c \cdot h \cdot \cos \beta \cdot \cos \theta - W \cdot h \cdot \sin \theta}{0.5 \cdot t_f} \right) + \frac{F_c \cdot h \sin \beta}{2L} \quad \dots \dots \dots \quad (2.32)$$

$$F_{z_3} = \frac{W_f}{2} + \frac{Fc_f h}{t}$$

$$= \frac{l_r}{2L} (W \cos \theta + F_c \cos \beta \sin \theta) + \frac{l_r}{2L} \left(\frac{F_c \cdot h \cdot \cos \beta \cdot \cos \theta - W \cdot h \cdot \sin \theta}{0.5 \cdot t_f} \right) + \frac{Fc_g \cdot h \sin \beta}{2L} \quad \dots \dots \dots \quad (2.33)$$

Dari gambar 2.14 maka dapat diperoleh persamaan F_z pada roda belakang, sebagai berikut :

$$F_{z_1} = \frac{W_r}{2} - \frac{Fc_r h}{t}$$

$$= \frac{l_f}{2L} (W \cos \theta + F_c \cos \beta \sin \theta) - \frac{l_f}{2L} \left(\frac{F_c \cdot h \cdot \cos \beta \cdot \cos \theta - W \cdot h \cdot \sin \theta}{0.5 \cdot t_f} \right) - \frac{Fc \cdot h \sin \beta}{2L} \quad \dots \dots \dots \quad (2.34)$$

$$F_{z_4} = \frac{W_r}{2} - \frac{Fc_r h}{t}$$

$$= \frac{l_f}{2L} (W \cos \theta + F_c \cos \beta \sin \theta) + \frac{l_f}{2L} \left(\frac{F_c \cdot h \cdot \cos \beta \cdot \cos \theta - W \cdot h \cdot \sin \theta}{0.5 \cdot t_f} \right) - \frac{Fc \cdot h \sin \beta}{2L} \quad \dots \dots \dots \quad (2.35)$$

Rumusan sudut slip untuk ban radial baru :

$$\alpha_i = \frac{C_{rs}}{C_{rg}} \cdot \frac{C_{rx}}{C_{ro}} [0,087935 (F_{y_i} \alpha)^{0,79008} - 0,005277 (F_{z_i})] \dots (2.36)$$

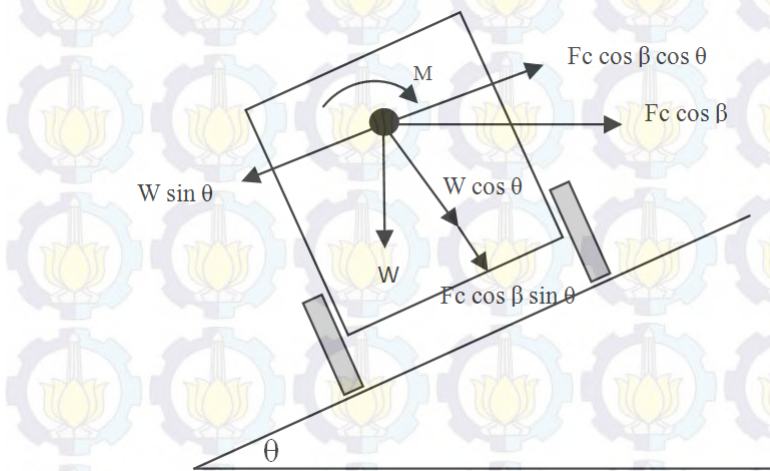
Ketika :

- a. $\alpha_f > \alpha_r$, maka kendaraan akan mengalami *understeer*
- b. $\alpha_f < \alpha_r$, maka kendaraan akan mengalami *oversteer*

2.5.2 Analisa Skid untuk Kendaraan Belok pada Jalan Miring

2.5.2.1 Analisa Skid untuk Roda Depan

Analisa skid untuk kendaraan belok pada jalan miring dapat dihitung dan diketahui persamaan matematisnya melalui *free body diagram* pada gambar 2.15.



Gambar 2. 15 *Free Body Diagram* untuk kendaraan belok pada jalan miring [3].

Berdasarkan *Free Body Diagram* pada gambar 2.15, besarnya kecepatan maksimum agar roda depan tidak skid untuk kendaraan belok pada jalan miring dirumuskan berdasarkan komponen gaya sentrifugal dan gaya normal dari kendaraaan.

- Komponen gaya sentrifugal

$$F_{cf} = \frac{l_r}{L} (F_c \cos \theta \cos \beta - W \sin \theta) \dots\dots\dots (2.37)$$

- Komponen gaya normal

$$F_{zf} = \frac{l_r}{L} (W \cos \theta + F_c \cos \beta \sin \theta) + \frac{F_c \cdot h \sin \beta}{L} \dots\dots (2.38)$$

Kondisi kritis dimana roda depan akan mulai skid terjadi apabila :

$$F_{cf} = \mu_m \cdot F_{zf}$$

Sehingga besarnya kecepatan maksimum agar roda depan tidak skid dapat dicari dengan persamaan sebagai berikut :

$$V_{fs} = \sqrt{\frac{R \cdot g \cdot l_r (\sin \theta + \mu_m \cos \theta)}{l_r (\cos \theta - \mu_m \sin \theta) \cos \beta - \mu \cdot h \sin \beta}} \dots\dots\dots (2.39)$$

$$\text{Dengan } F_{cg} = \frac{W v^2}{g \cdot R} \dots\dots\dots (2.40)$$

Dimana :

V_{fs} = kecepatan maksimum roda depan (m/s)

R = radius belok jalan (m)

g = percepatan gravitasi (m/s^2)

μ_m = koefisien gesek melintang

θ = sudut kemiringan melintang ($^\circ$)

β = sudut side slip ($^\circ$)

h = tinggi *center of gravity* kendaraan (m)

W = berat total kendaraan (Kg)

2.5.2.2 Analisa Skid untuk Roda Belakang

Besarnya kecepatan maksimum pada roda belakang agar kendaraan tidak skid dapat diketahui dengan cara yang sama untuk roda depan yaitu berdasarkan komponen gaya sentrifugal dan gaya normal dari kendaraan.

- Komponen gaya sentrifugal

$$F_{cr} = \frac{l_f}{L} (F_c \cos \theta \cos \beta - W \sin \theta) \dots\dots\dots (2.41)$$

- Komponen gaya normal

$$F_{zr} = \frac{l_f}{L} (W \cos \theta + F_c \cos \beta \sin \theta) - \frac{F_c \cdot h \sin \beta}{L} \dots(2.42)$$

Kondisi kritis dimana roda belakang akan mulai skid terjadi apabila : $F_{cr} = \mu_m \cdot F_{zr}$

Sehingga besarnya kecepatan maksimum agar roda depan tidak skid dapat dicari dengan persamaan sebagai berikut :

$$V_{rs} = \sqrt{\frac{R \cdot g \cdot l_f (\sin \theta + \mu_m \cos \theta)}{l_f (\cos \theta - \mu_m \sin \theta) \cos \beta + \mu \cdot h \sin \beta}} \dots\dots\dots (2.43)$$

$$\text{Dengan } F_{cg} = \frac{w v^2}{g \cdot R}$$

V_{rs} = kecepatan maksimum roda belakang (m/s)

Secara umum :

Jika $V_{fs} > V_{rs}$, skid roda belakang akan terjadi sebelum skid roda depan dan kendaraan cenderung *oversteer*.

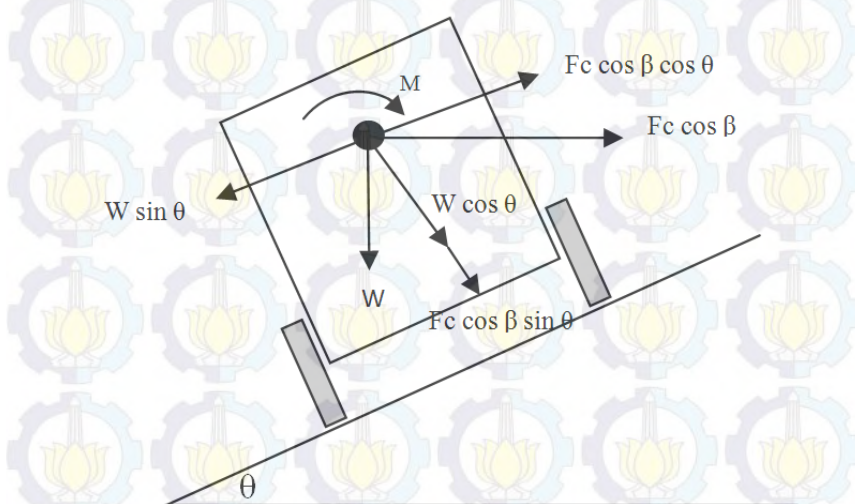
Jika $V_{fs} < V_{rs}$, skid roda depan akan terjadi sebelum skid roda belakang dan kendaraan cenderung *understeer*.

2.5.3 Analisa Guling untuk Kendaraan Belok pada Jalan Miring

Analisa guling bertujuan untuk mencari kondisi terangkatnya salah satu roda depan atau roda belakang. Jika satu roda depan terangkat maka kendaraan mengalami kondisi *understeer*, untuk roda belakang yang terangkat maka kendaraan mengalami kondisi *oversteer* dan apabila roda depan dan roda belakang terangkat maka kendaraan akan mengalami kondisi guling total.

2.5.3.1 Analisa Guling untuk Roda Depan

Analisa guling untuk kendaraan belok pada jalan miring dapat dihitung dan diketahui persamaan matematisnya melalui *free body diagram* pada gambar 2.16.



Gambar 2. 16 Free Body Diagram untuk kendaraan belok pada jalan miring [3].

Berdasarkan gambar 2.16, maka besarnya kecepatan maksimum agar roda depan tidak mengalami guling dapat diketahui berdasarkan komponen gaya normal pada roda 2 dengan menggunakan persamaan sebagai berikut :

$$F_{Z_2} = \frac{l_r}{L} (\text{W} \cos \theta + F_{cg} \cos \beta \sin \theta) - \frac{l_r}{L} \left(\frac{F_{cg} \cdot h \cdot \cos \beta \cdot \cos \theta - W \cdot h \cdot \sin \theta}{0.5 \cdot t_f} \right) + \frac{F_{cg} \cdot h \sin \beta}{L} \dots \dots \dots (2.44)$$

Kondisi kritis roda depan akan mulai terjadi apabila : $F_{Z_2} = 0$

Sehingga kecepatan maksimum agar roda depan tidak mengalami guling dapat diketahui berdasarkan persamaan sebagai berikut :

$$V_{fg} = \sqrt{\frac{R \cdot g \cdot l_r \cdot (\cos \theta + h \cdot \sin \theta / 0.5 \cdot t_f)}{l_r \cdot h \cdot \cos \beta \cdot \cos \theta / 0.5 \cdot t_f - (l_r \cos \beta \cdot \sin \theta + h \cdot \sin \beta)}} \dots \dots \dots (2.45)$$

Dengan $F_{cg} = \frac{w v^2}{q \cdot R}$

Dimana :

V_{fg} = kecepatan maksimum kendaraan yang diizinkan agar roda depan tidak guling (m/s)

R = radius belok jalan (m)

g = percepatan gravitasi (m/s^2)

μ_m = koefisien gesek melintang

θ = sudut kemiringan melintang ($^{\circ}$)

β = sudut side slip ($^{\circ}$)

h = tinggi center of gravity kendaraan (m)

t_f = lebar *track* depan (m)

W = berat total kendaraan (Kg)

2.5.3.2 Analisa Guling untuk Roda Belakang

Berdasarkan gambar 2.16 maka besarnya kecepatan maksimum agar roda belakang tidak mengalami guling dapat diketahui berdasarkan komponen gaya normal pada roda 1 dengan menggunakan persamaan sebagai berikut :

$$F_{Z_1} = \frac{l_f}{L} (W \cos \theta + F_{cg} \cos \beta \sin \theta) - \frac{l_f}{L} \left(\frac{F_{cg} \cdot h \cdot \cos \beta \cdot \cos \theta - W \cdot h \cdot \sin \theta}{0.5 \cdot t_f} \right) - \frac{F_{cg} \cdot h \sin \beta}{L} \quad (2.46)$$

Kondisi kritis roda belakang akan mulai terjadi apabila : $F_{z1} = 0$

Sehingga kecepatan maksimum agar roda depan tidak mengalami guling dapat diketahui berdasarkan persamaan sebagai berikut :

$$V_{rg} = \sqrt{\frac{R \cdot g \cdot l_f \cdot (\cos \theta + h \cdot \sin \theta / 0.5 \cdot t_r)}{l_f \cdot h \cdot \cos \beta \cdot \cos \theta / 0.5 \cdot t_r - (-h \cdot \sin \beta + l_f \cdot \cos \beta \cdot \sin \theta)}} \quad (2.47)$$

$$\text{Dengan } F_{cg} = \frac{w v^2}{g \cdot R}$$

Dimana :

V_{rg} = Kecepatan maksimum kendaraan yang diizinkan agar roda belakang tidak guling (m/s)

t_r = lebar track belakang (m)

Secara umum :

Jika $V_{fg} > V_{rg}$, satu roda belakang terangkat sebelum satu roda depan terangkat dan kendaraan cenderung *oversteer*.

Jika $V_{fs} < V_{rs}$, satu roda depan terangkat sebelum satu roda belakang terangkat dan kendaraan cenderung *understeer*.

2.5.4 Analisa understeer (Kus)

Metoda ini dimaksudkan untuk mencari *understeer* indek (K_{us}) dan kecepatan karakteristik (V_{ch}). *Understeer* indek (K_{us}) yaitu besaran yang dapat mengidentifikasi perilaku arah dari kendaraan belok. Kecepatan karakteristik (V_{ch}) adalah kecepatan maksimum bagi kendaraan *understeer*. Apabila kendaraan *understeer* melebihi kecepatan karakteristiknya, maka kendaraan tersebut akan sangat sulit untuk berbelok.

Persamaan sudut belok roda depan dapat dituliskan sebagai berikut :

$$\delta_f = \frac{a+b}{R} 57,29 + \alpha_f^\circ - \alpha_r^\circ \dots \dots \dots \quad (2.48)$$

Dengan :

R° = Radius belok nyata dari kendaraan

α_f° = Besar sudut slip depan

α_r° = Besar sudut slip belakang

Sudut Slip depan dan belakang

$$\alpha_f^\circ - \alpha_r^\circ = K_f \cdot \frac{V^2}{R.g} - K_r \cdot \frac{V^2}{R.g} \dots \dots \dots \quad (2.49)$$

$$= (K_f - K_r) \cdot \frac{V^2}{R.g} \dots \dots \dots \quad (2.50)$$

$$= K_{us} \cdot \frac{V^2}{R.g} \dots \dots \dots \quad (2.51)$$

$$K_{us} = (\alpha_f^\circ - \alpha_r^\circ) \frac{R.g}{V^2} \dots \dots \dots \quad (2.52)$$

dimana :

K_f , K_r = Konstanta kekakuan lateral roda depan dan belakang

K_{us} = Indek Understeer

V = Kecepatan Kendaraan Belok

g = percepatan gravitasi

Dengan memasukkan persamaan (2.47) dan (2.50) maka didapatkan :

$$\delta_f = \frac{a+b}{R} 57,29 + K_{us} \frac{V^2}{R.g} \quad \dots \dots \dots \quad (2.53)$$

Dari rumusan kinematika didapatkan kecepatan putaran bodi atau yaw ($\dot{\theta}$) sebagai berikut :

$$\dot{\theta} = \frac{V}{R} \quad \dots \dots \dots \quad (2.54)$$

Dengan menggabungkan persamaan (2.52) dan (2.53), maka :

$$\frac{\dot{\theta}}{\delta_f} = \frac{V}{L.57,29+K_{us} \cdot \frac{V}{R}} \quad \dots \dots \dots \quad (2.55)$$

Kecepatan karakteristik didapatkan dari persamaan berikut :

$$V_{ch} = \sqrt{\frac{57,29 \cdot L \cdot g}{K_{us}}} \quad \dots \dots \dots \quad (2.56)$$

Dari persamaan-persamaan di atas didapatkan nilai K_{us} sebagai berikut, ketika :

- $K_{us} = 0$, maka kendaraan netral
- $K_{us} = +$, maka kendaraan *understeer*
- $K_{us} = -$, maka kendaraan *oversteer*

2.6 Penelitian Terdahulu

Berbagai penelitian terdahulu tentang analisa stabilitas kendaraan yang telah dilakukan antara lain oleh Muhammad Ashadi Fitrawan mengenai Analisa Steering Linkage Pada Inka GEA dan Stabilitas dengan Variabel Kecepatan, Sudut Belok Terhadap Beban Muatan dan Posisi Muatan pada tahun 2012.

Analisa ini hanya dilakukan pada jalan datar dengan kondisi jalan kering. Hasil yang diperoleh adalah grafik antara nilai *understeer index* (Kus) dengan sudut belok kendaraan (δ_f) dan merekomendasikan *system steering linkage* yang memiliki kondisi mendekati optimal.

Dari analisa didapatkan bahwa semakin besar kecepatan belok dan sudut steer dari kendaraan, maka sudut slip yang terbentuk akan semakin besar. Nilai CG akan bergeser dengan bertambahnya berat muatan. Apabila CG bergeser ke depan maka kendaraan cenderung *understeer* dan apabila CG bergeser ke belakang maka kendaraan cenderung menjadi *oversteer*. Kecenderungan *oversteer* semakin besar pada saat roda 1 terangkat dan pada saat ini kendaraan sudah masuk kategori *unsafe*. Kecenderungan roda 1 untuk terangkat dengan sudut terbesar adalah pada sudut 14° , dicapai pada muatan 500 kg baik di posisi 1 maupun posisi 2 dan dicapai pada kecepatan 40 km/jam. Kecenderungan untuk guling dicapai pada sudut terbesar pada 21° pada muatan 1000 kg dan pada kecepatan 40 km/jam. Sedangkan pada kecepatan 80 km/jam kendaraan guling pada kisaran 4° - 5° . [4]

Penelitian selanjutnya oleh Rizqi An Naafi telah menganalisa perilaku arah Mobil GEA Pada Lintasan Belok Menurun Dengan Variasi Kecepatan, Berat Muatan, Sudut Kemiringan Melintang, Sudut Turunan Jalan Dan Radius Belok Jalan pada tahun 2013. Analisa ini hanya dilakukan pada jalan yang memiliki koefisien adhesi aspal dan tidak memperhitungkan sudut slip roda. Didapatkan hasil:

1. Berdasarkan analisa *understeer* dan *oversteer* serta analisa *skid* diperoleh apabila kendaraan tanpa muatan mengalami kondisi *understeer* namun saat terdapat muatan 500kg, 750kg dan 1000kg kendaraan mengalami kondisi *oversteer*. Sedangkan menurut analisa guling pada semua muatan akan terjadi *oversteer*. [3]
2. Harga Vfs dan Vrs menurut analisa *skid* naik seiring dengan pertambahan sudut kemiringan melintang jalan

dan radius beloknya. Harga Vfs naik seiring pertambahan muatan namun harga Vrs mengalami penurunan. [3]

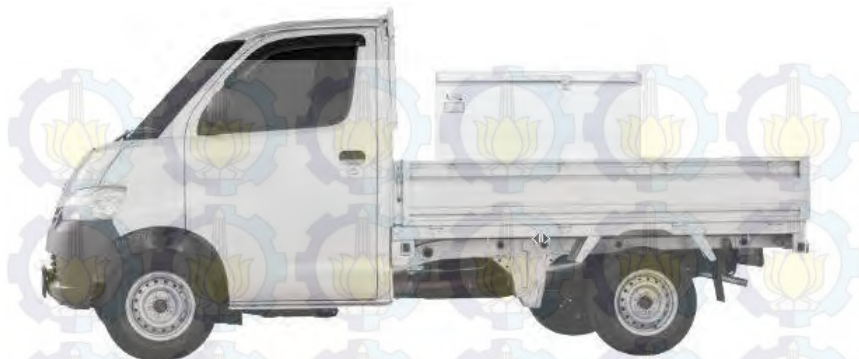
3. Berdasarkan analisa guling harga Vfg dan Vrg naik seiring pertambahan sudut kemiringan melintang jalan dan radius beloknya. [3]
4. Kecepatan maksimum terbesar menurut analisa *understeer* dan *oversteer* terdapat pada kendaraan tanpa muatan, sudut turunan jalan 20° , yaitu sebesar 16,67 km/jam. Sedangkan kecepatan maksimum terkecil adalah pada berat dengan muatan 1000kg dan sudut turunan jalan 45° yaitu sebesar 6,4 km/jam. [3]

2.7 Data Teknis Kendaraan

Kendaraan produksi multiguna pedesaan memiliki spesifikasi sebagai berikut:



Gambar 2. 17 Kendaraan produksi multiguna pedesaan dengan muatan Multi Purpose Thresher



Gambar 2. 18 Kendaraan produksi multiguna pedesaan dengan muatan Freezer

Tabel 2. 2 Spesifikasi Kendaraan Produksi Multiguna [5]

| | | |
|---------------------|--------------|---------|
| Overall length | | 4195 mm |
| Overall width | | 1675 mm |
| Overall height | | 1890 mm |
| Wheelbase | | 2650 mm |
| Track | Front | 1460 mm |
| | Rear | 1440 mm |
| Min. road clearance | Kerb weight | 175 mm |
| Load deck lenght | | 2350 mm |
| Load deck width | | 1585 mm |
| load deck height | | 360 mm |
| Min. turning circle | Kerb to kerb | 9,4 mm |
| | Wall to wall | 10 mm |

| | |
|----------------------|--------------|
| Kerb | 1025-1045 kg |
| Gross vehicle weight | 2100 kg |
| Seat capacity | 3(2) persons |

Tabel 2. 3 Spesifikasi Muatan Multi Purpose Threser [6]

| | |
|---------------------------------|-----------------------|
| Model | TPA-1000 MG |
| Putaran poros utama | 600-650 rpm |
| Kapasitas | Padi |
| | Kedelai |
| | Jagung |
| Kebutuhan daya | 7-8 Hp |
| Dimensi Thresher (P x L x T) | 1430 x 1200 x 1510 mm |
| Dimensi Keseluruhan (P x L x T) | 1750 x 1200 x 1510 mm |
| Berat tanpa motor | 182 kg |
| Panjang jerami | 400-550 mm |
| Panjang tangkai kedelai | 400-550 mm |

Tabel 2. 4 Spesifikasi Muatan Freezer [7]

| | |
|---------------------------------|----------------------------|
| Exterior Dimensions (W x D x H) | 1092,2 x 571,5 x 793,75 mm |
| Interior Dimensions (W x D x H) | 920,75 x 444,5 x 615,95 mm |
| Net Volume | 0,238 m ³ |
| Net Weight | 439,985 kg |
| Voltage | 110 V |
| Ampere | 1,4 A |
| Hz | 60 Hz |
| Phase | 1 |
| Input Power | 150 W |
| Temp Range | (-12,2°C) - (-20°C) |

(halaman ini sengaja dikosongkan)

BAB III

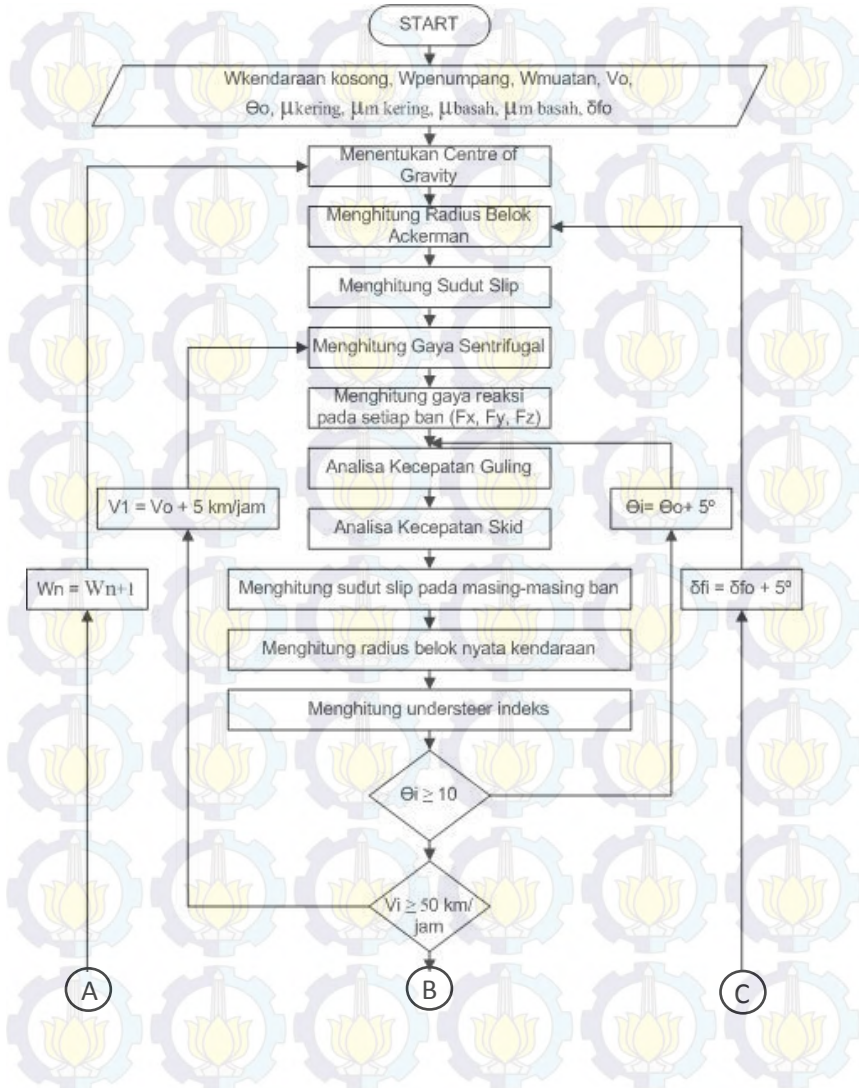
METODOLOGI

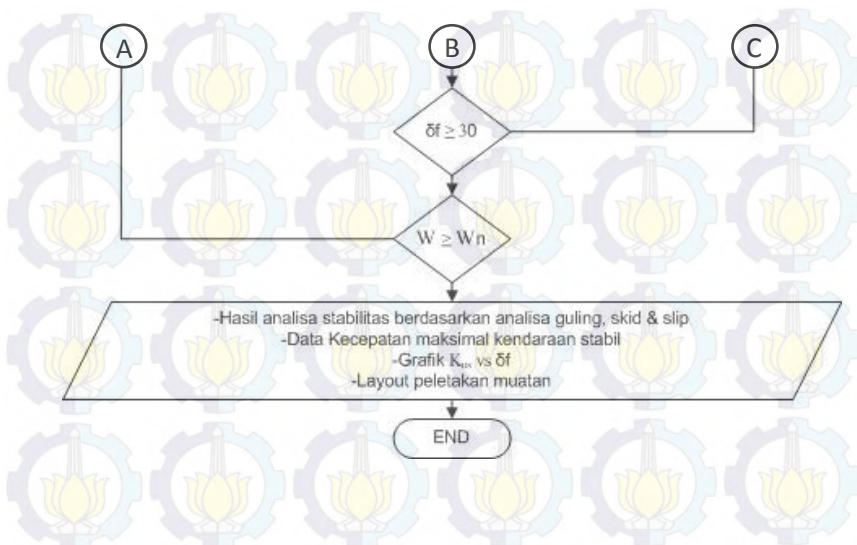
3.1 Prosedur Penelitian

Proses penyusunan tugas akhir ini, prosedur penelitian dilakukan dalam beberapa tahapan sebagai berikut:

- Tahap awal, penelitian dilakukan studi literatur dari berbagai buku, jurnal-jurnal ilmiah dan penelitian-penelitian terdahulu yang terkait dengan kestabilan arah kendaraan.
- Tahap kedua, yaitu penentuan objek mobil yang akan diteliti, dalam hal ini mobil yang akan diteliti adalah kendaraan produksi multiguna pedesaan.
- Tahap terakhir, setelah didapatkan data spesifikasi dari kendaraan produksi multiguna pedesaan dilakukan analisa kestabilan arah kendaraan tersebut berdasarkan analisa slip, skid dan guling. Lalu dapat dilakukan penarikan kesimpulan.

3.2 Flowchart Perhitungan





3.3 Prosedur Perhitungan

Langkah-langkah yang perlu dilakukan dalam perhitungan stabilitas arah kendaraan produksi multiguna pedesaan adalah sebagai berikut:

1. Mencari data-data dari spesifikasi kendaraan produksi multiguna pedesaan yang akan digunakan sebagai data input, meliputi: lokasi center of gravity (CG), berat kendaraan serta jenis dan ukuran ban.
2. Mengumpulkan data input lain yang akan divariasikan dalam perhitungan, seperti variasi kecepatan, sudut turunan jalan, sudut kemiringan jalan, berat muatan serta dimensi muatan
 - Muatan Multi Purpose Thresher
Ws= 182 kg, Dimensi PxLxT= 1430 x 1200 x 1510 (mm)
 - Muatan Freezer

$W_d = 208 \text{ kg}$, Dimensi $P \times L \times T = 1092,5 \times 571,5 \times 793,75 \text{ (mm)}$

- Sudut belok (δ_f) divariasikan $5^\circ, 10^\circ, 15^\circ, 20^\circ, 25^\circ$ dan 30° .
 - Kecepatan (V) yang divariasikan: 20 km/jam, 25 km/jam, 30 km/jam, 35 km/jam, 40 km/jam, 45 km/jam dan 50 km/jam;
 - Sudut kemiringan melintang jalan (θ) yang divariasikan: $0^\circ, 5^\circ$ dan 10° .
 - Jarak titik berat muatan ke sumbu roda depan (b)
 - Jarak titik berat penumpang ke sumbu roda depan (a)
 - Koefisien adhesi jalan
 μ aspal kering = 0,9
 μ aspal basah = 0,7
 - Koefisien gesek melintang permukaan jalan
 μ aspal kering = $0,8 \times 0,9 = 0,72$
 μ aspal basah = $0,8 \times 0,7 = 0,56$
3. Mencari perubahan center of gravity karena adanya pertambahan muatan

$$W_r \cdot L = W_p \cdot a + W_k \cdot l_f + W_m \cdot b$$

$$l_f' = \frac{W_r \cdot L}{W_t}$$

$$h_r = \frac{W_f \theta \cdot L - W l_r}{W \tan \theta}$$

$$h_r' = \frac{W \cdot h_r + W_p \cdot h_p}{W + W_p}$$

$$h_r'' = \frac{(W + W_p) \cdot h_r' + W_m \cdot h_m}{W + W_p + W_m}$$

$$h = h_r'' + 0,5 D_{roda}$$

4. Mencari Radius belok *ackerman* kendaraan dengan

$$R_{ack} = \left(\frac{L}{\delta_f} \right) 57,29$$

5. Mencari sudut side slip kendaraan dengan
 $\beta = \arcsin \left(\frac{l_r}{R_{ack}} \right)$
6. Menghitung besarnya gaya sentrifugal (F_c)

$$F_c = \frac{W \cdot V^2}{g \cdot R}$$
7. Menghitung gaya reaksi yang diterima oleh tiap-tiap ban pada arah sumbu x,y dan z
8. Menghitung kecepatan maksimum kendaraan berdasarkan analisa guling

$$V_{fg} = \sqrt{\frac{R \cdot g \cdot l_r \cdot (\cos \theta + h \cdot \sin \theta / 0.5 \cdot t_f)}{l_r \cdot h \cdot \cos \beta \cdot \cos \theta / 0.5 \cdot t_f - (l_r \cos \beta \cdot \sin \theta + h \cdot \sin \beta)}}$$

$$V_{rg} = \sqrt{\frac{R \cdot g \cdot l_f \cdot (\cos \theta + h \cdot \sin \theta / 0.5 \cdot t_r)}{l_f \cdot h \cdot \cos \beta \cdot \cos \theta / 0.5 \cdot t_r - (h \cdot \sin \beta - l_f \cos \beta \cdot \sin \theta +)}}$$

9. Menghitung kecepatan maksimum kendaraan berdasarkan analisa skid

$$V_{fs} = \sqrt{\frac{R \cdot g \cdot l_r \cdot (\sin \theta + \mu_m \cos \theta)}{l_r \cdot (\cos \theta - \mu_m \sin \theta) \cos \beta - \mu \cdot h \sin \beta}}$$

$$V_{rs} = \sqrt{\frac{R \cdot g \cdot l_f \cdot (\sin \theta + \mu_m \cos \theta)}{l_f \cdot (\cos \theta - \mu_m \sin \theta) \cos \beta + \mu \cdot h \sin \beta}}$$

10. Menghitung sudut slip tiap ban ($\alpha_1, \alpha_2, \alpha_3, \alpha_4$), sudut slip roda depan α_f merupakan rata-rata dari kedua sudut

slip pada ban roda depan sebelah kiri dan kanan $\frac{(\alpha_1 + \alpha_2)}{2}$.

Begitu juga menghitung sudut slip roda belakang $\frac{(\alpha_3 + \alpha_4)}{2}$.

11. Menghitung radius belok nyata

$$R_n = \frac{a+b}{\delta_f + \alpha_r - \alpha_f} 57,29$$

12. Menghitung besarnya *understeer indeks* (Kus)

$$K_{us} = (\alpha_f^\circ - \alpha_r^\circ) \frac{R \cdot g}{V^2}$$

13. Analisa kondisi kendaraan apakah mengalami *understeer* atau *oversteer*

14. Mendapatkan output dari analisa kestabilan arah kendaraan riset grandong:

- Tabel perilaku kendaraan *understeer* atau *oversteer* dari analisa guling, analisa *skid*, dan analisa slip.
- Grafik antara nilai *understeer indeks* dengan sudut belok rata-rata roda depan.

15. Menentukan *layout* kendaraan yang paling baik.

BAB IV

ANALISA DAN PEMBAHASAN

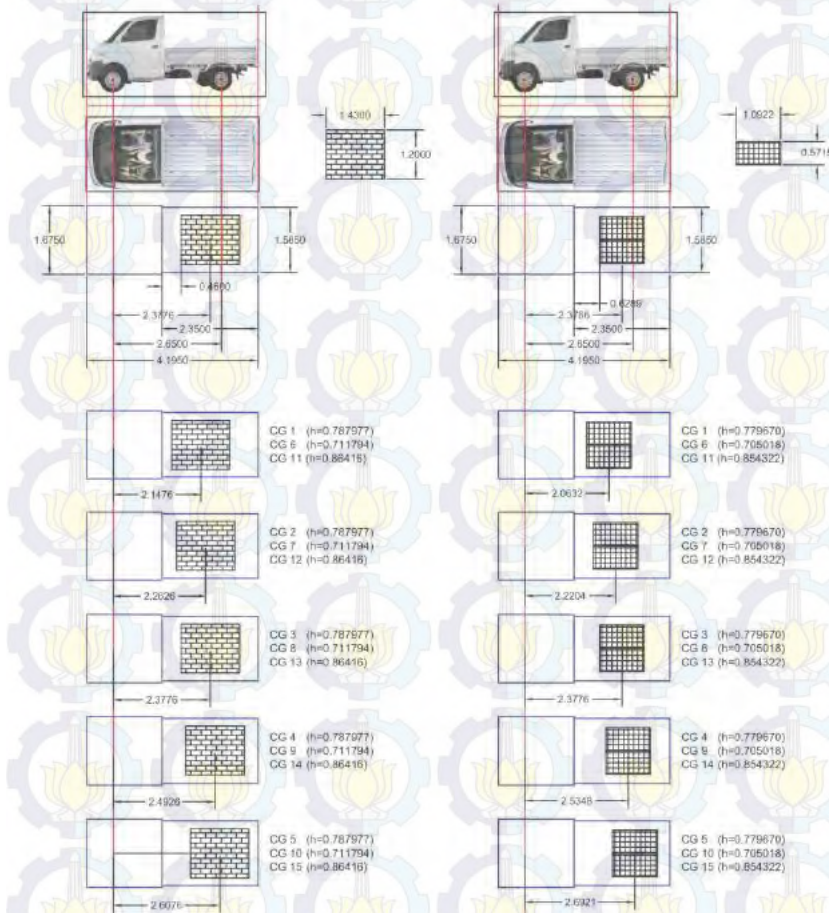
4.1 Data dan Spesifikasi Kendaraan

Dari perencanaan ini akan didapatkan spesifikasi kendaraan yang diharapkan sesuai dengan tujuan. Adapun rancangan spesifikasi Kendaraan Produksi Multiguna Pedesaan dapat dilihat pada tabel 4.1 :

Tabel 4. 1 Spesifikasi Kendaraan Produksi Multiguna Pedesaan

| Dimensi | |
|---|----------|
| Jarak sumbu roda (L) | 2650 mm |
| Jarak CG ke sumbu roda depan (L_f) | 1060 mm |
| Jarak CG ke sumbu roda belakang (L_r) | 1590 mm |
| Jarak CG ke ground (h_1) | 450 mm |
| Jarak CG ke ground (h_2) | 350 mm |
| Jarak CG ke ground (h_3) | 550 mm |
| Lebar track depan (t_f) | 1460 mm |
| Lebar track belakang (t_r) | 1440 mm |
| Jarak CG penumpang ke poros depan (hp) | 560 mm |
| Jarak CG muatan ke poros depan (hm) | 834,7 mm |
| Berat | |
| Berat total | 966 kg |
| Ban (P 165/65 R13) | |
| Jenis | Radial |
| Diameter roda | 544,7 mm |
| Lebar | 165 mm |
| Koefisien adhesi aspal basah (μ_b) | 0,7 |
| Koefisien adhesi aspal kering (μ_k) | 0,9 |

Setelah mendapatkan rancangan spesifikasi kendaraan dilanjutkan menentukan variasi rancangan posisi titik berat kendaraan. Variasi dilakukan dengan melakukan perubahan posisi muatan yang diilustrasikan pada gambar berikut :



Gambar 4. 1 Variasi posisi *Center of Gravity* kendaraan

Adapun rancangan posisi titik berat dengan kendaraan bermuatan Multi Purpose Thresher yang akan dianalisa dalam Tugas Akhir ini seperti pada tabel 4.2 :

Tabel 4. 2 Variasi rancangan posisi titik berat dengan kendaraan bermuatan Multi Purpose Thresher

| Variasi | Lf (m) | Lr (m) | h (m) |
|---------|----------|----------|----------|
| CG 1 | 1.197179 | 1.452821 | 0.787977 |
| CG 2 | 1.213685 | 1.436315 | 0.787977 |
| CG 3 | 1.230192 | 1.419808 | 0.787977 |
| CG 4 | 1.246698 | 1.403302 | 0.787977 |
| CG 5 | 1.263204 | 1.386796 | 0.787977 |
| CG 6 | 1.197179 | 1.452821 | 0.711794 |
| CG 7 | 1.213685 | 1.436315 | 0.711794 |
| CG 8 | 1.230192 | 1.419808 | 0.711794 |
| CG 9 | 1.246698 | 1.403302 | 0.711794 |
| CG 10 | 1.263204 | 1.386796 | 0.711794 |
| CG 11 | 1.197179 | 1.452821 | 0.86416 |
| CG 12 | 1.213685 | 1.436315 | 0.86416 |
| CG 13 | 1.230192 | 1.419808 | 0.86416 |
| CG 14 | 1.246698 | 1.403302 | 0.86416 |
| CG 15 | 1.263204 | 1.386796 | 0.86416 |

Adapun rancangan posisi titik berat dengan kendaraan bermuatan Freezer yang akan dianalisa dalam Tugas Akhir ini seperti pada tabel 4.2 :

Tabel 4. 3 Variasi rancangan posisi titik berat dengan kendaraan bermuatan Freezer

| Variasi | Lf (m) | Lr (m) | h (m) |
|---------|-------------|-------------|-------------|
| CG 1 | 1.202701082 | 1.447298918 | 0.779670402 |

| Variasi | Lf (m) | Lr (m) | h (m) |
|---------|-------------|-------------|-------------|
| CG 2 | 1.227973725 | 1.422026275 | 0.779670402 |
| CG 3 | 1.253246368 | 1.396753632 | 0.779670402 |
| CG 4 | 1.278519011 | 1.371480989 | 0.779670402 |
| CG 5 | 1.303791654 | 1.346208346 | 0.779670402 |
| CG 6 | 1.202701082 | 1.447298918 | 0.705018161 |
| CG 7 | 1.227973725 | 1.422026275 | 0.705018161 |
| CG 8 | 1.253246368 | 1.396753632 | 0.705018161 |
| CG 9 | 1.278519011 | 1.371480989 | 0.705018161 |
| CG 10 | 1.303791654 | 1.346208346 | 0.705018161 |
| CG 11 | 1.202701082 | 1.447298918 | 0.854322643 |
| CG 12 | 1.227973725 | 1.422026275 | 0.854322643 |
| CG 13 | 1.253246368 | 1.396753632 | 0.854322643 |
| CG 14 | 1.278519011 | 1.371480989 | 0.854322643 |
| CG 15 | 1.303791654 | 1.346208346 | 0.854322643 |

Data tentang variasi kecepatan, sudut belok, koefisien gesek dan sudut kemiringan melintang jalan, serta data lain yang mendukung perhitungan perilaku kendaraan ditampilkan sebagai berikut :

- $V_1 = 20 \text{ km/jam}$, $V_2 = 25 \text{ km/jam}$, $V_3 = 30 \text{ km/jam}$, $V_4 = 35 \text{ km/jam}$, $V_5 = 40 \text{ km/jam}$, $V_6 = 45 \text{ km/jam}$, dan $V_7 = 50 \text{ km/jam}$
- $\delta_{f1} = 5^\circ$, $\delta_{f2} = 10^\circ$, $\delta_{f3} = 15^\circ$, $\delta_{f4} = 20^\circ$, $\delta_{f5} = 25^\circ$, dan $\delta_{f6} = 30^\circ$
- $\theta_1 = 0^\circ$, $\theta_2 = 5^\circ$ dan $\theta_3 = 10^\circ$
- $\mu_{mb} = 0,56$ dan $\mu_{mk} = 0,72$

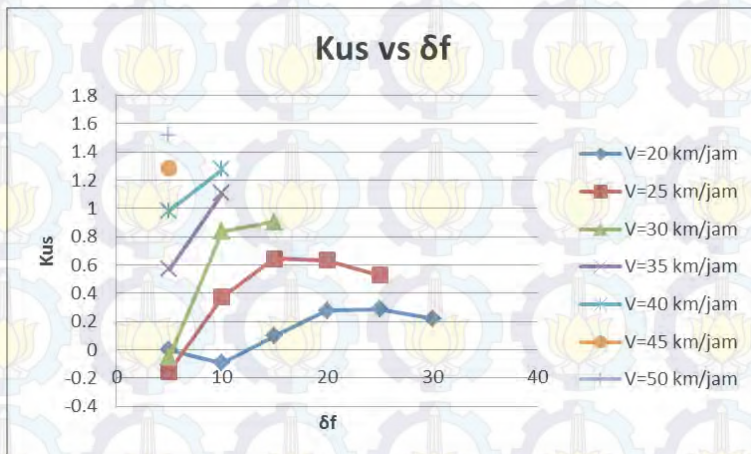
- $M_{kendaraan} = 966 \text{ kg}$, $M_{penumpang} = 120 \text{ kg}$,
 $M_{muatan Multi Purpose Thresher} = 182 \text{ kg}$ dan
 $M_{muatan Freezers} = 208 \text{ kg}$

4.2 Analisa Kestabilan Arah Kendaraan

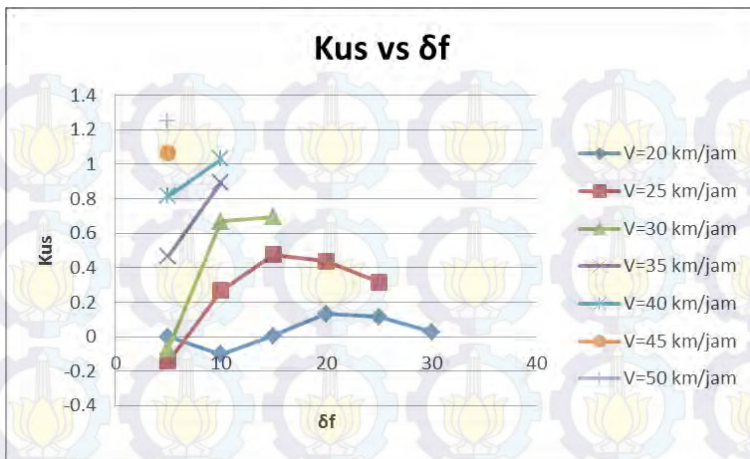
4.2.1 Analisa Kestabilan Arah Kendaraan Kendaraan Bermuatan Multi Purpose Thresher

4.2.1.1 Variasi Posisi CG Kendaraan Kendaraan Bermuatan Multi Purpose Thresher

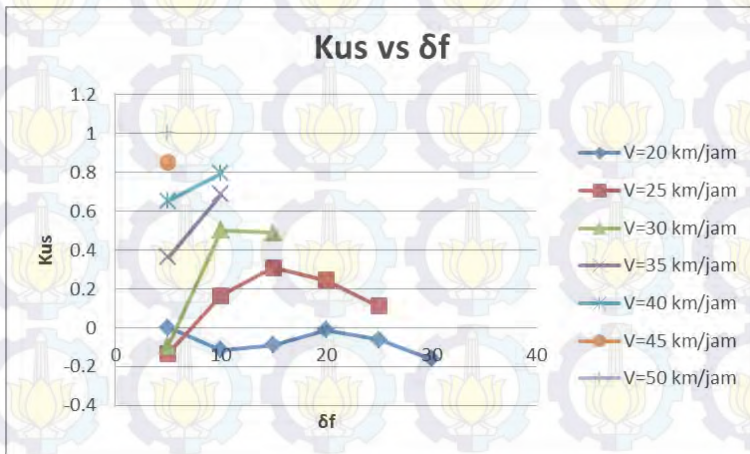
Berdasarkan hasil perhitungan nilai koefisien *understeer*, didapatkan grafik Koefisien *Understeer* (*Kus*) dengan sudut belok (δ_f) Kendaraan Bermuatan *Multi Purpose Thresher* pada berbagai posisi titik berat yang menunjukkan kurva antara nilai koefisien *understeer* terhadap sudut belok kendaraan. Trendline dari nilai koefisien *understeer* ini berbeda beda untuk setiap nilai kecepatan kendaraan. Grafik tersebut dapat dilihat pada gambar berikut:



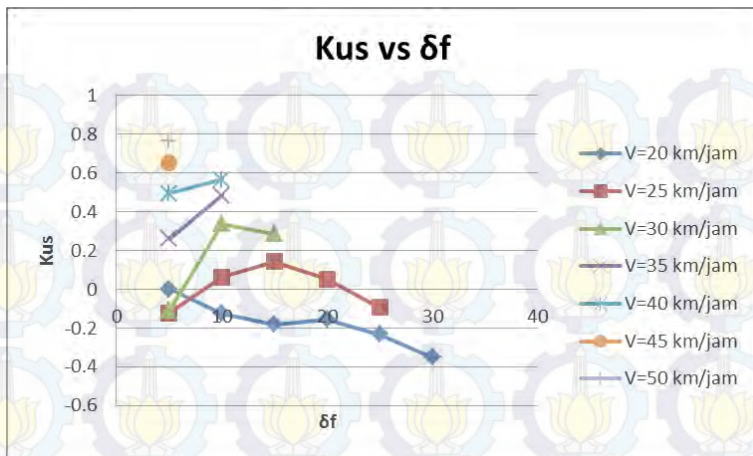
Gambar 4. 2 Grafik Kus vs δ_f posisi CG 1 kendaraan bermuatan Multi Purpose Thresher dengan $\theta=0^\circ$



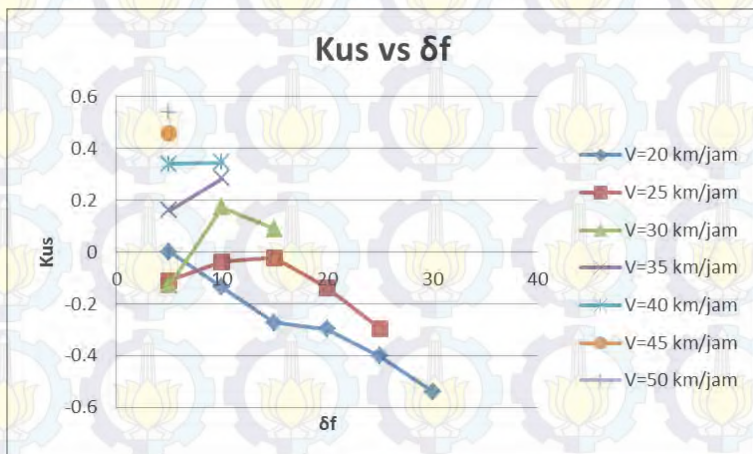
Gambar 4. 3 Grafik Kus vs δf posisi CG 2 kendaraan bermuatan Multi Purpose Thresher dengan $\theta=0^\circ$



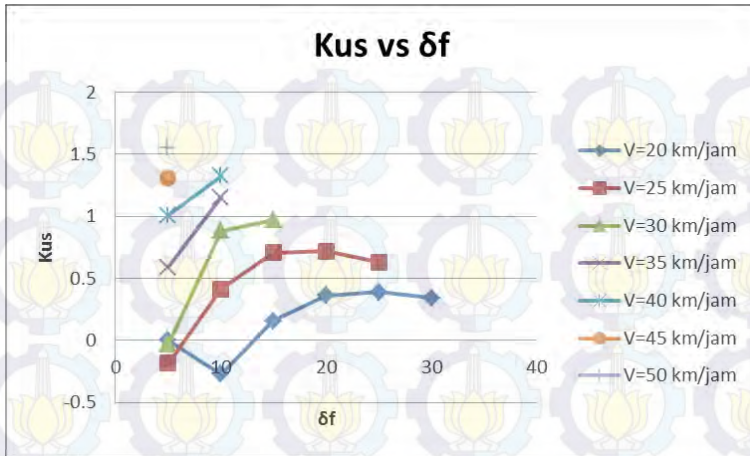
Gambar 4. 4 Grafik Kus vs δf posisi CG 3 kendaraan bermuatan Multi Purpose Thresher dengan $\theta=0^\circ$



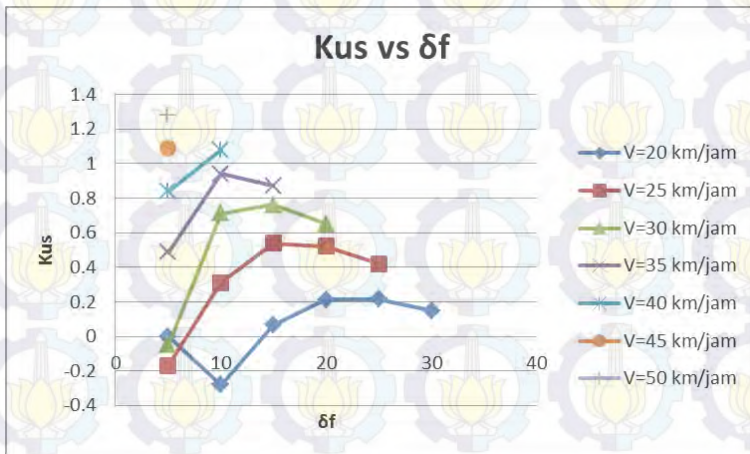
Gambar 4. 5 Grafik Kus vs δ_f posisi CG 4 kendaraan bermuatan Multi Purpose Thresher dengan $\theta=0^\circ$



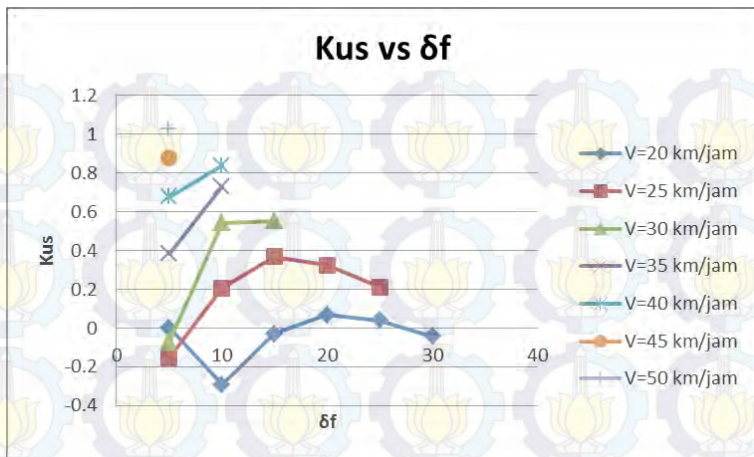
Gambar 4. 6 Grafik Kus vs δ_f posisi CG 5 kendaraan bermuatan Multi Purpose Thresher dengan $\theta=0^\circ$



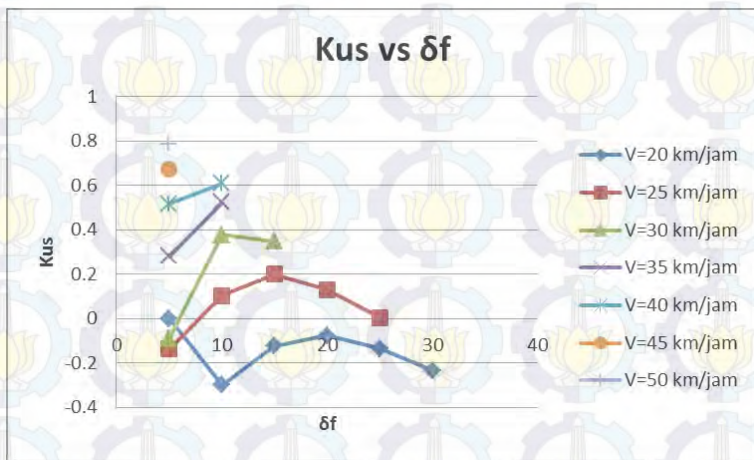
Gambar 4. 7 Grafik Kus vs δf posisi CG 6 kendaraan bermuatan Multi Purpose Thresher dengan $\theta=0^\circ$



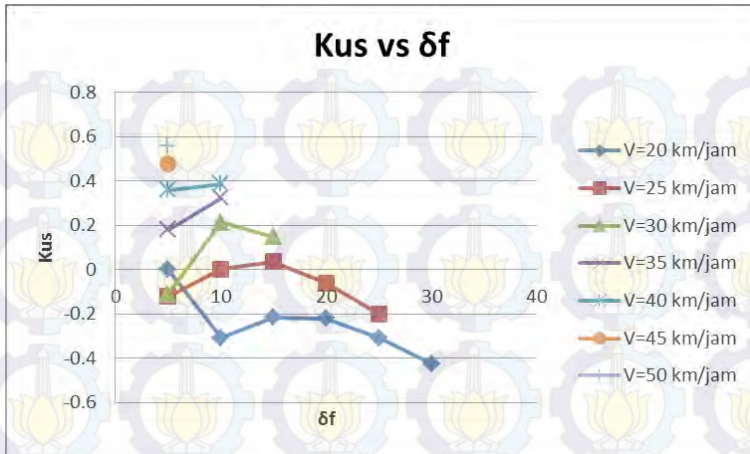
Gambar 4. 8 Grafik Kus vs δf posisi CG 7 kendaraan bermuatan Multi Purpose Thresher dengan $\theta=0^\circ$



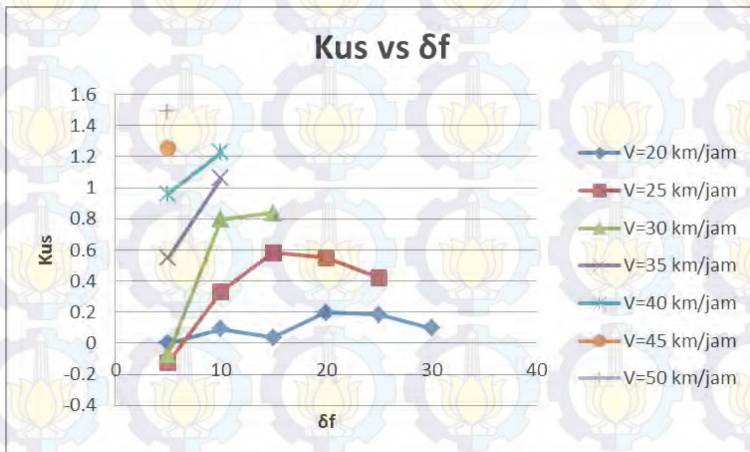
Gambar 4. 9 Grafik Kus vs δ_f posisi CG 8 kendaraan bermuatan Multi Purpose Thresher dengan $\theta=0^\circ$



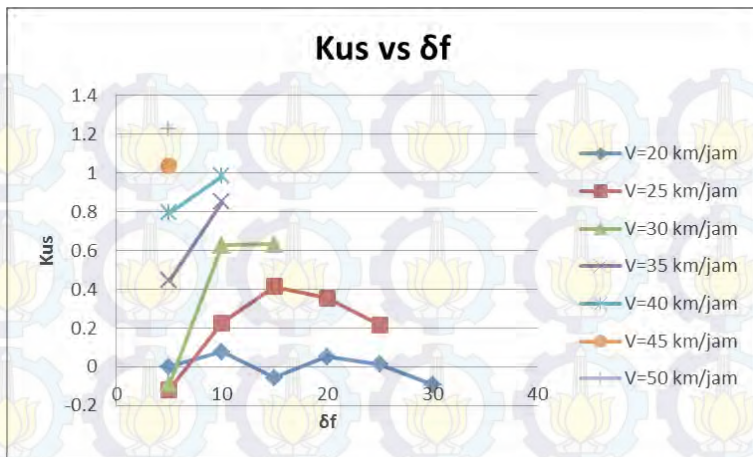
Gambar 4. 10 Grafik Kus vs δ_f posisi CG 9 kendaraan bermuatan Multi Purpose Thresher dengan $\theta=0^\circ$



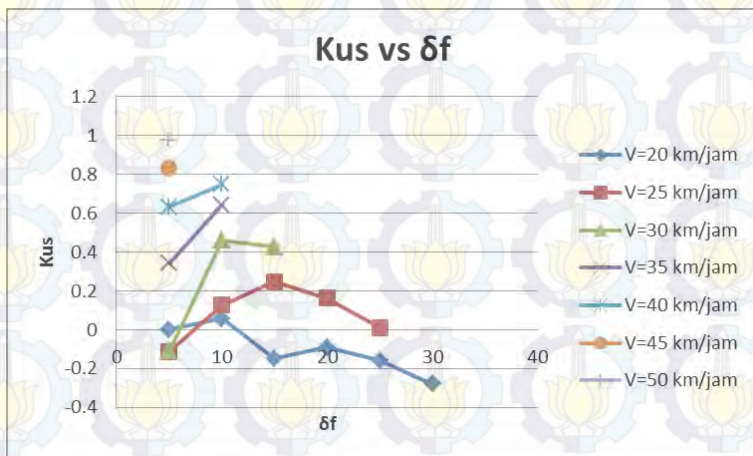
Gambar 4. 11 Grafik Kus vs δ_f posisi CG 10 kendaraan bermuatan Multi Purpose Thresher dengan $\theta=0^\circ$



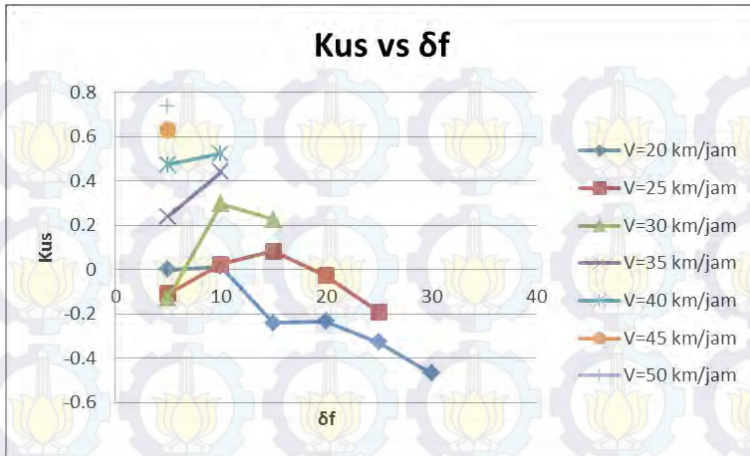
Gambar 4. 12 Grafik Kus vs δ_f posisi CG 11 kendaraan bermuatan Multi Purpose Thresher dengan $\theta=0^\circ$



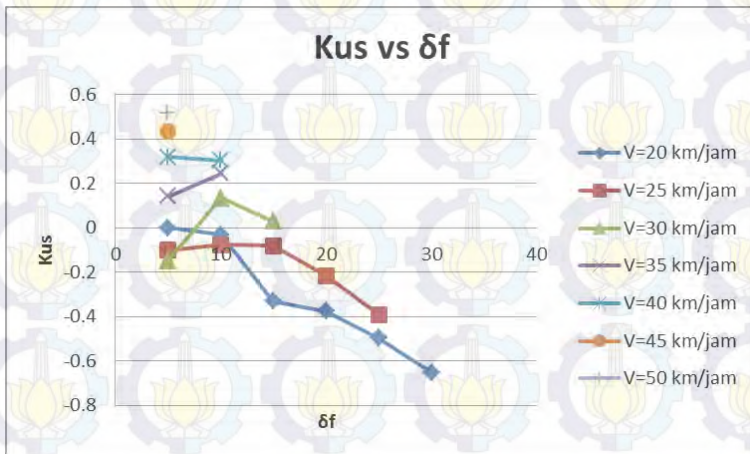
Gambar 4. 13 Grafik Kus vs δ_f posisi CG 12 kendaraan bermuatan Multi Purpose Thresher dengan $\theta=0^\circ$



Gambar 4. 14 Grafik Kus vs δ_f posisi CG 13 kendaraan bermuatan Multi Purpose Thresher dengan $\theta=0^\circ$



Gambar 4. 15 Grafik Kus vs δ_f posisi CG 14 kendaraan bermuatan Multi Purpose Thresher dengan $\theta=0^\circ$



Gambar 4. 16 Grafik Kus vs δ_f posisi CG 15 kendaraan bermuatan Multi Purpose Thresher dengan $\theta=0^\circ$

Grafik diatas merupakan grafik dari Kus vs δ_i pada lima belas variasi posisi CG kendaraan bermuatan Multi Purpose

Thresher dengan $\theta=0^\circ$. Berdasarkan grafik-grafik diatas, kendaraan produksi multiguna pedesaan mengalami kondisi netral, *understeer* dan *oversteer*. Kondisi *oversteer* merupakan kondisi yang paling berbahaya. Kondisi *oversteer* adalah kondisi dimana mobil berbelok melebihi yang diinginkan oleh pengemudi. Hal tersebut dikarenakan roda belakang kehilangan traksi dan bagian belakang kendaraan terbuang keluar. Pada kondisi ini kendaraan menjadi sangat sulit untuk dikendalikan. Kondisi *understeer* adalah kondisi dimana kendaraan sulit berbelok atau kendaraan tidak berbelok setajam yang diinginkan oleh pengemudi, sehingga untuk mengatasinya bisa dengan menambahkan sudut belok yang lebih besar pada kemudi untuk radius tertentu. Oleh karena itu dipilihlah posisi CG 7 karena memiliki kondisi *oversteer* yang paling sedikit dan memiliki nilai *understeer index* positif (*understeer*) yang paling rendah.

4.2.1.1.1 Analisa Slip Posisi CG 7 Kendaraan Bermuatan Multi Purpose Thresher

Dari perhitungan sudut slip pada masing-masing roda ($\alpha_1, \alpha_2, \alpha_3, \alpha_4$), didapatkan sudut slip rata-rata roda depan α_f dan α_r sebagai berikut :

Tabel 4. 4 Tabel sudut slip rata-rata roda depan α_f dan α_r

| θ | δf | $V = 20 \text{ km/jam}$ | | $V = 25 \text{ km/jam}$ | | $V = 30 \text{ km/jam}$ | | $V = 35 \text{ km/jam}$ | |
|----------|------------|-------------------------|------------|-------------------------|------------|-------------------------|------------|-------------------------|------------|
| | | α_f | α_r | α_f | α_r | α_f | α_r | α_f | α_r |
| 0 | ° | ° | ° | ° | ° | ° | ° | ° | ° |
| | 5 | 0.000 | 0.000 | 0.277 | 0.304 | 1.219 | 1.231 | 2.657 | 2.507 |
| | 10 | 0.771 | 0.830 | 2.718 | 2.619 | 4.953 | 4.632 | 7.414 | 6.852 |
| | 15 | 2.454 | 2.434 | 5.166 | 4.910 | 8.210 | 7.697 | 11.559 | 10.772 |
| | 20 | 4.014 | 3.926 | 7.375 | 7.043 | 11.143 | 10.555 | 15.287 | 14.433 |
| | 25 | 5.441 | 5.330 | 9.392 | 9.056 | 13.818 | 13.256 | 18.681 | 17.897 |
| | 30 | 6.752 | 6.659 | 11.241 | 10.963 | 16.265 | 15.819 | 21.782 | 21.189 |
| | 5 | 0.000 | 0.000 | 0.000 | 0.000 | 0.047 | 0.108 | 1.047 | 1.092 |

| | | | | | | | | |
|----------|------------|---------------|---------------|---------------|------------|------------|--------|--------|
| | 20 | V = 40 km/jam | V = 45 km/jam | V = 50 km/jam | | | | |
| | 25 | 5.441 | 5.330 | 5.392 | 5.056 | 13.818 | 13.256 | 18.681 |
| | 30 | 6.752 | 6.659 | 11.241 | 10.963 | 16.265 | 15.819 | 21.782 |
| | | | | | | | | |
| 5 | 5 | 0.000 | 0.000 | 0.000 | 0.000 | 0.047 | 0.198 | 1.047 |
| | 10 | 0.990 | 0.890 | 1.138 | 1.293 | 2.484 | 2.881 | 5.224 |
| | 15 | 0.888 | 1.010 | 0.680 | 4.560 | 6.745 | 6.074 | 10.935 |
| | 20 | 2.545 | 3.556 | 5.345 | 5.049 | 19.629 | 10.333 | 15.783 |
| | 25 | 3.045 | 3.984 | 8.060 | 8.052 | 13.878 | 13.892 | 13.683 |
| | 30 | 5.430 | 5.023 | 19.840 | 10.569 | 16.829 | 14.815 | 20.787 |
| 10 | 5 | 0.000 | 0.000 | 0.000 | 0.000 | 0.049 | 0.000 | 0.000 |
| | 10 | 0.000 | 0.000 | 0.000 | 0.000 | 3.838 | 3.281 | 5.951 |
| | 15 | 0.888 | 0.000 | 3.680 | 3.462 | 5.203 | 6.984 | 18.513 |
| | 20 | 0.980 | 1.094 | 4.446 | 4.918 | 8.676 | 8.813 | 12.189 |
| | 25 | 2.583 | 3.564 | 8.500 | 9.927 | 10.854 | 10.445 | 15.509 |
| | 30 | 4.020 | 3.916 | 8.856 | 8.290 | 14.820 | 14.918 | 18.504 |
| θ | 5 | 0.000 | 0.000 | 0.000 | 0.000 | 0.000 | 0.000 | 0.007 |
| | δf | V = 40 km/jam | V = 45 km/jam | V = 50 km/jam | | | | |
| | αf | αr | αf | αr | αf | αr | | |
| | ° | ° | ° | ° | ° | ° | | |
| | 0 | 5 | 4.218 | 3.893 | 5.897 | 5.384 | 7.687 | 6.976 |
| | 10 | 10.086 | 9.266 | 12.957 | 11.864 | 16.017 | 14.638 | |
| 0 | 15 | 15.193 | 14.119 | 19.096 | 17.723 | 23.254 | 21.572 | |
| | 20 | 19.782 | 18.656 | 24.606 | 23.205 | 29.744 | 28.067 | |
| | 25 | 23.953 | 22.953 | 29.609 | 28.404 | 35.629 | 34.231 | |
| | 30 | 27.759 | 27.043 | 34.166 | 33.357 | 40.983 | 40.112 | |
| | 5 | 2.663 | 2.528 | 4.373 | 4.049 | 6.177 | 5.654 | |
| | 10 | 8.590 | 7.942 | 11.435 | 10.521 | 14.451 | 13.259 | |
| 5 | 15 | 13.661 | 12.748 | 17.491 | 16.292 | 21.553 | 20.061 | |
| | 20 | 18.187 | 17.206 | 22.892 | 21.657 | 27.884 | 26.396 | |
| | 25 | 22.284 | 21.409 | 27.777 | 26.723 | 33.603 | 32.388 | |
| | 30 | 26.013 | 25.395 | 32.214 | 31.537 | 38.789 | 38.089 | |
| | 5 | 1.010 | 1.075 | 2.767 | 2.639 | 4.590 | 4.262 | |

| | | | | | | | |
|--|----|--------|--------|--------|--------|--------|--------|
| | 20 | 18.107 | 17.206 | 12.852 | 21.057 | 17.804 | 20.396 |
| | 25 | 22.084 | 21.409 | 27.077 | 26.723 | 33.603 | 32.888 |
| | 30 | 26.013 | 25.395 | 32.214 | 31.537 | 38.789 | 38.089 |
| | 5 | 4.018 | 3.895 | 2.897 | 2.889 | 4.680 | 4.262 |
| | 10 | 10.086 | 9.260 | 19.897 | 19.869 | 10.086 | 14.698 |
| | 15 | 12.093 | 14.289 | 19.095 | 14.788 | 29.220 | 28.422 |
| | 20 | 16.482 | 18.648 | 24.604 | 29.908 | 29.864 | 28.081 |
| | 25 | 20.993 | 22.953 | 29.699 | 28.888 | 31.620 | 30.260 |
| | 30 | 27.799 | 27.003 | 30.005 | 29.558 | 30.988 | 30.852 |
| | 5 | 2.663 | 2.528 | 4.373 | 4.049 | 6.177 | 5.654 |

Sudut slip pada setiap roda dipengaruhi oleh banyak faktor, yaitu : konstruksi ban, gaya lateral (F_y), gaya normal (F_z), tekanan ban, keausan ban dan gaya longitudinal ban (F_x). Setelah mendapatkan nilai sudut slip pada masing-masing roda, didapatkan radius nyata kendaraan dengan persamaan berikut :

$$R_n = \frac{a+b}{\delta_f + \alpha_r - \alpha_f} 57,29$$

Tabel 4. 5 Tabel Radius Nyata Kendaraan dan Koefisien Understeer

| θ | δf | V = 20 km/jam | | V = 25 km/jam | | V = 30 km/jam | | V = 35 km/jam | |
|----------|------------|---------------|--------|---------------|--------|---------------|--------|---------------|-------|
| | | Rnyata | Kus | Rnyata | Kus | Rnyata | Kus | Rnyata | Kus |
| | ° | m | | m | | m | | m | |
| | 5 | 30.364 | 0.000 | 30.199 | -0.168 | 30.291 | -0.051 | 31.304 | 0.488 |
| | 10 | 15.093 | -0.282 | 15.334 | 0.309 | 15.686 | 0.713 | 16.087 | 0.939 |
| | 15 | 10.135 | 0.064 | 10.297 | 0.538 | 10.480 | 0.760 | 10.681 | 0.872 |
| | 20 | 7.625 | 0.214 | 7.719 | 0.521 | 7.821 | 0.650 | 7.930 | 0.703 |
| | 25 | 6.100 | 0.214 | 6.155 | 0.420 | 6.212 | 0.493 | 6.270 | 0.511 |
| | 30 | 5.076 | 0.150 | 5.108 | 0.288 | 5.137 | 0.324 | 5.163 | 0.318 |

| θ | δf | $V = 20 \text{ km/jam}$ | | $V = 25 \text{ km/jam}$ | | $V = 30 \text{ km/jam}$ | | $V = 35 \text{ km/jam}$ | |
|----------|------------|-------------------------|--------|-------------------------|--------|-------------------------|--------|-------------------------|--------|
| | | Rnyata | Kus | Rnyata | Kus | Rnyata | Kus | Rnyata | Kus |
| 5 | ° | m | | m | | m | | m | |
| | 5 | 30.364 | 0.000 | 30.364 | 0.000 | 29.997 | -0.259 | 30.091 | -0.141 |
| | 10 | 15.182 | 0.000 | 15.069 | -0.229 | 15.417 | 0.332 | 15.804 | 0.645 |
| | 15 | 10.040 | -0.388 | 10.201 | 0.244 | 10.378 | 0.544 | 10.570 | 0.699 |
| | 20 | 7.587 | -0.022 | 7.679 | 0.357 | 7.776 | 0.522 | 7.877 | 0.594 |
| | 25 | 6.088 | 0.118 | 6.140 | 0.341 | 6.192 | 0.422 | 6.244 | 0.443 |
| 10 | 30 | 5.077 | 0.156 | 5.105 | 0.270 | 5.130 | 0.294 | 5.151 | 0.281 |
| | 5 | 30.364 | 0.000 | 30.364 | 0.000 | 30.364 | 0.000 | 30.321 | -0.022 |
| | 10 | 15.182 | 0.000 | 15.068 | -0.232 | 15.147 | -0.050 | 15.521 | 0.352 |
| | 15 | 10.121 | 0.000 | 10.105 | -0.049 | 10.276 | 0.328 | 10.458 | 0.525 |
| | 20 | 7.552 | -0.244 | 7.640 | 0.199 | 7.731 | 0.396 | 7.825 | 0.486 |
| | 25 | 6.078 | 0.042 | 6.126 | 0.270 | 6.173 | 0.355 | 6.219 | 0.379 |
| 30 | 30 | 5.080 | 0.186 | 5.104 | 0.264 | 5.125 | 0.271 | 5.141 | 0.250 |

| θ | δf | $V = 40 \text{ km/jam}$ | | $V = 45 \text{ km/jam}$ | | $V = 50 \text{ km/jam}$ | |
|----------|------------|-------------------------|-------|-------------------------|-------|-------------------------|-------|
| | | Rnyata | Kus | Rnyata | Kus | Rnyata | Kus |
| 0 | ° | m | | m | | m | |
| | 5 | 32.476 | 0.839 | 33.831 | 1.088 | 35.397 | 1.280 |
| | 10 | 16.538 | 1.078 | 17.044 | 1.169 | 17.611 | 1.235 |
| | 15 | 10.901 | 0.930 | 11.141 | 0.960 | 11.400 | 0.975 |
| | 20 | 8.044 | 0.719 | 8.163 | 0.718 | 8.286 | 0.707 |
| | 25 | 6.326 | 0.503 | 6.380 | 0.483 | 6.432 | 0.457 |
| 5 | 30 | 5.184 | 0.295 | 5.201 | 0.264 | 5.212 | 0.231 |
| | 5 | 31.207 | 0.335 | 32.473 | 0.662 | 33.916 | 0.903 |
| | 10 | 16.233 | 0.835 | 16.709 | 0.959 | 17.237 | 1.045 |
| | 15 | 10.777 | 0.782 | 11.000 | 0.828 | 11.239 | 0.853 |
| | 20 | 7.982 | 0.622 | 8.091 | 0.628 | 8.201 | 0.621 |
| | 25 | 6.293 | 0.438 | 6.340 | 0.419 | 6.383 | 0.394 |
| 30 | 30 | 5.167 | 0.254 | 5.177 | 0.220 | 5.182 | 0.185 |

| θ | δ_f | $V = 40 \text{ km/jam}$ | | $V = 45 \text{ km/jam}$ | | $V = 50 \text{ km/jam}$ | |
|----------|------------|-------------------------|--------|-------------------------|-------|-------------------------|-------|
| | | Rnyata | Kus | Rnyata | Kus | Rnyata | Kus |
| ° | ° | m | | m | | m | |
| 10 | 5 | 29.974 | -0.155 | 31.166 | 0.252 | 32.497 | 0.542 |
| | 10 | 15.928 | 0.593 | 16.374 | 0.748 | 16.861 | 0.854 |
| | 15 | 10.652 | 0.633 | 10.858 | 0.694 | 11.076 | 0.728 |
| | 20 | 7.921 | 0.525 | 8.018 | 0.537 | 8.116 | 0.534 |
| | 25 | 6.262 | 0.375 | 6.300 | 0.357 | 6.335 | 0.333 |
| | 30 | 5.152 | 0.217 | 5.156 | 0.180 | 5.154 | 0.143 |

Berdasarkan tabel diatas diketahui bahwa semakin tinggi kecepatan, maka radius nyata yang dibutuhkan kendaraan untuk berbelok juga semakin tinggi. Hal tersebut disebabkan oleh selisih sudut slip roda belakang dengan roda depan yang semakin bernilai negatif.

Kendaraan cenderung mengalami kondisi understeer karena sudut sudut belok roda depan yang lebih besar dari sudut belok roda belakang. Sebaliknya, kendaraan cenderung mengalami kondisi oversteer karena sudut belok roda depan yang lebih kecil dari sudut belok roda belakang. Hal ini sesuai dengan persamaan berikut :

$$K_{us} = (\alpha_f - \alpha_r) \frac{R \cdot g}{V^2}$$

Sehingga semakin kecil selisih sudut belok roda depan dengan sudut belok roda belakang maka akan menyebabkan perilaku oversteer pada kendaraan.

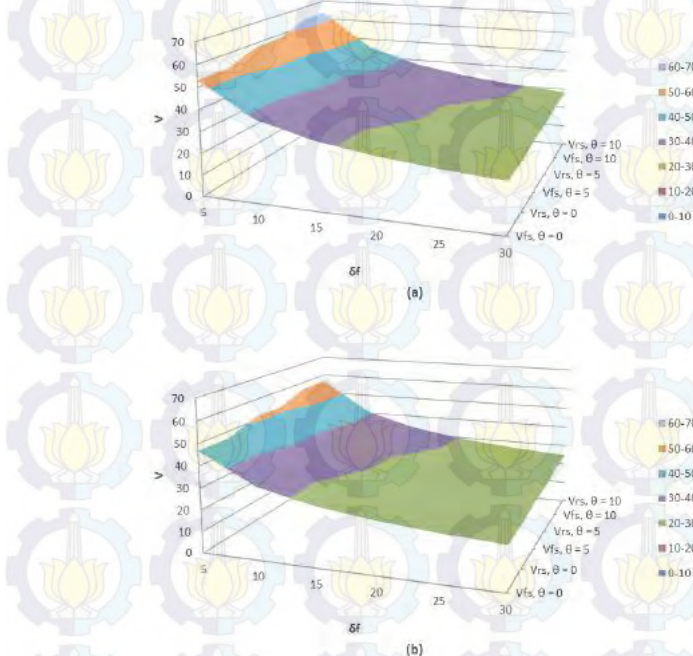
4.2.1.1.2 Analisa Skid Posisi CG 7 Kendaraan Kendaraan Bermuatan Multi Purpose Thresher

Kendaraan akan mengalami skid apabila gaya sentrifugal yang bekerja pada ban lebih besar dibandingkan perkalian antara μ_m dengan gaya normal dari roda. Berdasarkan perhitungan didapatkan batas kecepatan maksimal sebelum kendaraan mengalami skid dengan persamaan sebagai berikut :

$$V_{fs} = \sqrt{\frac{R \cdot g \cdot l_r (\sin \theta + \mu_m \cos \theta)}{l_r (\cos \theta - \mu_m \sin \theta) \cos \beta - \mu \cdot h \sin \beta}}$$

$$V_{rs} = \sqrt{\frac{R \cdot g \cdot l_f (\sin \theta + \mu_m \cos \theta)}{l_f (\cos \theta - \mu_m \sin \theta) \cos \beta + \mu \cdot h \sin \beta}}$$

Dari perhitungan terhadap seluruh variasi, didapatkan kecepatan maksimum agar kendaraan tidak mengalami skid yang digambarkan pada grafik berikut :



Gambar 4. 17 Grafik batas kecepatan Skid (V_s) dengan sudut belok (δf) kendaraan bermuatan Multi Purpose Thresher posisi CG 7 (a) pada aspal kering (b) pada aspal basah

Secara keseluruhan kendaraan akan cenderung mengalami kondisi *understeer* karena $V_{fs} < V_{rs}$. Dari kedua grafik diatas diketahui trendline batas kecepatan skid mengalami penurunan setiap penambahan sudut belok (δ_f) kendaraan. Kemudian pada kondisi kendaraan melaju pada jalan aspal kering kendaraan memiliki batas kecepatan yang lebih tinggi dibandingkan saat melaju pada jalan aspal basah. Hal tersebut sudah sesuai dengan teori dimana semakin besar nilai μ_m yang dipengaruhi oleh jenis jalan, maka batas kecepatan agar kendaraan tidak mengalami skid juga akan besar. Batas kecepatan agar kendaraan tidak mengalami skid juga akan semakin bertambah seiring dengan pertambahan sudut kemiringan melintang jalan.

4.2.1.1.3 Analisa Guling Posisi CG 7 Kendaraan Kendaraan Bermuatan Multi Purpose Thresher

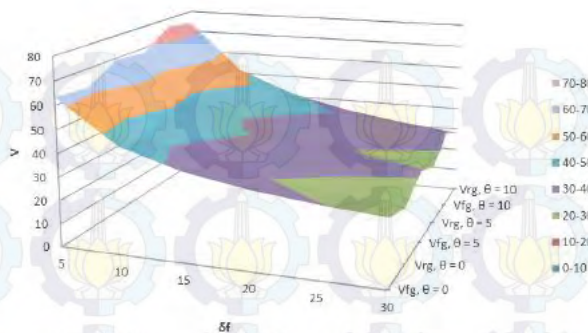
Kendaraan dalam keadaan kritis akan terguling akibat terangkatnya roda karena gaya normal dari roda tidak dapat menahan berat kendaraan atau bernilai negatif. Gaya normal roda depan dapat dicari dengan persamaan berikut :

$$F_{Z_2} = \frac{l_r}{L} (W \cos \theta + F_{cg} \cos \beta \sin \theta) - \frac{l_r}{L} \left(\frac{F_{cg} \cdot h \cos \beta \cdot \cos \theta - W \cdot h \sin \theta}{0.5 \cdot t_f} \right) + \frac{F_{cg} \cdot h \sin \beta}{L}$$

Dan gaya normal roda belakang sebagai berikut :

$$F_{Z_1} = \frac{l_f}{L} (W \cos \theta + F_{cg} \cos \beta \sin \theta) - \frac{l_f}{L} \left(\frac{F_{cg} \cdot h \cos \beta \cdot \cos \theta - W \cdot h \sin \theta}{0.5 \cdot t_f} \right) - \frac{F_{cg} \cdot h \sin \beta}{L}$$

Berdasarkan perhitungan didapatkan kecepatan maksimum agar kendaraan tidak mengalami guling pada grafik berikut :

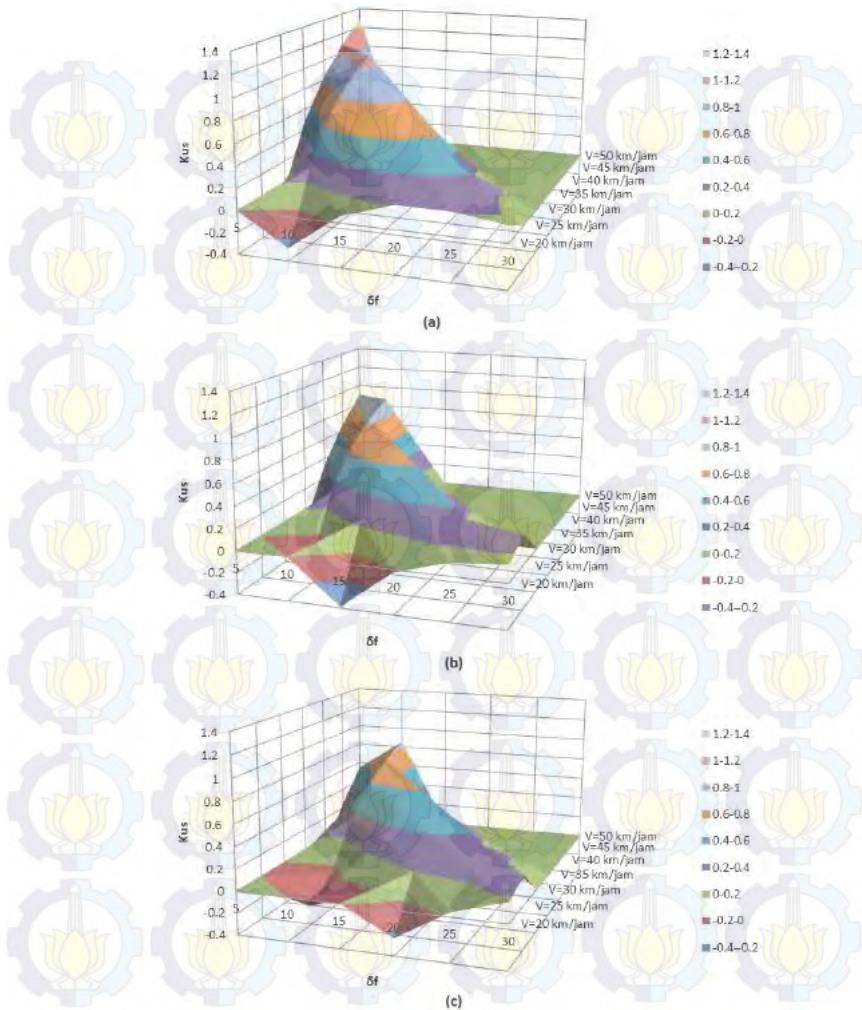


Gambar 4. 18 Grafik batas kecepatan Guling (Vg) dengan sudut belok (δ_f) Kendaraan Bermuatan Multi Purpose Thresher Posisi CG 7

Dari grafik diatas dapat dilihat bahwa V_{fg} nilainya selalu lebih besar daripada V_{rg} . Sehingga satu roda belakang akan terangkat sebelum satu roda depan terangkat dan kendaraan cenderung *oversteer*. Kemudian diketahui juga bahwa batas kecepatan agar kendaraan tidak mengalami guling baik roda depan maupun belakang akan semakin bertambah seiring dengan pertambahan sudut kemiringan melintang jalan.

4.2.1.1.4 Analisa Kus Kendaraan Bermuatan Multi Purpose Thresher

Berdasarkan hasil perhitungan nilai koefisien *understeer*, didapatkan grafik Koefisien *Understeer* (Kus) dengan sudut belok (δ_f) Kendaraan Bermuatan *Multi Purpose Thresher* Posisi CG 7 yang dapat dilihat pada Gambar 4.19, menunjukkan kurva antara nilai koefisien *understeer* terhadap sudut belok kendaraan. Trendline dari nilai koefisien *understeer* ini berbeda beda untuk setiap nilai kecepatan kendaraan.



Gambar 4. 19 Grafik Koefisien Understeer Indeks (K_{US}) dengan sudut belok (δf) Kendaraan Bermuatan Multi Purpose Thresher Posisi CG 7 pada kemiringan jalan melintang (a) $\theta=0^\circ$ (b) $\theta=5^\circ$ (c) $\theta=10^\circ$

Saat kendaraan melintasi jalan dengan sudut kemiringan melintang jalan sebesar 0° atau kondisi jalan datar pada kecepatan 20 km/jam masih belum terjadi skid maupun guling, kendaraan cenderung mengalami understeer dimulai pada sudut 15° yang sebelumnya diawali dengan kondisi netral dan oversteer.

Pada kecepatan 25 km/jam perilaku kendaraan cenderung understeer pada sudut 10° yang sebelumnya diawali dengan kondisi oversteer. Saat berbelok dengan sudut 30° kendaraan dalam keadaan kritis akan terguling akibat terangkatnya roda 1 yang diakibatkan karena gaya normal dari roda tidak dapat menahan berat kendaraan atau bernilai negatif. Kendaraan juga akan mulai mengalami skid pada sudut belok 30° saat kendaraan melintasi jalan aspal kering dan mulai mengalami skid pada sudut belok 20° saat kendaraan melintasi jalan aspal basah.

Pada kecepatan 30 km/jam perilaku kendaraan cenderung understeer pada sudut 10° yang sebelumnya diawali dengan kondisi oversteer. Saat berbelok dengan sudut 25° kendaraan dalam keadaan kritis akan terguling akibat terangkatnya roda 1 yang diakibatkan karena gaya normal dari roda tidak dapat menahan berat kendaraan atau bernilai negatif. Sehingga perhitungan tidak dapat dilanjutkan karena kendaraan mengalami skid dan guling (un-safe). Kendaraan juga akan mulai mengalami skid pada sudut belok 20° saat kendaraan melintasi jalan aspal kering dan mulai mengalami skid pada sudut belok 15° saat kendaraan melintasi jalan aspal basah.

Pada kecepatan 35 km/jam perilaku kendaraan cenderung understeer pada sudut 5° . Saat berbelok dengan sudut 20° kendaraan dalam keadaan kritis akan terguling akibat terangkatnya roda 1 dan roda 2 yang diakibatkan karena gaya normal dari roda tidak dapat menahan berat kendaraan atau bernilai negatif. Sehingga perhitungan tidak dapat dilanjutkan karena kendaraan mengalami skid dan guling (un-safe). Kendaraan juga akan mulai mengalami skid pada sudut belok 15° .

saat kendaraan melintasi jalan aspal kering dan mulai mengalami skid pada sudut belok 10° saat kendaraan melintasi jalan aspal basah.

Pada kecepatan 40 km/jam perilaku kendaraan cenderung understeer pada sudut 5° . Saat berbelok dengan sudut 15° kendaraan dalam keadaan kritis akan terguling akibat terangkatnya roda 1 dan roda 2 yang diakibatkan karena gaya normal dari roda tidak dapat menahan berat kendaraan atau bernilai negatif. Sehingga perhitungan tidak dapat dilanjutkan karena kendaraan mengalami skid dan guling (un-safe). Kendaraan juga akan mulai mengalami skid pada sudut belok 10° saat kendaraan melintasi jalan aspal kering maupun aspal basah.

Pada kecepatan 45 km/jam perilaku kendaraan cenderung understeer pada sudut 5° . Saat berbelok dengan sudut 10° kendaraan dalam keadaan kritis akan terguling akibat terangkatnya roda 1 yang diakibatkan karena gaya normal dari roda tidak dapat menahan berat kendaraan atau bernilai negatif. Sehingga perhitungan tidak dapat dilanjutkan karena kendaraan mengalami skid dan guling (un-safe). Kendaraan juga akan mulai mengalami skid pada sudut belok 10° saat kendaraan melintasi jalan aspal kering maupun aspal basah.

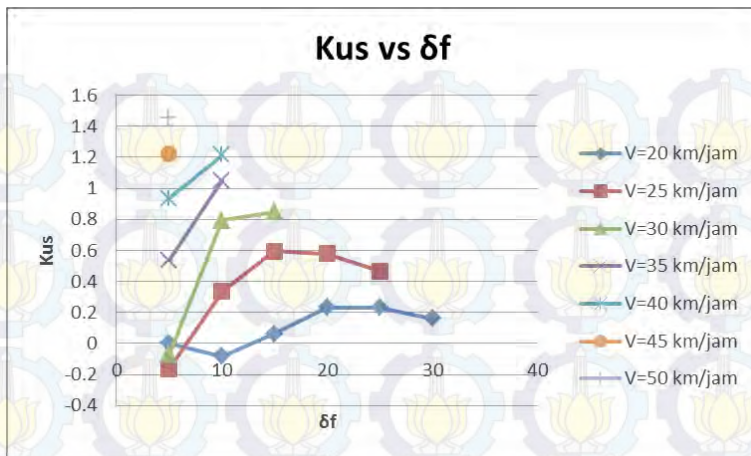
Pada kecepatan 50 km/jam perilaku kendaraan cenderung understeer pada sudut 5° . Saat berbelok dengan sudut 10° kendaraan dalam keadaan kritis akan terguling akibat terangkatnya roda 1 yang diakibatkan karena gaya normal dari roda tidak dapat menahan berat kendaraan atau bernilai negatif. Sehingga perhitungan tidak dapat dilanjutkan karena kendaraan mengalami skid dan guling (un-safe). Kendaraan juga akan mulai mengalami skid pada sudut belok 10° saat kendaraan melintasi jalan aspal kering dan mulai mengalami skid pada sudut belok 5° saat kendaraan melintasi jalan aspal basah.

Kemudian saat kendaraan melintasi jalan dengan sudut kemiringan melintang jalan sebesar 5° dan 10° , kestabilan kendaraan menjadi lebih baik. Hal ini disebabkan karena pada kondisi ini gaya lateral yang disebabkan oleh kendaraan lebih kecil daripada saat melaju pada jalan datar. Gaya lateral yang terjadi menjadi lebih kecil disebabkan oleh gaya berat yang bekerja berlawanan arah dengan gaya lateral. Sehingga terjadinya skid dan guling pada masing-masing variasi kecepatan juga akan berkurang seiring dengan pertambahan sudut kemiringan melintang jalan.

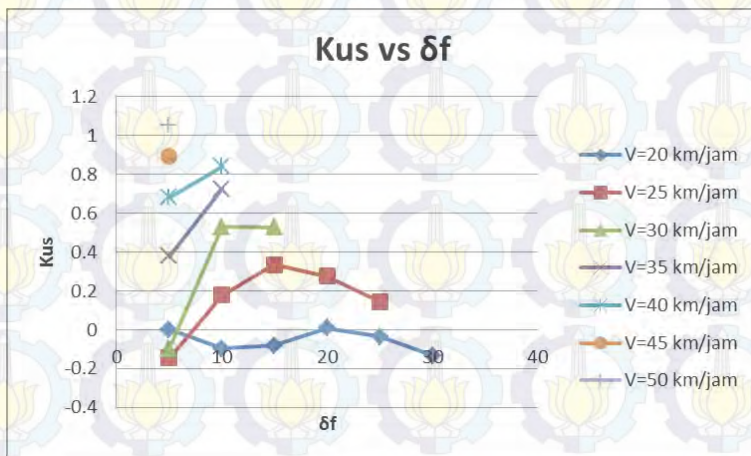
4.2.2 Analisa Kestabilan Arah Kendaraan Kendaraan Bermuatan *Freezer*

4.2.2.1 Variasi Posisi CG Kendaraan Kendaraan Bermuatan *Freezer*

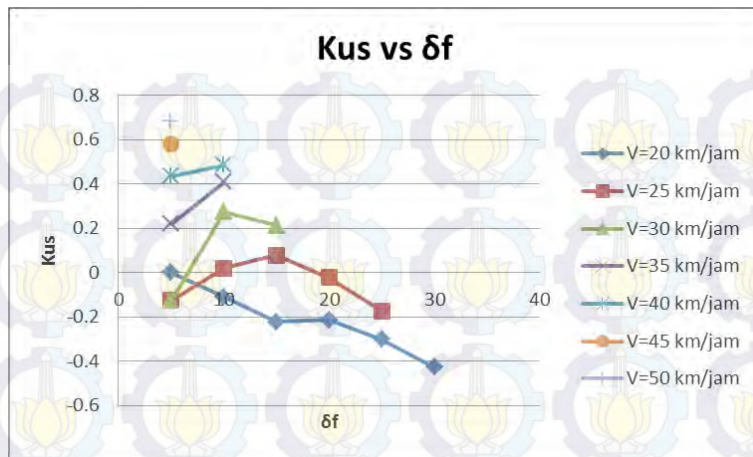
Berdasarkan hasil perhitungan nilai koefisien *understeer*, didapatkan grafik Koefisien Understeer (Kus) dengan sudut belok (δ_f) Kendaraan Bermuatan *Freezer* pada berbagai posisi titik berat yang menunjukkan kurva antara nilai koefisien understeer terhadap sudut belok kendaraan. Trendline dari nilai koefisien understeer ini berbeda beda untuk setiap nilai kecepatan kendaraan. Grafik tersebut dapat dilihat pada gambar berikut:



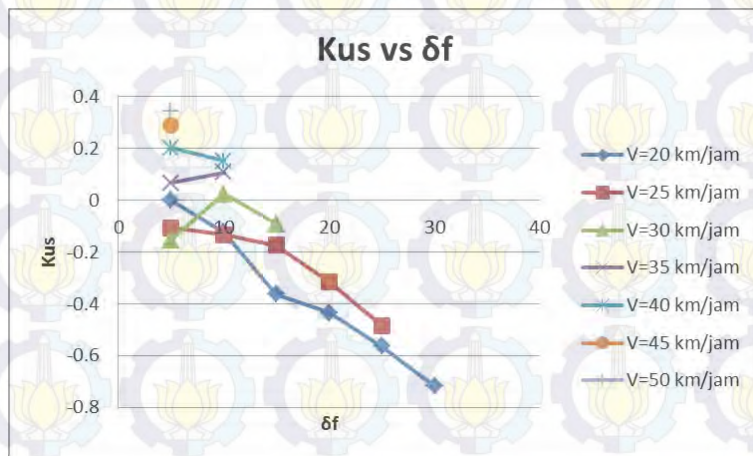
Gambar 4. 20 Grafik Kus vs δ_f posisi CG 1 kendaraan bermuatan Freezer dengan $\theta=0^\circ$



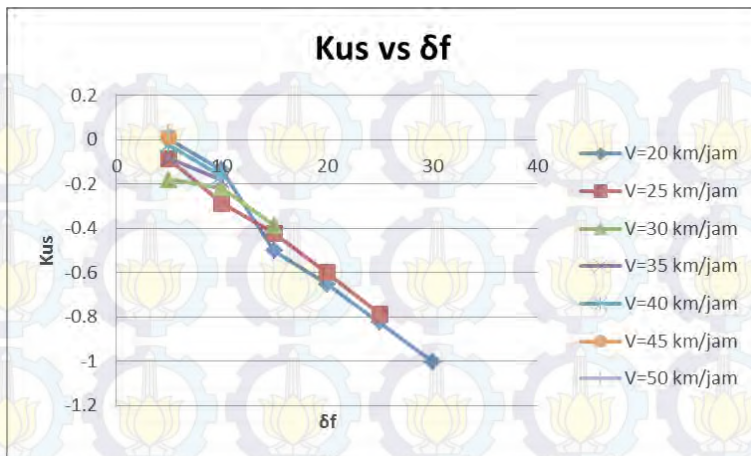
Gambar 4. 21 Grafik Kus vs δ_f posisi CG 2 kendaraan bermuatan Freezer dengan $\theta=0^\circ$



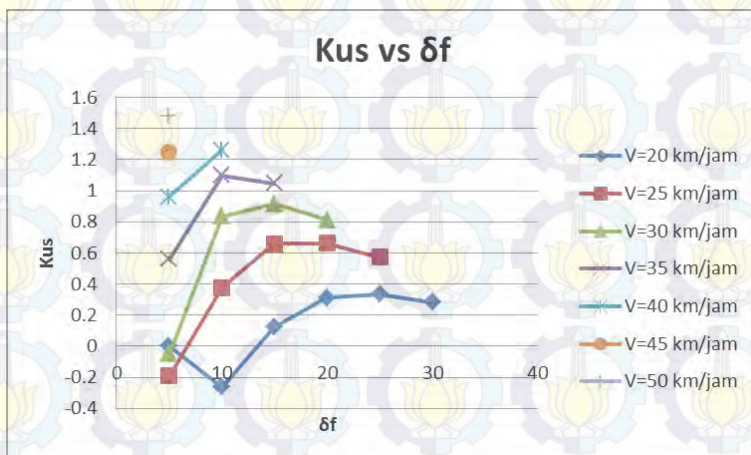
Gambar 4. 22 Grafik Kus vs δ_f posisi CG 3 kendaraan bermuatan Freezer dengan $\theta=0^\circ$



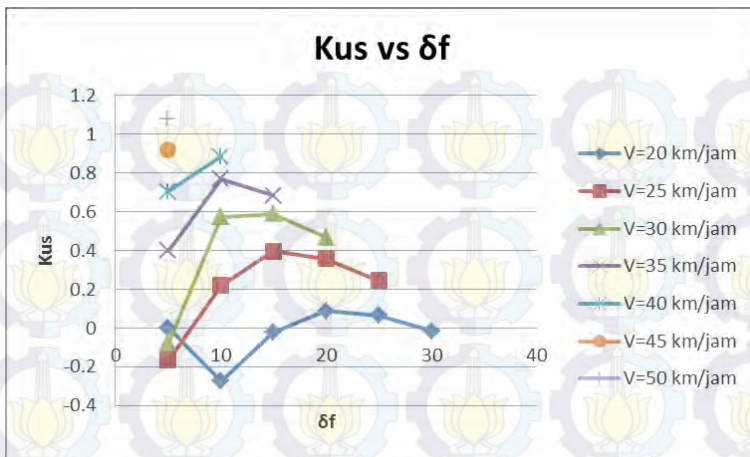
Gambar 4. 23 Grafik Kus vs δ_f posisi CG 4 kendaraan bermuatan Freezer dengan $\theta=0^\circ$



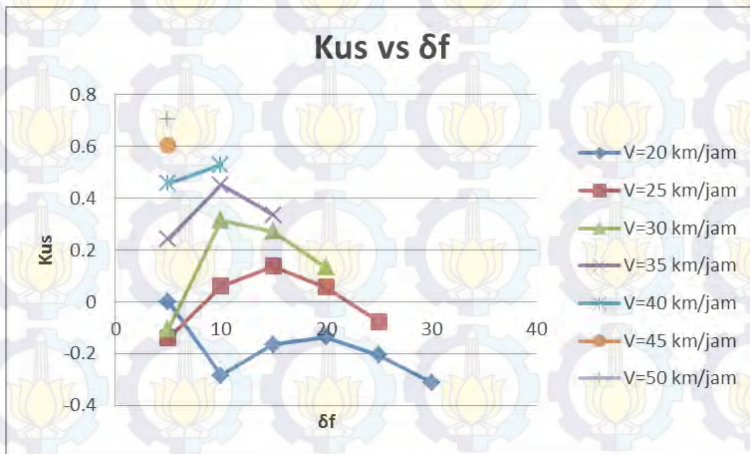
Gambar 4. 24 Grafik Kus vs δ_f posisi CG 5 kendaraan bermuatan Freezer dengan $\theta=0^\circ$



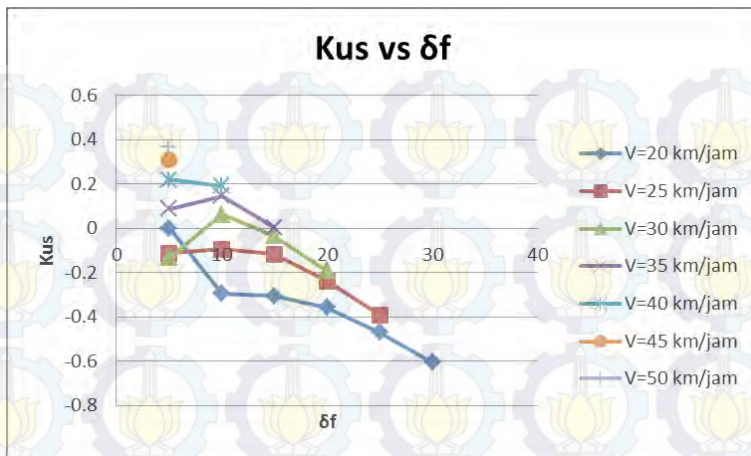
Gambar 4. 25 Grafik Kus vs δ_f posisi CG 6 kendaraan bermuatan Freezer dengan $\theta=0^\circ$



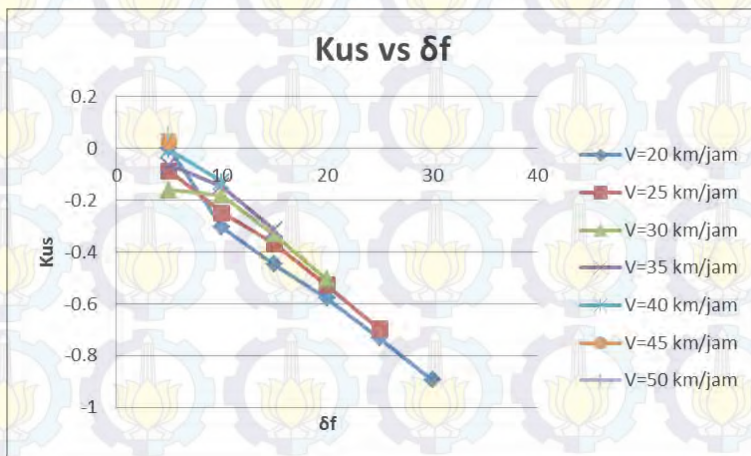
Gambar 4. 26 Grafik Kus vs δ_f posisi CG 7 kendaraan bermuatan Freezer dengan $\theta=0^\circ$



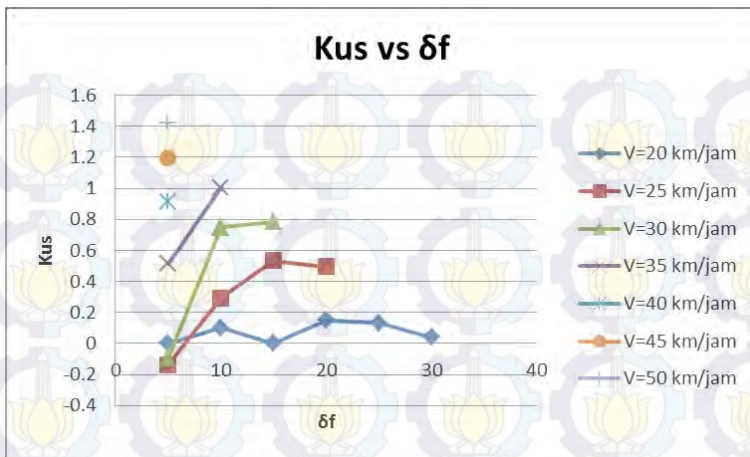
Gambar 4. 27 Grafik Kus vs δ_f posisi CG 8 kendaraan bermuatan Freezer dengan $\theta=0^\circ$



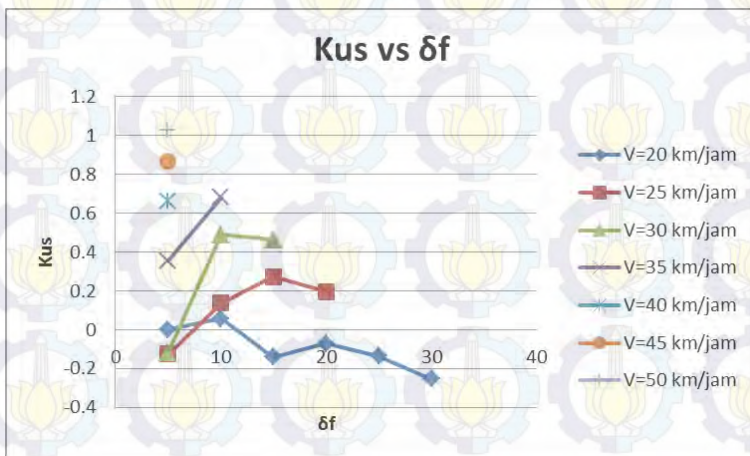
Gambar 4. 28 Grafik Kus vs δ_f posisi CG 9 kendaraan bermuatan Freezer dengan $\theta=0^\circ$



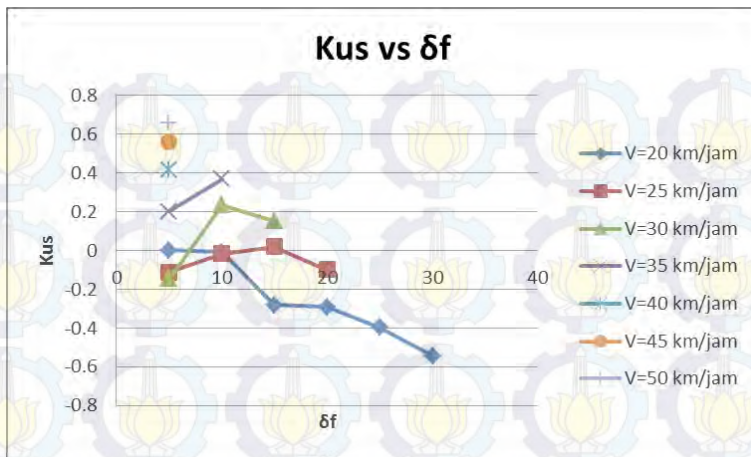
Gambar 4. 29 Grafik Kus vs δ_f posisi CG 10 kendaraan bermuatan Freezer dengan $\theta=0^\circ$



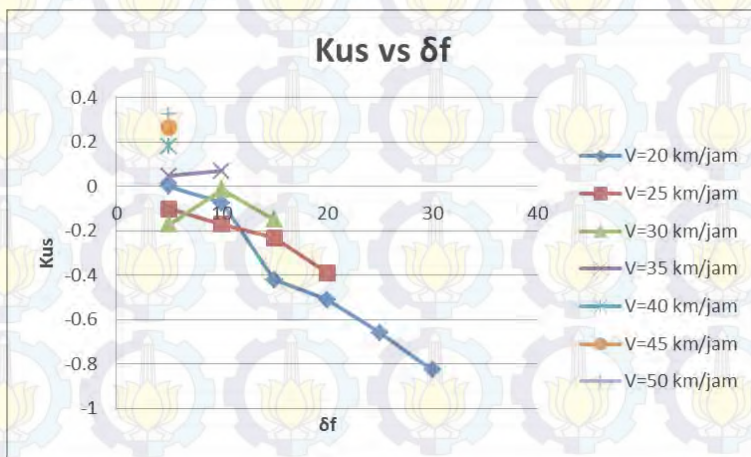
Gambar 4. 30 Grafik Kus vs δ_f posisi CG 11 kendaraan bermuatan Freezer dengan $\theta=0^\circ$



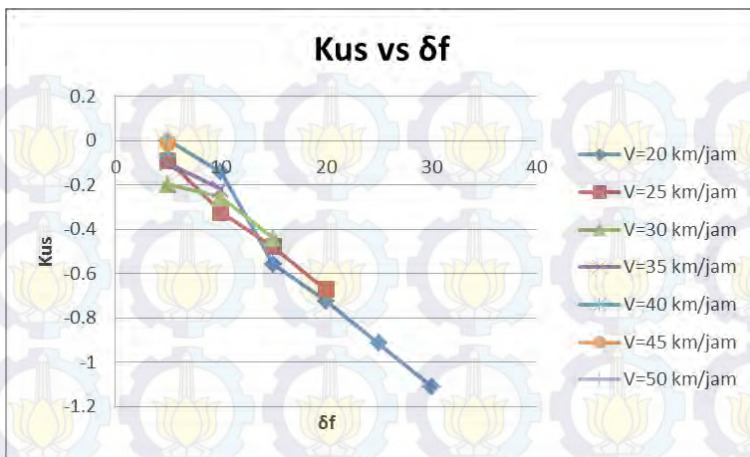
Gambar 4. 31 Grafik Kus vs δ_f posisi CG 12 kendaraan bermuatan Freezer dengan $\theta=0^\circ$



Gambar 4. 32 Grafik Kus vs δ_f posisi CG 13 kendaraan bermuatan Freezer dengan $\theta=0^\circ$



Gambar 4. 33 Grafik Kus vs δ_f posisi CG 14 kendaraan bermuatan Freezer dengan $\theta=0^\circ$



Gambar 4. 34 Grafik Kus vs δ_f posisi CG 15 kendaraan bermuatan Freezer dengan $\theta=0^\circ$

Grafik diatas merupakan grafik dari Kus vs δ_f pada lima belas variasi posisi CG kendaraan bermuatan Freezer dengan $\theta=0^\circ$. Berdasarkan grafik-grafik diatas, kendaraan produksi multiguna pedesaan mengalami kondisi netral, *understeer* dan *oversteer*. Kondisi *oversteer* merupakan kondisi yang paling berbahaya. Kondisi *oversteer* adalah kondisi dimana mobil berbelok melebihi yang diinginkan oleh pengemudi. Hal tersebut dikarenakan roda belakang kehilangan traksi dan bagian belakang kendaraan terbuang keluar. Pada kondisi ini kendaraan menjadi sangat sulit untuk dikendalikan. Kondisi *understeer* adalah kondisi dimana kendaraan sulit berbelok atau kendaraan tidak berbelok setajam yang diinginkan oleh pengemudi, sehingga untuk mengatasinya bisa dengan menambahkan sudut belok yang lebih besar pada kemudi untuk radius tertentu. Oleh karena itu dipilihlah posisi CG 6 karena memiliki kondisi *oversteer* yang paling sedikit dan memiliki nilai *understeer index* positif (*understeer*) yang paling rendah.

4.2.2.1.1 Analisa Slip Posisi CG 7 Kendaraan Kendaraan Bermuatan Freezer

Dari perhitungan sudut slip pada masing-masing roda ($\alpha_1, \alpha_2, \alpha_3, \alpha_4$), didapatkan sudut slip rata-rata roda depan α_f dan α_r sebagai berikut :

Tabel 4. 6 Tabel sudut slip rata-rata roda depan α_f dan α_r

| θ | δf | $V = 20 \text{ km/jam}$ | | $V = 25 \text{ km/jam}$ | | $V = 30 \text{ km/jam}$ | | $V = 35 \text{ km/jam}$ | |
|----------|------------|-------------------------|------------|-------------------------|------------|-------------------------|------------|-------------------------|------------|
| | | α_f | α_r | α_f | α_r | α_f | α_r | α_f | α_r |
| 0 | 0 | 0.000 | 0.000 | 0.270 | 0.301 | 1.223 | 1.234 | 2.692 | 2.521 |
| | 5 | 0.775 | 0.829 | 2.755 | 2.634 | 5.041 | 4.665 | 7.556 | 6.905 |
| | 10 | 2.485 | 2.448 | 5.259 | 4.946 | 8.371 | 7.758 | 11.795 | 10.861 |
| | 15 | 4.082 | 3.952 | 7.519 | 7.098 | 11.373 | 10.641 | 15.610 | 14.555 |
| | 20 | 5.542 | 5.369 | 9.583 | 9.128 | 14.110 | 13.365 | 19.084 | 18.048 |
| | 25 | 6.885 | 6.709 | 11.477 | 11.051 | 16.617 | 15.950 | 22.261 | 21.368 |
| 5 | 0 | 0.000 | 0.000 | 0.000 | 0.000 | 0.035 | 0.103 | 1.046 | 1.094 |
| | 5 | 0.000 | 0.000 | 1.133 | 1.210 | 3.486 | 3.303 | 6.029 | 5.569 |
| | 10 | 0.884 | 1.011 | 3.739 | 3.586 | 6.872 | 6.422 | 10.277 | 9.515 |
| | 15 | 2.579 | 2.568 | 6.055 | 5.758 | 9.891 | 9.295 | 14.070 | 13.164 |
| | 20 | 4.114 | 4.010 | 8.159 | 7.787 | 12.632 | 11.989 | 17.509 | 16.597 |
| | 25 | 5.522 | 5.361 | 10.084 | 9.695 | 15.137 | 14.532 | 20.647 | 19.845 |
| 10 | 0 | 0.000 | 0.000 | 0.000 | 0.000 | 0.000 | 0.000 | 0.000 | 0.001 |
| | 5 | 0.000 | 0.000 | 0.000 | 0.070 | 1.844 | 1.859 | 4.423 | 4.162 |
| | 10 | 0.000 | 0.000 | 2.136 | 2.147 | 5.299 | 5.017 | 8.678 | 8.092 |
| | 15 | 0.988 | 1.092 | 4.522 | 4.348 | 8.335 | 7.873 | 12.438 | 11.685 |
| | 20 | 2.619 | 2.574 | 6.669 | 6.374 | 11.074 | 10.528 | 15.833 | 15.041 |
| | 25 | 4.102 | 3.940 | 8.627 | 8.264 | 13.573 | 13.021 | 18.923 | 18.204 |

| θ | δf | $V = 40 \text{ km/jam}$ | | $V = 45 \text{ km/jam}$ | | $V = 50 \text{ km/jam}$ | |
|----------|------------|-------------------------|------------|-------------------------|------------|-------------------------|------------|
| | | αf | αr | αf | αr | αf | αr |
| ° | ° | ° | ° | ° | ° | ° | ° |
| 0 | 5 | 4.289 | 3.920 | 6.005 | 5.425 | 7.835 | 7.030 |
| | 10 | 10.288 | 9.341 | 13.224 | 11.963 | 16.353 | 14.762 |
| | 15 | 15.511 | 14.238 | 19.502 | 17.875 | 23.755 | 21.758 |
| | 20 | 20.206 | 18.816 | 25.140 | 23.406 | 30.395 | 28.312 |
| | 25 | 24.477 | 23.150 | 30.262 | 28.650 | 36.419 | 34.531 |
| | 30 | 28.375 | 27.275 | 34.931 | 33.646 | 41.904 | 40.462 |
| 5 | 5 | 2.698 | 2.543 | 4.446 | 4.077 | 6.290 | 5.696 |
| | 10 | 8.757 | 8.005 | 11.666 | 10.608 | 14.749 | 13.370 |
| | 15 | 13.943 | 12.854 | 17.858 | 16.429 | 22.011 | 20.233 |
| | 20 | 18.573 | 17.351 | 23.384 | 21.842 | 28.488 | 26.625 |
| | 25 | 22.766 | 21.591 | 28.383 | 26.953 | 34.342 | 32.669 |
| | 30 | 26.585 | 25.611 | 32.928 | 31.807 | 39.654 | 38.418 |
| 10 | 5 | 1.008 | 1.077 | 2.804 | 2.654 | 4.666 | 4.291 |
| | 10 | 7.147 | 6.597 | 10.020 | 9.172 | 13.045 | 11.887 |
| | 15 | 12.280 | 11.381 | 16.101 | 14.880 | 20.134 | 18.583 |
| | 20 | 16.827 | 15.779 | 21.491 | 20.147 | 26.418 | 24.782 |
| | 25 | 20.929 | 19.903 | 26.349 | 25.100 | 32.077 | 30.621 |
| | 30 | 24.657 | 23.799 | 30.756 | 29.788 | 37.199 | 36.158 |

Sudut slip pada setiap roda dipengaruhi oleh banyak faktor, yaitu : konstruksi ban, gaya lateral (F_y), gaya normal (F_z), tekanan ban, keausan ban dan gaya longitudinal ban (F_x). Setelah mendapatkan nilai sudut slip pada masing-masing roda, didapatkan radius nyata kendaraan dengan persamaan berikut :

$$R_n = \frac{a+b}{\delta_f + \alpha_r - \alpha_f} 57,29$$

Tabel 4. 7 Tabel Radius Nyata Kendaraan dan Koefisien Understeer

| θ | δf | V = 20 km/jam | | V = 25 km/jam | | V = 30 km/jam | | V = 35 km/jam | |
|----------|------------|---------------|--------|---------------|--------|---------------|--------|---------------|--------|
| | | Rnyata | Kus | Rnyata | Kus | Rnyata | Kus | Rnyata | Kus |
| ° | ° | m | | m | | m | | m | |
| 0 | 5 | 30.364 | 0.000 | 30.176 | -0.191 | 30.293 | -0.050 | 31.439 | 0.558 |
| | 10 | 15.100 | -0.261 | 15.367 | 0.378 | 15.774 | 0.836 | 16.240 | 1.098 |
| | 15 | 10.147 | 0.122 | 10.337 | 0.659 | 10.553 | 0.915 | 10.793 | 1.046 |
| | 20 | 7.640 | 0.314 | 7.754 | 0.664 | 7.879 | 0.814 | 8.014 | 0.878 |
| | 25 | 6.115 | 0.336 | 6.185 | 0.573 | 6.259 | 0.658 | 6.335 | 0.681 |
| | 30 | 5.091 | 0.285 | 5.134 | 0.445 | 5.176 | 0.488 | 5.216 | 0.484 |
| 5 | 5 | 30.364 | 0.000 | 30.364 | 0.000 | 29.953 | -0.290 | 30.075 | -0.150 |
| | 10 | 15.182 | 0.000 | 15.067 | -0.234 | 15.466 | 0.401 | 15.914 | 0.760 |
| | 15 | 10.037 | -0.403 | 10.225 | 0.318 | 10.434 | 0.663 | 10.663 | 0.844 |
| | 20 | 7.595 | 0.026 | 7.705 | 0.466 | 7.824 | 0.659 | 7.951 | 0.747 |
| | 25 | 6.098 | 0.202 | 6.165 | 0.467 | 6.233 | 0.566 | 6.303 | 0.597 |
| | 30 | 5.088 | 0.261 | 5.127 | 0.406 | 5.165 | 0.441 | 5.199 | 0.432 |
| 10 | 5 | 30.364 | 0.000 | 30.364 | 0.000 | 30.364 | 0.000 | 30.355 | -0.004 |
| | 10 | 15.182 | 0.000 | 15.076 | -0.216 | 15.158 | -0.033 | 15.590 | 0.423 |
| | 15 | 10.121 | 0.000 | 10.114 | -0.023 | 10.315 | 0.411 | 10.533 | 0.640 |
| | 20 | 7.552 | -0.249 | 7.658 | 0.272 | 7.770 | 0.506 | 7.888 | 0.617 |
| | 25 | 6.084 | 0.086 | 6.145 | 0.369 | 6.208 | 0.479 | 6.271 | 0.515 |
| | 30 | 5.088 | 0.261 | 5.123 | 0.378 | 5.155 | 0.402 | 5.185 | 0.387 |

| θ | δf | $V = 40 \text{ km/jam}$ | | $V = 45 \text{ km/jam}$ | | $V = 50 \text{ km/jam}$ | |
|----------|------------|-------------------------|--------|-------------------------|-------|-------------------------|-------|
| | | Rnyata | Kus | Rnyata | Kus | Rnyata | Kus |
| 0 | 0 | m | | m | | m | |
| | 5 | 32.780 | 0.960 | 34.348 | 1.251 | 36.185 | 1.480 |
| | 10 | 16.770 | 1.262 | 17.372 | 1.375 | 18.054 | 1.461 |
| | 15 | 11.060 | 1.119 | 11.353 | 1.160 | 11.675 | 1.185 |
| | 20 | 8.158 | 0.902 | 8.312 | 0.905 | 8.473 | 0.898 |
| | 25 | 6.413 | 0.676 | 6.491 | 0.657 | 6.569 | 0.631 |
| 5 | 30 | 5.253 | 0.459 | 5.287 | 0.426 | 5.316 | 0.390 |
| | 5 | 31.339 | 0.387 | 32.788 | 0.761 | 34.459 | 1.041 |
| | 10 | 16.416 | 0.981 | 16.979 | 1.129 | 17.611 | 1.235 |
| | 15 | 10.914 | 0.945 | 11.187 | 1.003 | 11.483 | 1.039 |
| | 20 | 8.085 | 0.785 | 8.225 | 0.796 | 8.371 | 0.793 |
| | 25 | 6.372 | 0.595 | 6.441 | 0.578 | 6.508 | 0.554 |
| 10 | 30 | 5.231 | 0.405 | 5.257 | 0.370 | 5.278 | 0.332 |
| | 5 | 29.950 | -0.164 | 31.301 | 0.294 | 32.826 | 0.626 |
| | 10 | 16.064 | 0.701 | 16.589 | 0.883 | 17.169 | 1.011 |
| | 15 | 10.767 | 0.769 | 11.018 | 0.845 | 11.288 | 0.890 |
| | 20 | 8.011 | 0.667 | 8.137 | 0.686 | 8.267 | 0.688 |
| | 25 | 6.333 | 0.517 | 6.392 | 0.501 | 6.448 | 0.477 |
| | 30 | 5.210 | 0.356 | 5.229 | 0.318 | 5.243 | 0.278 |

Berdasarkan tabel diatas diketahui bahwa semakin tinggi kecepatan, maka radius nyata yang dibutuhkan kendaraan untuk berbelok juga semakin tinggi. Hal tersebut disebabkan oleh selisih sudut slip roda belakang dengan roda depan yang semakin bernilai negatif.

Kendaraan cenderung mengalami kondisi understeer karena sudut belok roda depan yang lebih besar dari sudut belok roda belakang. Sebaliknya, kendaraan cenderung mengalami kondisi oversteer karena sudut belok roda depan yang lebih kecil dari sudut belok roda belakang. Hal ini sesuai dengan persamaan berikut :

$$K_{us} = (\alpha_f^\circ - \alpha_r^\circ) \frac{R \cdot g}{V^2}$$

Sehingga semakin kecil selisih sudut belok roda depan dengan sudut belok roda belakang maka akan menyebabkan perilaku oversteer pada kendaraan.

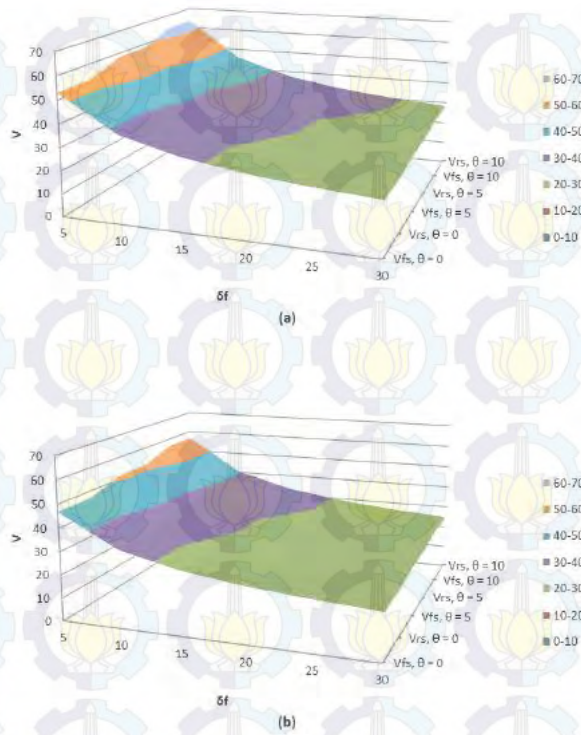
4.2.2.1.2 Analisa Skid Posisi CG 7 Kendaraan Kendaraan Bermuatan Freezer

Kendaraan akan mengalami skid apabila gaya sentrifugal yang bekerja pada ban lebih besar dibandingkan perkalian antara μ_m dengan gaya normal dari roda. Berdasarkan perhitungan didapatkan batas kecepatan maksimal sebelum kendaraan mengalami skid dengan persamaan sebagai berikut :

$$V_{fs} = \sqrt{\frac{R \cdot g \cdot l_r (\sin \theta + \mu_m \cos \theta)}{l_r (\cos \theta - \mu_m \sin \theta) \cos \beta - \mu \cdot h \sin \beta}}$$

$$V_{rs} = \sqrt{\frac{R \cdot g \cdot l_f (\sin \theta + \mu_m \cos \theta)}{l_f (\cos \theta - \mu_m \sin \theta) \cos \beta + \mu \cdot h \sin \beta}}$$

Dari perhitungan terhadap seluruh variasi, didapatkan kecepatan maksimum agar kendaraan tidak mengalami skid pada grafik berikut :



Gambar 4. 35 Grafik batas kecepatan Skid (V_s) dengan sudut belok (δ_f) kendaraan bermuatan Freezer posisi CG 6 (a) pada aspal kering (b) pada aspal basah

Secara keseluruhan kendaraan akan cenderung mengalami kondisi *understeer* karena $V_{fs} < V_{rs}$. Dari dua grafik diatas diketahui trendline batas kecepatan skid mengalami penurunan setiap penambahan sudut belok (δ_f) kendaraan. Kemudian pada kondisi kendaraan melaju pada jalan aspal kering kendaraan memiliki batas kecepatan yang lebih tinggi dibandingkan saat melaju pada jalan aspal basah. Hal tersebut

sudah sesuai dengan teori dimana semakin besar nilai μ_m yang dipengaruhi oleh jenis jalan, maka batas kecepatan agar kendaraan tidak mengalami skid juga akan besar. Batas kecepatan agar kendaraan tidak mengalami skid juga akan semakin bertambah seiring dengan pertambahan sudut kemiringan melintang jalan.

4.2.2.1.3 Analisa Guling Posisi CG 7 Kendaraan Kendaraan Bermuatan Freezer

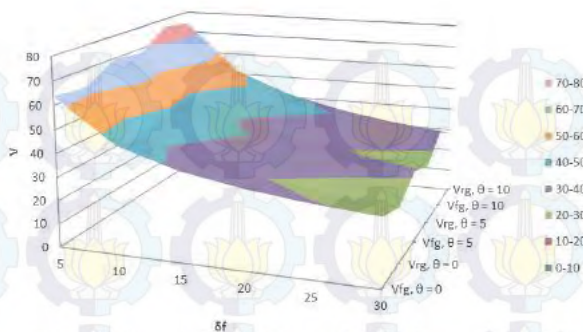
Kendaraan dalam keadaan kritis akan terguling akibat terangkatnya roda karena gaya normal dari roda tidak dapat menahan berat kendaraan atau bernilai negatif. Gaya normal roda depan dapat dicari dengan persamaan berikut :

$$F_{Z_2} = \frac{l_r}{L} (W \cos \theta + F_{cg} \cos \beta \sin \theta) - \frac{l_r}{L} \left(\frac{F_{cg} \cdot h \cdot \cos \beta \cdot \cos \theta - W \cdot h \cdot \sin \theta}{0.5 \cdot t_f} \right) + \frac{F_{cg} \cdot h \sin \beta}{L}$$

Dan gaya normal roda belakang sebagai berikut :

$$F_{Z_1} = \frac{l_f}{L} (W \cos \theta + F_{cg} \cos \beta \sin \theta) - \frac{l_f}{L} \left(\frac{F_{cg} \cdot h \cdot \cos \beta \cdot \cos \theta - W \cdot h \cdot \sin \theta}{0.5 \cdot t_f} \right) - \frac{F_{cg} \cdot h \sin \beta}{L}$$

Berdasarkan perhitungan didapatkan kecepatan maksimum agar kendaraan tidak mengalami guling pada grafik berikut :

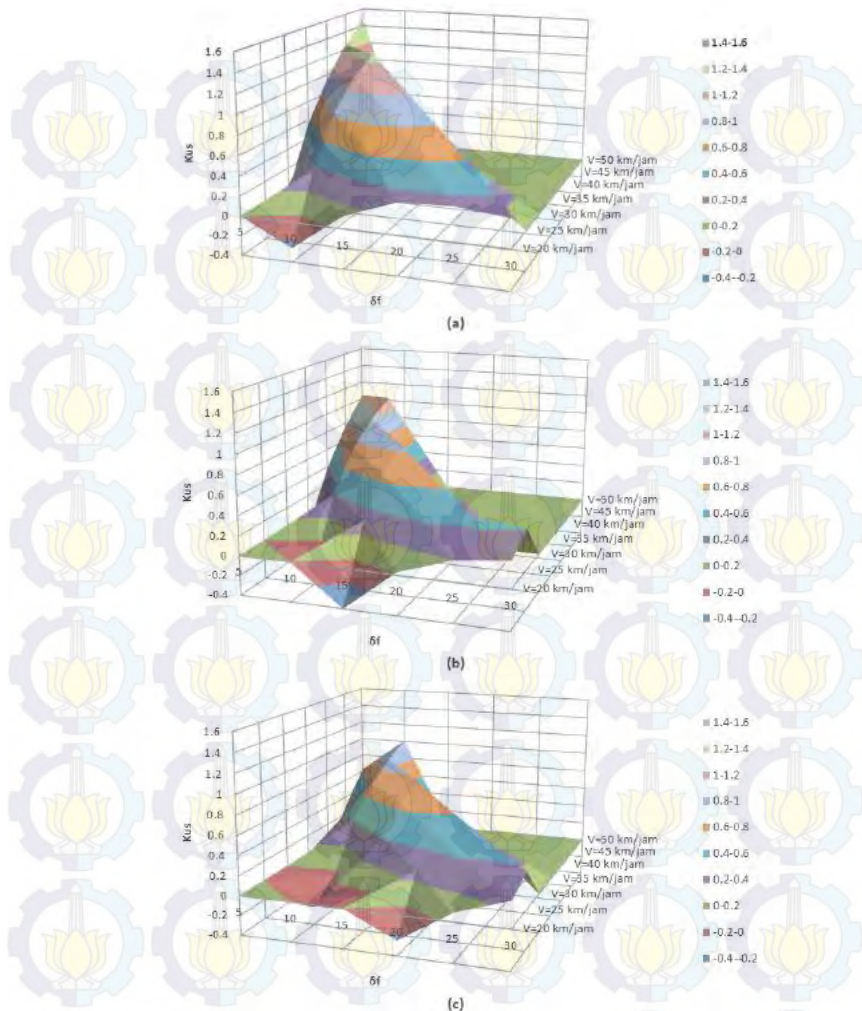


Gambar 4. 36 Grafik batas kecepatan Guling (Vg) dengan sudut belok (δ_f) pada kemiringan jalan melintang ($\theta=0^\circ$) Kendaraan Bermuatan Freezer Posisi CG 6

Dari grafik diatas dapat dilihat bahwa V_{fg} nilainya selalu lebih besar daripada V_{rg} . Sehingga satu roda belakang akan terangkat sebelum satu roda depan terangkat dan kendaraan cenderung *oversteer*. Kemudian diketahui juga bahwa batas kecepatan agar kendaraan tidak mengalami guling baik roda depan maupun belakang akan semakin bertambah seiring dengan pertambahan sudut kemiringan melintang jalan.

4.2.2.1.4 Analisa Kus Kendaraan Bermuatan Freezer

Berdasarkan hasil perhitungan nilai koefisien *understeer*, didapatkan grafik Koefisien Understeer (Kus) dengan sudut belok (δ_f) Kendaraan Bermuatan Freezer Posisi CG 7 yang dapat dilihat pada Gambar 4.37, menunjukkan kurva antara nilai koefisien *understeer* terhadap sudut belok kendaraan. Trendline dari nilai koefisien *understeer* ini berbeda beda untuk setiap nilai kecepatan kendaraan.



**Gambar 4. 37 Grafik Koefisien Understeer Indeks (Kus) dengan sudut belok (δf) Kendaraan Bermuatan Freezer Posisi CG 6 pada kemiringan jalan melintang (a) $\theta=0^\circ$ (b) $\theta=5^\circ$ (c)
 $\theta=10^\circ$**

Berdasarkan Grafik Koefisien Understeer Indeks (Kus) dengan sudut belok (δ_f) Kendaraan Bermuatan Multi Purpose Thresher Posisi CG 6 yang dapat dilihat pada Gambar 4.8, menunjukkan kurva antara nilai koefisien understeer terhadap sudut belok kendaraan. Trendline dari nilai koefisien understeer ini berbeda beda untuk setiap nilai kecepatan kendaraan. Saat kendaraan melintasi jalan dengan sudut kemiringan melintang jalan sebesar 0° atau kondisi jalan datar pada kecepatan 20 km/jam masih belum terjadi skid maupun guling, kendaraan cenderung mengalami understeer dimulai pada sudut 15° yang sebelumnya diawali dengan kondisi netral dan oversteer.

Pada kecepatan 25 km/jam perilaku kendaraan cenderung understeer pada sudut 10° yang sebelumnya diawali dengan kondisi oversteer. Saat berbelok dengan sudut 30° kendaraan dalam keadaan kritis akan terguling akibat terangkatnya roda 1 yang diakibatkan karena gaya normal dari roda tidak dapat menahan berat kendaraan atau bernilai negatif. Kendaraan juga akan mulai mengalami skid pada sudut belok 30° saat kendaraan melintasi jalan aspal kering dan mulai mengalami skid pada sudut belok 20° saat kendaraan melintasi jalan aspal basah.

Pada kecepatan 30 km/jam perilaku kendaraan cenderung understeer pada sudut 10° yang sebelumnya diawali dengan kondisi oversteer. Saat berbelok dengan sudut 25° kendaraan dalam keadaan kritis akan terguling akibat terangkatnya roda 1 yang diakibatkan karena gaya normal dari roda tidak dapat menahan berat kendaraan atau bernilai negatif. Sehingga perhitungan tidak dapat dilanjutkan karena kendaraan mengalami skid dan guling (un-safe). Kendaraan juga akan mulai mengalami skid pada sudut belok 20° saat kendaraan melintasi jalan aspal kering dan mulai mengalami skid pada sudut belok 15° saat kendaraan melintasi jalan aspal basah.

Pada kecepatan 35 km/jam perilaku kendaraan cenderung understeer pada sudut 5° . Saat berbelok dengan sudut 20°

kendaraan dalam keadaan kritis akan terguling akibat terangkatnya roda 1 dan roda 2 yang diakibatkan karena gaya normal dari roda tidak dapat menahan berat kendaraan atau bernilai negatif. Sehingga perhitungan tidak dapat dilanjutkan karena kendaraan mengalami skid dan guling (un-safe). Kendaraan juga akan mulai mengalami skid pada sudut belok 15° saat kendaraan melintasi jalan aspal kering dan mulai mengalami skid pada sudut belok 10° saat kendaraan melintasi jalan aspal basah.

Pada kecepatan 40 km/jam perilaku kendaraan cenderung understeer pada sudut 5° . Saat berbelok dengan sudut 15° kendaraan dalam keadaan kritis akan terguling akibat terangkatnya roda 1 dan roda 2 yang diakibatkan karena gaya normal dari roda tidak dapat menahan berat kendaraan atau bernilai negatif. Sehingga perhitungan tidak dapat dilanjutkan karena kendaraan mengalami skid dan guling (un-safe). Kendaraan juga akan mulai mengalami skid pada sudut belok 10° saat kendaraan melintasi jalan aspal kering maupun aspal basah.

Pada kecepatan 45 km/jam perilaku kendaraan cenderung understeer pada sudut 5° . Saat berbelok dengan sudut 10° kendaraan dalam keadaan kritis akan terguling akibat terangkatnya roda 1 yang diakibatkan karena gaya normal dari roda tidak dapat menahan berat kendaraan atau bernilai negatif. Sehingga perhitungan tidak dapat dilanjutkan karena kendaraan mengalami skid dan guling (un-safe). Kendaraan juga akan mulai mengalami skid pada sudut belok 10° saat kendaraan melintasi jalan aspal kering maupun aspal basah.

Pada kecepatan 50 km/jam perilaku kendaraan cenderung understeer pada sudut 5° . Saat berbelok dengan sudut 10° kendaraan dalam keadaan kritis akan terguling akibat terangkatnya roda 1 yang diakibatkan karena gaya normal dari roda tidak dapat menahan berat kendaraan atau bernilai negatif. Sehingga perhitungan tidak dapat dilanjutkan karena kendaraan

mengalami skid dan guling (un-safe). Kendaraan juga akan mulai mengalami skid pada sudut belok 10° saat kendaraan melintasi jalan aspal kering dan mulai mengalami skid pada sudut belok 5° saat kendaraan melintasi jalan aspal basah.

Kemudian saat kendaraan melintasi jalan dengan sudut kemiringan melintang jalan sebesar 5° dan 10° , kestabilan kendaraan menjadi lebih baik. Hal ini disebabkan karena pada kondisi ini gaya lateral yang disebabkan oleh kendaraan lebih kecil daripada saat melaju pada jalan datar. Gaya lateral yang terjadi menjadi lebih kecil disebabkan oleh gaya berat yang bekerja berlawanan arah dengan gaya lateral. Sehingga terjadinya skid dan guling pada masing-masing variasi kecepatan juga akan berkurang seiring dengan pertambahan sudut kemiringan melintang jalan.

BAB V

KESIMPULAN DAN SARAN

5.1 Kesimpulan

Dari analisa perilaku kendaraan produksi multiguna pedesaan dengan variasi kecepatan, sudut belok, koefisien gesek dan sudut kemiringan melintang jalan dengan menggunakan analisa slip, analisa skid dan analisa guling serta memperhatikan nilai koefisien understeer didapatkan kesimpulan bahwa:

1. Berdasarkan hasil analisa dari kelima belas posisi titik berat pada kendaraan dengan muatan Multi Purpose Thresher, posisi titik berat 7 ($b=2.2626\text{ m}$, $L_f=1.2137\text{ m}$, $L_r=1.4363\text{ m}$ dan $h=0.7118\text{ m}$) merupakan posisi titik berat yang paling optimal karena memiliki kondisi *oversteer* yang paling sedikit dan memiliki nilai *understeer index* positif (*understeer*) yang paling rendah dibandingkan posisi titik berat yang lain.
2. Berdasarkan hasil analisa dari kelima belas posisi titik berat pada kendaraan dengan muatan Freezer, posisi titik berat 6 ($b=2.0632\text{ m}$, $L_f=1.2027\text{ m}$, $L_r=1.4473\text{ m}$ dan $h=0.705\text{ m}$) merupakan posisi titik berat yang paling optimal karena memiliki kondisi *oversteer* yang paling sedikit dan memiliki nilai *understeer index* positif (*understeer*) yang paling rendah dibandingkan posisi titik berat yang lain.

5.1 Saran

1. Agar kendaraan tidak mudah guling maka penggunaan stabilizer dapat diletakkan pada bagian belakang karena dapat meminimalisir terangkatnya roda 1 saat berbelok yang juga akan mengurangi sudut slip roda belakang.

2. Menggunakan ban yang memiliki profil lebih lebar agar memperbesar gesekan sehingga kendaraan tidak mudah mengalami slip, skid maupun guling.

LAMPIRAN

Tabel *Understeer Index Kendaraan Bermuatan Multi Purpose Threser posisi CG7*

| V km/jam | δf ° | $\Theta = 0^\circ$ | | $\Theta = 5^\circ$ | | $\Theta = 10^\circ$ | |
|-------------|-----------------|--------------------|------------|--------------------|------------|---------------------|------------|
| | | Kus | Perilaku | Kus | Perilaku | Kus | Perilaku |
| 20 | 5 | 0.000 | NETRAL | 0.000 | NETRAL | 0.000 | NETRAL |
| 20 | 10 | -0.282 | OVERSTEER | 0.000 | NETRAL | 0.000 | NETRAL |
| 20 | 15 | 0.064 | UNDERSTEER | -0.388 | OVERSTEER | 0.000 | NETRAL |
| 20 | 20 | 0.214 | UNDERSTEER | -0.022 | OVERSTEER | -0.244 | OVERSTEER |
| 20 | 25 | 0.214 | UNDERSTEER | 0.118 | UNDERSTEER | 0.042 | UNDERSTEER |
| 20 | 30 | 0.150 | UNDERSTEER | 0.156 | UNDERSTEER | 0.186 | UNDERSTEER |
| 25 | 5 | -0.168 | OVERSTEER | 0.000 | NETRAL | 0.000 | NETRAL |
| 25 | 10 | 0.309 | UNDERSTEER | -0.229 | OVERSTEER | -0.232 | OVERSTEER |
| 25 | 15 | 0.538 | UNDERSTEER | 0.244 | UNDERSTEER | -0.049 | OVERSTEER |
| 25 | 20 | 0.521 | UNDERSTEER | 0.357 | UNDERSTEER | 0.199 | UNDERSTEER |
| 25 | 25 | 0.420 | UNDERSTEER | 0.341 | UNDERSTEER | 0.270 | UNDERSTEER |
| 25 | 30 | 0.288 | UNDERSTEER | 0.270 | UNDERSTEER | 0.264 | UNDERSTEER |
| 30 | 5 | -0.051 | OVERSTEER | -0.259 | OVERSTEER | 0.000 | NETRAL |
| 30 | 10 | 0.713 | UNDERSTEER | 0.332 | UNDERSTEER | -0.050 | OVERSTEER |
| 30 | 15 | 0.760 | UNDERSTEER | 0.544 | UNDERSTEER | 0.328 | UNDERSTEER |
| 30 | 20 | 0.650 | UNDERSTEER | 0.522 | UNDERSTEER | 0.396 | UNDERSTEER |
| 30 | 25 | 0.493 | UNDERSTEER | 0.422 | UNDERSTEER | 0.355 | UNDERSTEER |
| 30 | 30 | 0.324 | UNDERSTEER | 0.294 | UNDERSTEER | 0.271 | UNDERSTEER |
| 35 | 5 | 0.488 | UNDERSTEER | -0.141 | OVERSTEER | -0.022 | OVERSTEER |
| 35 | 10 | 0.939 | UNDERSTEER | 0.645 | UNDERSTEER | 0.352 | UNDERSTEER |
| 35 | 15 | 0.872 | UNDERSTEER | 0.699 | UNDERSTEER | 0.525 | UNDERSTEER |
| 35 | 20 | 0.703 | UNDERSTEER | 0.594 | UNDERSTEER | 0.486 | UNDERSTEER |
| 35 | 25 | 0.511 | UNDERSTEER | 0.443 | UNDERSTEER | 0.379 | UNDERSTEER |
| 35 | 30 | 0.318 | UNDERSTEER | 0.281 | UNDERSTEER | 0.250 | UNDERSTEER |

| V km/jam | δf ° | $\Theta = 0^\circ$ | | $\Theta = 5^\circ$ | | $\Theta = 10^\circ$ | |
|-------------|-----------------|--------------------|------------|--------------------|------------|---------------------|------------|
| | | Kus | Perilaku | Kus | Perilaku | Kus | Perilaku |
| 40 | 5 | 0.839 | UNDERSTEER | 0.335 | UNDERSTEER | -0.155 | OVERSTEER |
| 40 | 10 | 1.078 | UNDERSTEER | 0.835 | UNDERSTEER | 0.593 | UNDERSTEER |
| 40 | 15 | 0.930 | UNDERSTEER | 0.782 | UNDERSTEER | 0.633 | UNDERSTEER |
| 40 | 20 | 0.719 | UNDERSTEER | 0.622 | UNDERSTEER | 0.525 | UNDERSTEER |
| 40 | 25 | 0.503 | UNDERSTEER | 0.438 | UNDERSTEER | 0.375 | UNDERSTEER |
| 40 | 30 | 0.295 | UNDERSTEER | 0.254 | UNDERSTEER | 0.217 | UNDERSTEER |
| 45 | 5 | 1.088 | UNDERSTEER | 0.662 | UNDERSTEER | 0.252 | UNDERSTEER |
| 45 | 10 | 1.169 | UNDERSTEER | 0.959 | UNDERSTEER | 0.748 | UNDERSTEER |
| 45 | 15 | 0.960 | UNDERSTEER | 0.828 | UNDERSTEER | 0.694 | UNDERSTEER |
| 45 | 20 | 0.718 | UNDERSTEER | 0.628 | UNDERSTEER | 0.537 | UNDERSTEER |
| 45 | 25 | 0.483 | UNDERSTEER | 0.419 | UNDERSTEER | 0.357 | UNDERSTEER |
| 45 | 30 | 0.264 | UNDERSTEER | 0.220 | UNDERSTEER | 0.180 | UNDERSTEER |
| 50 | 5 | 1.280 | UNDERSTEER | 0.903 | UNDERSTEER | 0.542 | UNDERSTEER |
| 50 | 10 | 1.235 | UNDERSTEER | 1.045 | UNDERSTEER | 0.854 | UNDERSTEER |
| 50 | 15 | 0.975 | UNDERSTEER | 0.853 | UNDERSTEER | 0.728 | UNDERSTEER |
| 50 | 20 | 0.707 | UNDERSTEER | 0.621 | UNDERSTEER | 0.534 | UNDERSTEER |
| 50 | 25 | 0.457 | UNDERSTEER | 0.394 | UNDERSTEER | 0.333 | UNDERSTEER |
| 50 | 30 | 0.231 | UNDERSTEER | 0.185 | UNDERSTEER | 0.143 | UNDERSTEER |

Tabel *Understeer Index* Kendaraan Bermuatan Freezer posisi CG6

| V km/jam | δf ° | $\Theta = 0^\circ$ | | $\Theta = 5^\circ$ | | $\Theta = 10^\circ$ | |
|-------------|-----------------|--------------------|------------|--------------------|------------|---------------------|------------|
| | | Kus | Perilaku | Kus | Perilaku | Kus | Perilaku |
| 20 | 5 | 0.000 | NETRAL | 0.000 | NETRAL | 0.000 | NETRAL |
| 20 | 10 | -0.261 | OVERSTEER | 0.000 | NETRAL | 0.000 | NETRAL |
| 20 | 15 | 0.122 | UNDERSTEER | -0.403 | OVERSTEER | 0.000 | NETRAL |
| 20 | 20 | 0.314 | UNDERSTEER | 0.026 | UNDERSTEER | -0.249 | OVERSTEER |
| 20 | 25 | 0.336 | UNDERSTEER | 0.202 | UNDERSTEER | 0.086 | UNDERSTEER |
| 20 | 30 | 0.285 | UNDERSTEER | 0.261 | UNDERSTEER | 0.261 | UNDERSTEER |
| 25 | 5 | -0.191 | OVERSTEER | 0.000 | NETRAL | 0.000 | NETRAL |
| 25 | 10 | 0.378 | UNDERSTEER | -0.234 | OVERSTEER | -0.216 | OVERSTEER |
| 25 | 15 | 0.659 | UNDERSTEER | 0.318 | UNDERSTEER | -0.023 | OVERSTEER |
| 25 | 20 | 0.664 | UNDERSTEER | 0.466 | UNDERSTEER | 0.272 | UNDERSTEER |
| 25 | 25 | 0.573 | UNDERSTEER | 0.467 | UNDERSTEER | 0.369 | UNDERSTEER |
| 25 | 30 | 0.445 | UNDERSTEER | 0.406 | UNDERSTEER | 0.378 | UNDERSTEER |
| 30 | 5 | -0.050 | OVERSTEER | -0.290 | OVERSTEER | 0.000 | NETRAL |
| 30 | 10 | 0.836 | UNDERSTEER | 0.401 | UNDERSTEER | -0.033 | OVERSTEER |
| 30 | 15 | 0.915 | UNDERSTEER | 0.663 | UNDERSTEER | 0.411 | UNDERSTEER |
| 30 | 20 | 0.814 | UNDERSTEER | 0.659 | UNDERSTEER | 0.506 | UNDERSTEER |
| 30 | 25 | 0.658 | UNDERSTEER | 0.566 | UNDERSTEER | 0.479 | UNDERSTEER |
| 30 | 30 | 0.488 | UNDERSTEER | 0.441 | UNDERSTEER | 0.402 | UNDERSTEER |
| 35 | 5 | 0.558 | UNDERSTEER | -0.150 | OVERSTEER | -0.004 | OVERSTEER |
| 35 | 10 | 1.098 | UNDERSTEER | 0.760 | UNDERSTEER | 0.423 | UNDERSTEER |
| 35 | 15 | 1.046 | UNDERSTEER | 0.844 | UNDERSTEER | 0.640 | UNDERSTEER |
| 35 | 20 | 0.878 | UNDERSTEER | 0.747 | UNDERSTEER | 0.617 | UNDERSTEER |
| 35 | 25 | 0.681 | UNDERSTEER | 0.597 | UNDERSTEER | 0.515 | UNDERSTEER |
| 35 | 30 | 0.484 | UNDERSTEER | 0.432 | UNDERSTEER | 0.387 | UNDERSTEER |
| 40 | 5 | 0.960 | UNDERSTEER | 0.387 | UNDERSTEER | -0.164 | OVERSTEER |

| | | | | | | | |
|------|----|--------|------------|--------|------------|--------|------------|
| 35 | 25 | 0.681 | UNDERSTEER | 0.597 | UNDERSTEER | 0.515 | UNDERSTEER |
| km/h | 30 | OK484 | UNDERSTEER | OK482 | UNDERSTEER | OK387 | UNDERSTEER |
| 40 | 5 | 0.900 | UNDERSTEER | 0.900 | UNDERSTEER | -0.004 | OVERSTEER |
| 40 | 10 | -0.282 | UNDERSTEER | 0.900 | UNDERSTEER | 0.000 | UNDERSTEER |
| 40 | 15 | 0.069 | UNDERSTEER | -0.948 | UNDERSTEER | 0.000 | UNDERSTEER |
| 40 | 20 | 0.904 | UNDERSTEER | -0.022 | UNDERSTEER | -0.264 | UNDERSTEER |
| 40 | 25 | 0.076 | UNDERSTEER | 0.598 | UNDERSTEER | 0.642 | UNDERSTEER |
| 40 | 30 | 0.459 | UNDERSTEER | 0.406 | UNDERSTEER | 0.386 | UNDERSTEER |
| 45 | 5 | -0.158 | UNDERSTEER | 0.000 | UNDERSTEER | 0.294 | UNDERSTEER |
| 45 | 10 | 0.309 | UNDERSTEER | -0.229 | UNDERSTEER | -0.232 | UNDERSTEER |
| 45 | 15 | 0.568 | UNDERSTEER | 0.004 | UNDERSTEER | -0.849 | UNDERSTEER |
| 45 | 20 | 0.903 | UNDERSTEER | 0.390 | UNDERSTEER | 0.688 | UNDERSTEER |
| 45 | 25 | 0.620 | UNDERSTEER | 0.348 | UNDERSTEER | 0.200 | UNDERSTEER |
| 45 | 30 | 0.288 | UNDERSTEER | 0.370 | UNDERSTEER | 0.368 | UNDERSTEER |
| 50 | 5 | -0.481 | UNDERSTEER | -0.059 | UNDERSTEER | 0.606 | UNDERSTEER |
| 50 | 10 | 0.463 | UNDERSTEER | 0.338 | UNDERSTEER | -0.050 | UNDERSTEER |
| 50 | 15 | 0.766 | UNDERSTEER | 0.939 | UNDERSTEER | 0.898 | UNDERSTEER |
| 50 | 20 | 0.898 | UNDERSTEER | 0.923 | UNDERSTEER | 0.888 | UNDERSTEER |
| 50 | 25 | 0.693 | UNDERSTEER | 0.524 | UNDERSTEER | 0.453 | UNDERSTEER |
| 50 | 30 | 0.390 | UNDERSTEER | 0.294 | UNDERSTEER | 0.278 | UNDERSTEER |

DAFTAR PUSTAKA

- [1] *Sutantra, I. Nyoman dan Bambang Sampurno.* 2010. **Teknologi Otomotif, Edisi Kedua.** Surabaya: Guna Widya.
- [2] *Pramono, Agus Sigit.* 2014. **Rancang Bangun Kendaraan Multiguna Pedesaan.** Surabaya: Teknik Mesin ITS
- [3] *Naafi, Rizqi An.* 2013. **Analisa Perilaku Arah Mobil GEA Pada Lintasan Belok Menurun dengan Variasi Kecepatan, Berat Muatan, Sudut Kemiringan Melintang, Sudut Turunan Jalan dan Radius Belok Jalan.** Surabaya: Teknik Mesin ITS
- [4] *Fitrawan, Muhammad Ashadi.* 2012. **Analisa Steering Linkage Pada INKA GEA dan Stabilitas dengan Variabel Kecepatan, Sudut Belok Terhadap Beban Muatan dan Posisi Muatan.** Surabaya: Teknik Mesin ITS.
- [5] ASTRA DAIHATSU MOTOR. (2015). Accesed at <http://daihatsu.co.id/product/granmax-mb>
- [6] RUTAN. (2015). Accesed at <http://www.rutan.co.id/in/downloaded.php?id=35>
- [7] AVANTCO. (2015). Accesed at <http://www.avantcorefrigeration.com/product.php?id=277>

(halaman ini sengaja dikosongkan)

BIODATA PENULIS



Penulis dilahirkan di Gresik, 24 September 1993 dan merupakan anak kedua dari lima bersaudara pasangan Bapak Choirun Nuri dengan Ibu Enik Nur Aini. Pendidikan formal yang telah ditempuh penulis antara lain di TK Al-Ibrah Gresik, SD Muhammadiyah GKB Gresik, MTs. Mu'allimin Muhammadiyah Yogyakarta, MA. Mu'allimin Muhammadiyah Yogyakarta, dan terakhir terdaftar di Jurusan Teknik Mesin FTI ITS dengan NRP 2111100100 melalui jalur SNMPTN. Selama menjadi mahasiswa, penulis secara aktif bergabung dengan Himpunan Mahasiswa Mesin ITS sebagai Staff Badan Semi Otonom *Big Event* masa jabatan 2012-2013 dan Direktur Badan Semi Otonom *Big Event* pada masa jabatan 2013-2014. Penulis juga secara aktif bergabung dengan Paguyuban Karya Salemba Empat ITS sebagai kabiro kaderisasi *Student Resource Development*. Selain itu, penulis juga aktif mengikuti kegiatan kemahasiswaan serta menjadi panitia dari berbagai kegiatan yang diselenggarakan di tingkat jurusan, fakultas dan institut.

Penulis memiliki hobi membaca, menulis dan *traveling*. Motto hidup penulis adalah “sebaik-baik manusia adalah yang bermanfaat bagi orang lain”. Penulis dapat dihubungi melalui email nashiruddin.azhar@gmail.com atau 087851486668